Leonardo Haas Peçanha Lessa

Desenvolvimento da unidade de controle do módulo de aquisição de dados para o upgrade do experimento LHCb

Leonardo Haas Peçanha Lessa

Desenvolvimento da unidade de controle do módulo de aquisição de dados para o upgrade do experimento LHCb

Dissertação apresentada à Coordenação de Formação Cientifica do Centro Brasileiro de Pesquisas Físicas para a obtenção do titulo de Mestre em Física com ênfase em Instrumentação Cientifica.

Orientador: André Massafferri Rodrigues

Ministério da Ciência, Tecnologia e Inovação Centro Brasileiro de Pesquisas Físicas Mestrado Profissional Em Física

Rio de Janeiro - RJ

Agosto / 2013

Agradecimentos

Em primeiro lugar, agradeço aos meus pais e minha irmã, por todo o carinho, suporte e educação, dado em toda minha vida.

À minha esposa Cristina, que não me deixou desistir em momento algum do objetivo através de suas palavras de incentivo. Mesmo com minha ausência constante após o primeiro mês do nascimento do nosso filho Eric.

Ao meu orientador André Massafferri por todo suporte oferecido para a realização deste trabalho, pela grande compreensão e todo esforço feito para me manter no CERN. Além é claro do incentivo final para o término trabalho.

Ao pesquisador Ignácio Bediaga pelo apoio e colaboração no financiamento do projeto.

Ao pesquisador Alexandre Mello, pela compreensão relativa ao atraso para a apresentação desta dissertação.

Ao Niko Neufeld e Beat Jost do grupo *Online* do LHCb por me inserirem no grupo do CERN e pelo material fornecido para o desenvolvimento deste trabalho.

Ao colega de profissão e amigo, Diogo Di Calafiori, por disponibilizar o laboratório para os testes dos protótipos, sugestões e ideias e principalmente pela enorme paciência no trabalho de conserto das placas, incluindo a solda em componentes que dificilmente se enxergava.

Aos amigos brasileiros do CERN, pelos almoços, conversas e momentos de diversão vividos.

E finalmente aos familiares e amigos presentes em minha vida e que, de maneira direta ou indireta, me apoiaram e incentivaram para que seguisse em frente.

Resumo

O presente documento descreve o desenvolvimento do módulo de sistema de controle e suas camadas de software para o upgrade do sistema de aquisição de dados previsto no experimento LHCb. Este módulo é capaz de realizar o controle de uma placa de aquisição assim como outros dispositivos situados em áreas livres de radiação, de forma centralizada com a intermediação de um computador embarcado no módulo e o uso da comunicação Gigabit Ethernet através de barramentos de baixa velocidade como, I²C e JTAG assim como a comunicação em alta velocidade utilizando o protocolo PCI Express. Também é descrito o desenvolvimento de uma placa de validação do módulo para uso na verificação do protótipo, particularmente importante para a produção em série. Serão apresentados os resultados obtidos através do uso de um kit de desenvolvimento, por consequência da impossibilidade da utilização do primeiro protótipo do módulo, com destaque a simplicidade de operação de dispositivos I²C através do sistema operacional e desempenho na comunicação em alta velocidade.

Abstract

This document describes the development of the control system module and related software layers focused to the DAQ system upgrade of the LHCb experiment. This module is able to control a DAQ board as well as other generic devices located in radiation free areas. It can be managed centrally through an embedded computer module, using the Gigabit Ethernet communication to control, monitoring and configuring low-speed buses such as, I²C and JTAG as well as high speed communication PCI Express protocol. It also describes the development of a validation board to be used to test the prototype and particularly important for mass production period. It is presented the results extracted using a development kit, since first prototype of the module was not properly working. We highlight the simplicity of operation I²C devices through the operating system and performance in high-speed communication.

Sumário

| Lis | ta de | e Figu | ras | vi |
|-----|--|--------|---|--------|
| Lis | ta de | e Tabe | elas | . viii |
| Lis | ta de | e abre | viaturas e siglas | ix |
| 1. | Int | trodu | ção | 1 |
| 2. | Ac | elera | dor LHC | 5 |
| 3. | 3. LHCb (Large Hadron Collider Beauty) | | | 8 |
| | 3.1 | Ma | gneto | 9 |
| | 3.2 | Sist | tema de traços | 9 |
| | 3.2 | 2.1 | VELO | . 10 |
| | 3.2 | 2.2 | Silicon Tracker | . 10 |
| | 3.2 | 2.3 | Outer Tracker | . 11 |
| | 3.3 | RIC | `H | . 11 |
| | 3.4 | Cal | orímetros | . 12 |
| | 3.5 | Sist | tema de Múons | . 13 |
| | 3.6 | Sist | tema de trigger | . 14 |
| | 3.7 | Sist | tema Online | . 15 |
| 4. | Up | ograde | e da eletrônica e sistema online do LHCb | . 22 |
| | 4.1 | Ele | trônica de <i>Front-end</i> | . 24 |
| | 4.2 | Arc | quitetura geral da interface TFC/ECS no Front-end | . 25 |
| | 4.3 | Pla | cas de <i>readout</i> | . 26 |
| | 4.3 | 3.1 | ECS nas placas de readout | . 29 |
| | 4.4 | Arc | quitetura de <i>readout</i> | . 29 |
| 5. | 0 | Módu | lo ECS-CBPF | . 36 |
| | 5.1 | Pro | otocolos e barramentos de comunicação | . 38 |
| | 5.3 | 1.1 | Barramento PCIe | . 38 |
| | 5.2 | 1.2 | Barramento I ² C | . 39 |
| | 5.3 | 1.3 | JTAG | . 41 |
| | 5.2 | Fer | ramentas de desenvolvimento | . 42 |

| 5 | .3 | Kit de desenvolvimento Cyclone IV (DB4 | CGX15) 43 |
|-------|---------------------------------|---|---|
| 5 | 5.4 Desenvolvimento do Hardware | | 44 |
| 5.4.1 | | 1 Distribuição de alimentação | 44 |
| 5.4.2 | | 2 Distribuição de Clock | 44 |
| | 5.4.3 | 3 CCPC | 45 |
| | 5.4. | 4 Switch PCIe | 46 |
| | 5.4. | 5 FPGA | 47 |
| 5 | .5 | Desenvolvimento do Firmware | 47 |
| | 5.5. | 1 O SOPC Builder | 48 |
| 5 | .6 | Desenvolvimento de Software | 52 |
| | 5.6. | 1 Sistema Operacional | 52 |
| | 5.6. | 2 ECS-CBPF Drivers | 56 |
| | 5.6.3 | 3 Programas e bibliotecas | 62 |
| 5 | .7 | Geometria e Interconexões | 63 |
| | 5.7. | 1 Geometria | 63 |
| | 5.7. | 2 Conector LVDS (Vídeo) | 64 |
| | 5.7. | 3 RJ45 e USB | 64 |
| | 5.7. | 4 Conector JTAG | 64 |
| | 5.7. | 5 Conector Samtec | 64 |
| 6. | Plac | ca de validação do módulo ECS-CBPF | 65 |
| 6 | 5.1 | Desenvolvimento do Hardware | 66 |
| | 6.1. | 1 Distribuição de alimentação | 66 |
| | 6.1. | 2 Módulo de controle de teste | 67 |
| | 6.1.3 | 3 Dispositivos I ² C | 68 |
| | 6.1. | 4 Dispositivo para teste de configura | ção e comunicação em alta velocidade 69 |
| 6 | 5.2 | Desenvolvimento do Firmware | 69 |
| 6 | 5.3 | Desenvolvimento do driver | 72 |
| 7. | Resu | ultados | 73 |
| 7 | '.1 | Verificação dos protótipos | 73 |
| 7 | .2 | Verificação do protocolo I2C | 73 |
| 7 | .3 | Verificação da interface JTAG | 76 |
| 7 | .4 | Verificação de transmissão em alta velo | cidade PCIe79 |
| 8. | Con | clusão e perspectivas futuras | |
| Ref | Referências Bibliográficas | | |
| | | | |

Lista de Figuras

| FIGURA 1 - TUNEL DO LHC | 5 |
|---|------|
| FIGURA 2 - PRÉ-ACELERADORES | 6 |
| FIGURA 3 - DETECTOR LHCB | 8 |
| FIGURA 4 – MAGNETO | 9 |
| FIGURA 5 - SUB-DETECTOR VELO | 10 |
| FIGURA 6 - SUB-DETECTOR RICH | |
| FIGURA 7 - GRANULARIDADE DOS CALORÍMETROS | |
| FIGURA 8 - SISTEMA DE MÚONS | |
| FIGURA 9 - SISTEMA <i>ONLINE</i> | |
| FIGURA 10 - DIAGRAMA DE BLOCOS SIMPLIFICADO DA TELL1 | |
| FIGURA 11 – ARQUITETURA DO SISTEMA TFC | |
| FIGURA 12 - SISTEMA HIERÁRQUICO E DISTRIBUÍDO | |
| FIGURA 13 - ARQUITETURA GERAL DO UPGRADE NA ELETRÔNICA | |
| FIGURA 14 - TÍPICO MÓDULO DE FE | |
| FIGURA 15 - PLACA ATCA COM QUATRO MÓDULOS AMC | |
| FIGURA 16 - ARQUITETURA DA PLACA AMC40 | 27 |
| FIGURA 17 - PLACA ATCA40 | |
| FIGURA 18 - ARQUITETURA DE READOUT COM SWITCH EXTERNO | |
| FIGURA 19 - CONFIGURAÇÃO TELL40 | |
| FIGURA 20 - CONFIGURAÇÃO FSC40 | |
| FIGURA 21 - CONFIGURAÇÃO ODIN40 | |
| FIGURA 22 - CONFIGURAÇÃO TFCI40 | |
| FIGURA 23 - CONFIGURAÇÃO TRIG40 | 35 |
| FIGURA 24 - MÓDULO EXPERIMENT CONTROL SYSTEM – CCPC CBPF | |
| FIGURA 25 - DIAGRAMA DE BLOCOS DO MÓDULO ECS-CBPF | |
| FIGURA 26 - PACOTE DE DADOS PCIE | |
| FIGURA 27 - BARRAMENTO I ² C | |
| FIGURA 28 - PROTOCOLO I ² C | |
| FIGURA 29 - MÁQUINA DE ESTADO DO CONTROLADOR JTAG | |
| FIGURA 30 - CONFIGURAÇÃO DE UMA CHAIN JTAG | 42 |
| FIGURA 31 - KIT DE DESENVOLVIMENTO DB4CGX15 | |
| FIGURA 32 - DISTRIBUIÇÃO DA ALIMENTAÇÃO DO MÓDULO ECS | |
| FIGURA 33 - DISTRIBUIÇÃO DE CLOCK DE REFERÊNCIA PCIE | |
| FIGURA 34 - MÓDULO CCPC KONTRON | |
| FIGURA 35 - TELA DO PROJETO ECS-CBPF EM AMBIENTE GRÁFICO | |
| FIGURA 36 - TELA DE INTEGRAÇÃO ENTRE DISPOSITIVOS NO SOPC | |
| FIGURA 37 - RELAÇÃO ENTRE APLICAÇÕES, KERNEL E HARDWARE | |
| FIGURA 38 - DIAGRAMA DAS DIVISÕES DOS MÓDULOS NO KERNEL | |
| FIGURA 39 - CAMADAS DO DRIVER ECS-CBPF | |
| FIGURA 40 - CAMADAS DO SUBSISTEMA I ² C | |
| FIGURA 41 - ESQUEMA MECÂNICO DO MÓDULO ECS-CBPF | |
| FIGURA 42 - DIAGRAMA DE BLOCOS PLACA DE VALIDAÇÃO | |
| FIGURA 43 - FOTO DA PLACA DE VALIDAÇÃO | |
| FIGURA 44 - DISTRIBUIÇÃO DE ALIMENTAÇÃO DA PLACA DE VALIDAÇÃO | |
| FIGURA 45 - DIAGRAMA DE BLOCOS DO FIRMWARE DA PLACA DE VALIDA | ACÃO |

| FIGURA 46 - PROCEDIMENTO DE CARREGAMENTO DOS DRIVERS | 74 |
|--|----|
| FIGURA 47 - PROCEDIMENTO DE CARREGAMENTO DOS DRIVERS | 75 |
| FIGURA 48 - RESULTADO DO NÍVEL DE TENSÃO NOS REGULADORES | 75 |
| FIGURA 49 - GRÁFICO DA MEDIDA DE TEMPERATURA AMBIENTE | 76 |
| FIGURA 50 - PROCESSO DE CARREGA UTILIZANDO A FERRAMENTA JAM PLAYER | 77 |
| FIGURA 51 - CAPTURA DO CÓDIGO EM EXECUÇÃO APÓS O CARREGAMENTO | 78 |
| FIGURA 52 - DIAGRAMA DE BLOCOS DO FIRMWARE DE VERIFICAÇÃO | 78 |
| FIGURA 53 - UTILIZAÇÃO DA FERRAMENTA URJTAG | 79 |
| FIGURA 54 - TRANSFERÊNCIA DE DADOS ENTRE A MEMÓRIA DO PC E FPGA | 80 |
| FIGURA 55 - TRANSAÇÃO DE LEITURA | 83 |
| FIGURA 56 - TRANSAÇÃO DE ESCRITA | 83 |

Lista de Tabelas

| TABELA 1 - ROTEAMENTO DOS LINKS PCIE | 47 |
|---|----|
| TABELA 2 - BITS DE CONTROLE DOS MULTIPLEXADORES DE BARRAMENTO | 68 |
| TABELA 3 - ENDEREÇOS DO BARRAMENTO I2C | 68 |
| TABELA 4 - EFICIÊNCIA E THROUGHPUT | 81 |
| TABELA 5 - OPERAÇÃO DE ESCRITA | 82 |
| TABELA 6 - OPERAÇÃO DE LEITURA | 82 |
| | |

Lista de abreviaturas e siglas

ALICE A Large Ion Collider Experiment

ATLAS A Toroidal LHC ApparatuS

BE Back-End

CAN Controller Area Network CCPC Credit-card sized PC

CERN Centre Européen pour la Recherche Nucléaire CPPM Centre de physique des particules de Marseille

DAQ Data Acquisition System

DLL Data Layer Link

DLLP Data Layer Link Packet
DMA Direct Memory Access

ECAL Electromagnetic Calorimeter
ECS Experiment Control System

EPFL École Polytechnique Fédérale de Lausanne

FE Front-End

FPGA Field-programmable gate array

GBT Gigabit Bidirectional Trigger and Data link

GPIO General Purpose Input/Output

HCAL Hadron Calorimeter
HPD Hybrid Photon Detectors

HLT High Level Trigger
I2C Inter-Integrated Circuit

IT Inner Tracker

JTAG Joint Test Action Group LHC Large Hadron Collider

LHCb Large Hadron Collider beauty
LHCf Large Hadron Collider forward
LLT Large Hadron Collider beauty

MEP Multiple Event Packets

OT Outer tracker

PCIe Peripheral Component Interconnect Express

PL Physical Layer
PS PreShower detector

PSB Proton Syncrotron Booster

RICH Ring Imaging Cherenkov Detector

SCADA Supervisory Control And Data Acquisition

SDP Scintilator Pad Detector
SPECS Serial Protocol for ECS
SPI Serial Peripheral Interface
SPS Super Proton Synchrotron
TFC Trigger and Fast Control

TL Transaction Layer

TLP Transaction Layer Packet

TOTEM TOTal Elastic and diffractive cross section

Measurement

TT Trigger Tracker

TTC Trigger, Timing and Control

VELO Vertex Locator

1. Introdução

O experimento LHCb, um dos quatro grandes experimentos situados no acelerador LHC, foi projetado para realizar medidas de precisão envolvendo processos contendo os quarks b (botton) e c (charm), de modo a realizar estudos da violação da simetria CP e procura de Física além do modelo padrão das partículas elementares. Nos últimos anos o experimento vem publicando uma sequência de resultados de excelente qualidade, baseados nos dados acumulados durante os anos 2011 e 2012, o qual totalizou uma luminosidade integrada de 1 e 2 fb-1, respectivamente.

Recentemente a Colaboração LHCb definiu sua estratégia para o upgrade do experimento com o intuito de otimizar a utilização da alta luminosidade que será oferecida pelo acelerador LHC nos próximos anos. O novo regime permitirá o LHCb acumular uma luminosidade integrada de 50 fb-1 num período de 10 anos. A estatística de mésons contendo os *quarks* b e c fornecida proporcionará uma sensibilidade sem precedente à procura de nova Física.

A estratégia definida para o upgrade se divide em duas partes, ambas relacionadas à extinção do *trigger* de nível 0, destinado a reduzir a taxa de eventos a 1 MHz, e a subsequente operação de todos os seus sub-detectores a taxa máxima, correspondente a frequência de colisões do LHC, de 40 MHz. A primeira parte consiste na substituição de alguns detectores de modo a permitir sua utilização em altos regimes de radiação e grandes níveis de ocupação de traços, decorrentes do aumento na luminosidade. A segunda parte se refere unicamente à eletrônica e consiste na adaptação e redesenho da eletrônica de leitura dos detectores (*front-end electronics*) que não operam a 40 MHz, bem como da substituição completa do sistema de aquisição de dados, atualmente baseado em uma placa de aquisição denominada TELL1, por um capaz de processar a formatação de eventos de forma significativamente mais rápida e transmitir dados a uma taxa de 10 Gbs/link. No upgrade será necessária a produção de aproximadamente 300 placas de aquisição com as novas específicações. Estas placas, alocadas em região protegida da radiação (*counting room*), são monitorados e configurados a distância, a partir da sala de controle, parte integrada ao sistema central denominado ECS (*Experiment Control System*). Devido à complexidade de

alguns dispositivos que operam no *counting room* esse controle é desempenhado por unidades locais sofisticadas com a função de estabelecer comunicação em alta velocidade com a sala de controle através do protocolo Ethernet, realizar processamentos locais através de uma pequena CPU (*Credit-Card sized* PC ou CCPC), e ao mesmo tempo permitir a comunicação através de diferentes protocolos como I2C, JTag e SPI. Esses protocolos são utilizados para o controle de parâmetros importantes como temperatura, fluxo de dados, além de permitir o carregamento de firmware de dispositivos FPGAs (*Field-programmable gate array*), comumente encontrados nas placas de aquisição atuais.

No ano de 2009 duas implementações paralelas para o upgrade da placa de aquisição TELL1 estavam sendo estudadas. Uma delas em desenvolvimento pelo mesmo instituto que produziu a TELL1, a EPFL (École polytechnique fédérale de Lausanne), em Lausanne, com o projeto denominado TELL10. A segunda em desenvolvimento pelo CPPM (Centre de physique des particules de Marseille), em Marseille, cujo projeto foi denominado TELL40. Neste período o grupo de eletrônica do CBPF foi convidado a desenvolver a unidade de controle da nova placa de aquisição, para o upgrade do sistema empregado na TELL1, desenvolvido pelo grupo de eletrônica de Genova. O sistema de controle da TELL1 tinha como característica técnica a utilização de um CCPC de 130 MHz, comunicação ethernet de 10/100 Mbs, e o fornecimento de um barramento paralelo, quatro linhas I2C e três interfaces JTAG (Joint Test Action Group). Os pontos críticos no contexto do upgrade do sistema de aquisição consistia na ausência de um protocolo de alta velocidade, como PCIe (Peripheral Component Interconnect Express), no pequeno número de linhas de baixa velocidade, na inexistência do protocolo SPI (Serial Peripheral Interface) e na baixa velocidade da comunicação com a sala de controle, realizada via Ethernet à 100 Mb/s, além da dificuldade da implementação dos drivers de controle e aplicativos para os barramentos de baixa velocidade.

O desenho proposto pelo grupo do CBPF consistiu no desenvolvimento de um *mezzanino*, denominado ECS-CBPF, no qual seria conectado um modelo CCPC do fabricante Kontron com 1GHz de velocidade, e que disponibilizasse Ethernet de 1 Gbs, 6 linhas PCIe e um número configurável de linhas I2C, SPI e JTAG, com controladores implementados dentro de uma FPGA. Expansões seriam possíveis através de portas genéricas (GPIO - *General Purpose Input/Output*), desde que respeitado o limite suportado pela FPGA. Essa dissertação

trata do desenvolvimento de todo o pacote envolvido nesta unidade de controle; *hardware*, *software* e *firmware*. Neste contexto foi produzida também uma placa de validação do módulo ECS-CBPF, importante para o período de produção em série.

Nas várias reuniões que se seguiram, esse desenho se mostrou adequado para as necessidades do upgrade do sistema de controle da TELL1, e genérico suficiente para ser utilizado em outros dispositivos que operem no *counting room*. A geometria proposta inicialmente acompanhava o projeto da TELL10, o qual possuía uma grande modularidade na forma de *mezzaninos*, e, portanto já disponibilizava dimensões específicas.

No ano de 2011 a Colaboração optou pelo projeto da TELL40, uma vez que o grupo de CPPM se encontrava num estágio mais avançado na caraterização dos sinais de alta velocidade. O desenho da placa de aquisição TELL40 previa o desenvolvimento de uma placa mãe a qual serviria de base para quatro mezzaninos denominados AMC40, cada um contendo uma FPGA de altíssimo desempenho. Estas FPGAs desempenham todas as tarefas de formatação de fragmentos dos dados desempenhadas pela TELL40. Segundo o projeto apresentado pela CPPM a placa de aquisição TELL40 seria alocado num crate ATCA, amplamente utilizado na indústria de telecomunicações, considerado como uma concepção mais moderna dos tradicionais crates utilizados em altas energias. Este crate impõe restrições geométricas de modo que foi definido que a implementação do sistema de controle seria na própria placa TELL40, inviabilizando a inserção do mezzanino do CBPF. Porém basicamente todas as funcionalidades de software, principalmente os drivers, e eventualmente algumas firmwares podem ser utilizadas. O projeto do mezzanino ECS-CBPF foi discutido em várias reuniões da Eletrônica e Online do LHCb, onde o andamento do projeto foi apresentado tipicamente de quatro em quatro meses. Uma intensa interação com o grupo de CPPM ainda se verifica no presente momento, principalmente em relação ao suporte de software de baixo nível.

A produção do primeiro protótipo, que inclui o módulo ECS-CBPF e placa de validação, foi dividida em três etapas, produção e fabricação do layout do circuito impresso, e montagem. No momento da verificação foram constatados erros inviabilizaram a obtenção dos resultados. Por este motivo a mesma foi feita através de um kit de desenvolvimento contendo um FPGA similar ao módulo. A partir dos erros detectados na fase de verificação

do primeiro protótipo, um segundo protótipo foi produzido recentemente. Sua verificação esta prevista para o mês de agosto de 2013.

Esta dissertação está dividida em oito capítulos. No capítulo 2 e 3 serão apresentados, respectivamente, o Acelerador LHC com todo o aparato experimental e uma breve descrição do detector LHCb (*Large Hadron Collider beauty*). O capítulo 4 detalha o upgrade previsto para a parte de eletrônica, de *front-end* e aquisição do detector LHCb. O desenvolvimento do módulo ECS-CPBF e placa de validação são tratados respectivamente nos capítulos 5 e 6. Resultados obtidos com a utilização dos elementos criados neste trabalho são encontrados no Capítulo 7 e a conclusão e perspectivas futuras no Capítulo 8.

2. Acelerador LHC

O LHC [1][2](Large Hadron Collider) construído no complexo de pesquisas do CERN (Centre Européen pour la Recherche Nucléaire) está situado na fronteira entre a Suíça e a França. O acelerador encontra-se em um túnel localizado a uma média de 100 m abaixo da superfície, devido a considerações geográficas da região, a profundidade pode variar entre 50 m e 175 m.

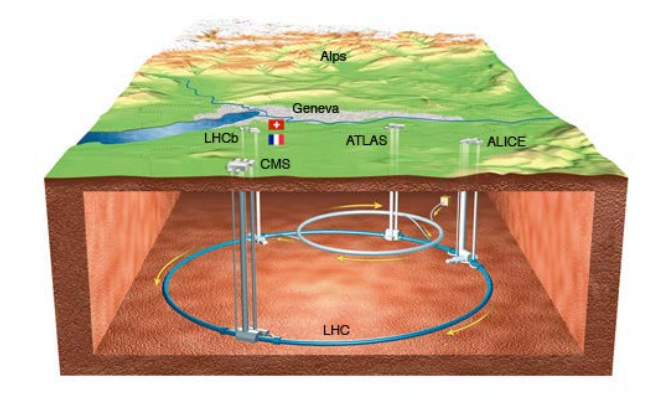


Figura 1 - Túnel do LHC

Dentro do acelerador, dois feixes de prótons circulam a uma velocidade próxima a da luz e com uma energia muito alta, antes de colidirem em um dos quatro pontos específicos. Estes feixes trafegam, em direções oposta em anéis separados mantidos em vácuo na ordem de 10^{-10} a 10^{-11} mbar[1] para evitar qualquer interferência de partículas encontradas no ar. Os feixes são guiados ao redor do acelerador por um forte campo magnético através de magnetos supercondutores resfriados a uma temperatura de -271°C. São necessários 1232 dipolos magnéticos que ajudam a manter a direção dos feixes e 392 quadrupolos magnéticos para manter o foco.

Na configuração nominal do LHC, as colisões ocorrem a uma energia de 14 TeV no centro de massa e a uma luminosidade de 10³⁴ cm⁻² s⁻¹ em uma frequência de 40MHz.

Para atingir a energia nominal os prótons são acelerados por uma série de préaceleradores, como mostrado na Figura 2. Inicialmente os feixes são produzidos a partir da ionização do gás de hidrogênio e passam por um acelerador linear (LINAC2) onde são acelerados até 50 MeV. Em seguida são injetados no PSB (*Proton Syncrotron Booster*) até atingirem a energia de 1.4 GeV. Na etapa seguinte são acelerados pelo PS (*Proton Synchrontron*) até 25 GeV para no SPS (*Super Proton Synchrotron*) atingirem a energia de 450 GeV. Por ultimo, são injetados no LHC em anéis separados que circulam em direções opostas até a energia nominal.

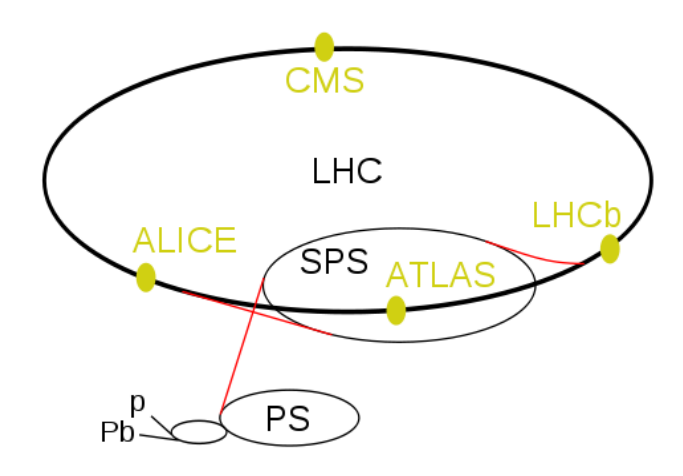


Figura 2 - Pré-Aceleradores

Nos quatro pontos de cruzamento dos feixes existem instalados um total de seis experimentos: ALICE[3] (*A Large Ion Collider Experiment*), ATLAS[4] (*Toroidal LHC ApparatuS*), CMS[5] (*Compact Muon Solenoid*), TOTEM[6] (*TOTal Elastic and diffractive cross section Measurement*), LHCf[7] (*Large Hadron Collider forward*) e o LHCb[8] (*Large Hadron Collider Beauty Experiment*).

O experimento ALICE tem como objetivo estudar através da colisão de ions pesados, a formação do estado da matéria conhecido como plasma de quarks e glúons. Acredita-se que tal plasma tenha existido no Universo, instante após o Big Bang.

O ATLAS e CMS são experimentos de propósito geral, que buscam bóson de Higgs e nova física na escala de TeV.

O experimento TOTEM é dedicado a medidas precisas da seção de choque da interação próton-próton, como também o estudo da estrutura do próton.

O LHCf é um experimento dedicado a medida de partículas neutras emitidas bem próximo a região de colisão. O principal objetivo físico é obter dados para calibração dos modelos de interação de hadrons que são usados no estudo de raios cósmicos de altíssimas energias.

O LHCb tem como principal objetivo estudar o fenômeno de violação de simetria Carga e Paridade (CP) nos decaimentos de sabores pesados, em busca de novos processos físicos, não descritos pelo Modelo Padrão.

3. LHCb (Large Hadron Collider Beauty)

O detector LHCb foi projetado para explorar um grande número de *hadrons*-b produzido no LHC a fim de fazer estudos precisos de assimetrias CP e decaimentos raros no sistema de mésons B. Sua geometria é de um experimento de alvo fixo com uma cobertura angular de 10 mrad a 300 mrad no eixo de projeção horizontal e até 250mrad no eixo de projeção vertical. O layout do detector mostrado na Figura 3 os principais sub-detectores são respectivamente: o detector de vértice (VELO), dois detectores Cherenkov para identificação de partículas (RICH1 e RICH2), um magneto, detectores de trajetórias (TT, T1-T3) e um sistema de calorímetros (SDP, PS, ECAL e HCAL), seguido de um sistema de múons (M1-M5).

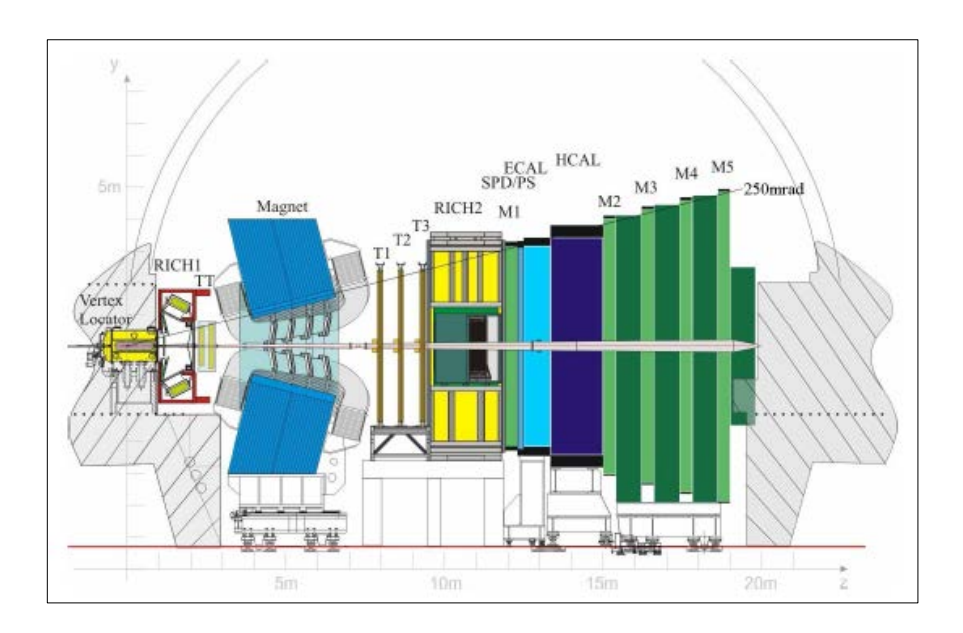


Figura 3 - Detector LHCb

3.1 Magneto

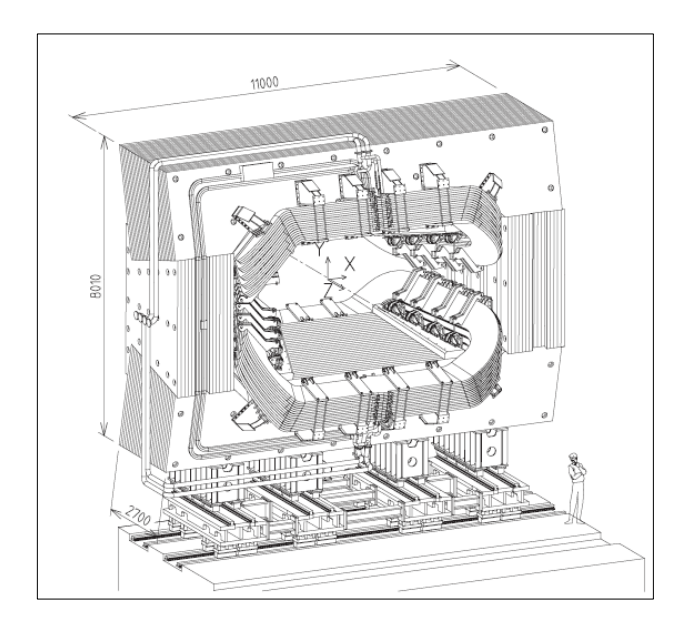


Figura 4 - Magneto

Um dipolo magnético, chamado de magneto[9], é usado no experimento LHCb para medida do momento de partículas carregadas, capaz de produzir um campo magnético integrado de 4 Tm. A polaridade do campo magnético pode ser invertida. Esta inversão é usada para o estudo e a redução de erros sistemáticos nas medidas de assimetria. A representação do magneto e o sistema de coordenadas utilizadas pode ser viso na Figura 4.

3.2 Sistema de traços

O sistema de traços tem como principal objetivo realizar reconstrução de trajetórias das partículas carregadas, que associada à medida de campo magnético possibilite extrair o momento. O sistema de traços do LHCb é composto por quatro detectores são eles: VELO, TT, IT e OT.

3.2.1 VELO

O VErtex LOcator [10] (VELO) é responsável pela medida precisa das coordenadas de traço próximas a região de interação, utilizada para medir a distância entre o vértice de produção dos mesons b e c dos vértices de decaimento. O VELO consiste em uma série de módulos de silício e onde cada módulo promove a medida das coordenadas r e φ, arranjados ao longo da direção do feixe, Figura 5.

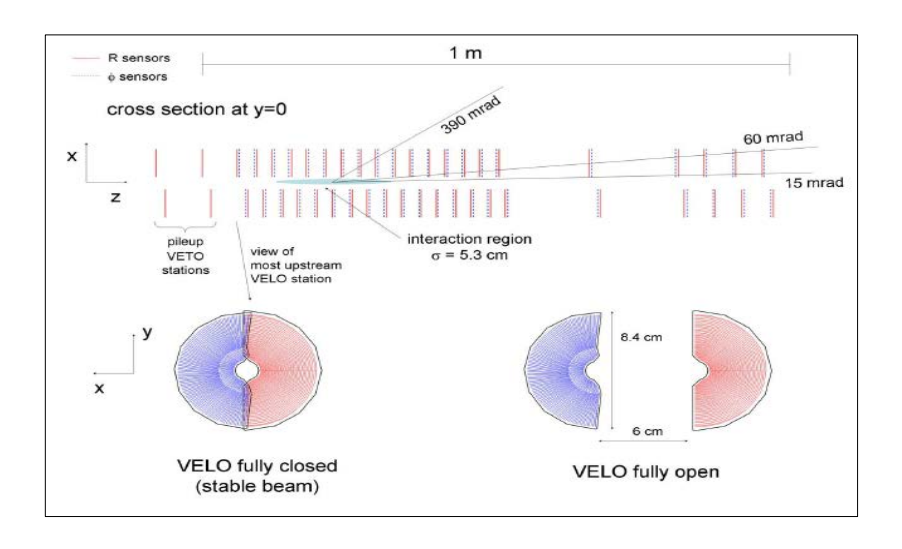


Figura 5 - Sub-detector VELO

Os sensores do VELO são localizados a uma distância radial do feixe cuja abertura é menor que a requerida pelo LHC durante a injeção e por esse motivo o sistema é retrátil. Os detectores são montados em um recipiente de vácuo separado dos sensores por uma folha fina e ondulada de alumínio. Isto é feito para minimizar a quantidade de material atravessado por uma partícula antes que esta atravesse o sensor.

3.2.2 Silicon Tracker

Dois detectores formam o Silicon Tracker: O *Trigger Tracker* (TT) e o *Inner Tracker* (IT), ambos utilizam sensores de microtiras, com aproximadamente 200 μm. O detector TT[11] está localizado entre o VELO e o magneto e é composto por duas estações com largura de 150 cm e altura de 130 cm. Cada estação é composta por quatro planos de sensores de silício com espessura de 500 μm. Um sensor é formado por 512 microtiras de silício espaçadas de 183 μm. Isso possibilita uma resolução espacial de aproximadamente 50 μm. As microtiras seguem orientações diferentes em cada plano. No primeiro plano, a orientação é vertical, no segundo plano as microtiras são rotacionadas de -5° na direção do

feixe, no terceiro de 5°, no último as microtiras são dispostas na vertical novamente, por esta geometria esses planos são chamados do tipo x-u-v-x.

O detector IT[12] encontra-se localizado depois do magneto, na região próxima ao feixe, onde se tem maior fluxo de partículas. Os sensores de silício seguem o mesmo *layout* de planos do TT, porém possuem 384 tiras espaçadas de 198 μm.

3.2.3 Outer Tracker

Na região mais externa, devido ao menor fluxo de partículas, no OT[13] emprega outra tecnologia de detecção.

O OT é composto por quatro planos de câmaras de arrasto do tipo *Straw tubes*. Cada estação é formada por quatro camadas duplas de tubos. Os *straw tubes* possuem 5 mm de diâmetro e são preenchidos com gás Ar/CO2/O2 = 70%/28.5%/1.5%. A resolução espacial é obtida a partir da medida de tempo entre o sinal do gás e a colisão do LHC.

3.3 RICH

Um dos requerimentos fundamentais do LHCb é a capacidade de separar píons de kaons em um decaimento B. Esta separação é feita através do detector RICH[14] (*Ring Imaging Cherenkov Detector*) numa faixa de momento de 1 a 100 GeV/c. Para esta finalidade existem três tipos de radiadores e dois detectores. O RICH1 localiza-se depois do detector VELO e o RICH2, antes da estação M1. O *layout* destes detectores pode ser observado na Figura 6.

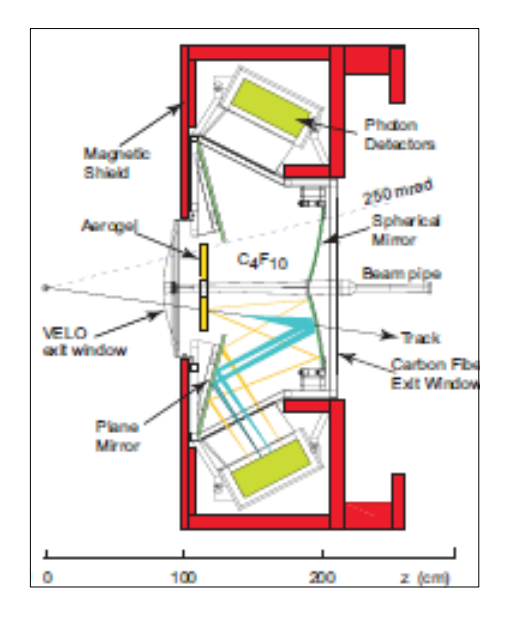


Figura 6 - Sub-detector RICH

No RICH1 são utilizados dois radiadores aerogel e C_4F_{10} , destinados a partículas de baixo momento. O elemento radiador do RICH2 é o CF_4 destinado a partículas de momento mais alto, variando de 15 a 100 GeV/c.

A luz de Cherenkov produzida nos radiadores é focalizada através de espelhos esféricos no RICH1, e por meio de espelhos planos no RICH2, para a detecção nos detectores de fótons híbridos (HPD – Hybrid Photon Detectors).

3.4 Calorímetros

Os calorímetros[15] realizam muitas funções importantes no LHCb. A primeira consiste na seleção de partículas candidatas para o primeiro nível de trigger (LO), que toma a decisão 4 µs após a interação. São responsáveis também pela discriminação entre fótons, elétrons e hadrons assim como a medida de sua energia e posição. O sistema é composto por quatro detectores: *Scintilator Pad Detector* (SPD), *PreShower detector* (PS), calorímetro eletromagnético (ECAL) e calorímetro hadrônico (HCAL).

A primeira camada de material ativo do calorímetro é o SPD. Sua principal função é detectar partículas carregadas antes da formação dos chuveiros de partículas, permitindo a separação entre fótons e elétrons. Segue-se uma parede 12 mm de chumbo usada para melhor separação de píons e elétrons através da formação e reconstrução de chuveiros eletromagnéticos.

O PS tem o mesmo princípio de funcionamento do SPD, e tem como objetivo definir a posição inicial dos chuveiros.

NO ECAL foi utilizada a tecnologia *Shashlik,* alternando placas cintiladoras de 4 mm e placas de chumbo de 2 mm de espessura.

O HCAL emprega a mesma tecnologia do ECAL porém é composto de placas cintiladoras de 4 mm e placas de ferro de 16 mm de espessura.

O SPD, PS e ECAL contêm 6.000 canais cada um, com três regiões distintas de granularidade ao redor do tubo do feixe, o HCAL contém 1.500 canais e é dividido em duas partes de granularidade distintas.

A variação de granularidade pode ser observada na Figura 7.

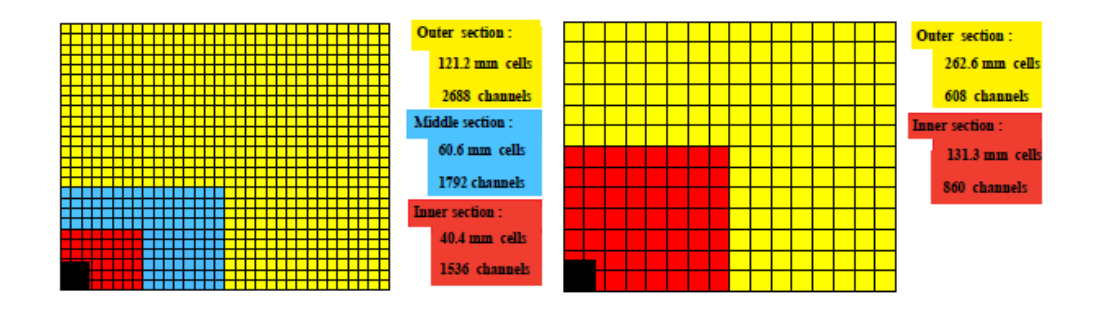


Figura 7 - Granularidade dos calorímetros

3.5 Sistema de Múons

O sistema de múons[16], mostrado na Figura 8, é composto por cinco estações (M1-M5) de forma retangular, situadas ao longo do eixo do tubo do feixe. O sistema é composto por 1380 câmaras, cobrindo uma área total de 435 m². Seu objetivo é fornecer informações para o *trigger* de múons e para a identificação de múons *off-line*.

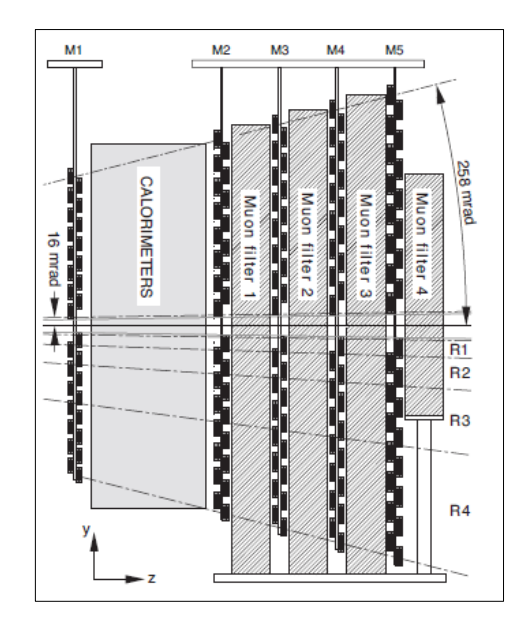


Figura 8 - Sistema de múons

A estação M1 localiza-se em frente aos calorímetros, próximo ao ponto de interação. É importante para a medida do momento transverso do traço identificado no *trigger* (L0). As outras quatro estacoes (M2-M5) são dispostas atrás dos calorímetros e são intercaladas absorvedores de ferro com 80 cm de espessura para selecionar os múons penetrantes. O momento dos múons para que atravessem as cinco estações é de aproximadamente 6 GeV/c.

3.6 Sistema de trigger

Durante a operação do LHC os dados obtidos pela colisão dos prótons são amostrados pelo detector a uma taxa de 40 MHz. Entretanto a velocidade de aquisição de dados é limitada pela eletrônica de cada detector e pela velocidade no armazenamento pelo cluster de computadores disponíveis. Para viabilizar a aquisição de dados um sistema de *trigger*[17] é utilizado para reduzir esta taxa para 2 KHz, selecionando eventos de interesse.

O *trigger* funciona em dois estágios o primeiro chamado de nível zero (LO) e o segundo *trigger* de alto nível (HTL – *High Level Trigger*).

3.7 Sistema Online

O propósito do sistema *online*[18][19] é garantir a transferência dos dados da eletrônica próxima aos detectores para os locais de armazenamento permanente. Isto inclui não somente o movimento de dados gerados pelos detectores, a configuração de todos os parâmetros de operação e o monitoramento dos mesmos. O sistema *online* também garante que todos os canais de aquisição do detector estejam propriamente sincronizados com o *clock* do LHC.

Basicamente o sistema *Online* consiste em três componentes, como mostrado na Figura 9, DAQ (*Data Acquisition System*), o TFC (*Trigger and Fast Control*) e o ECS (*Experiment Control System*).

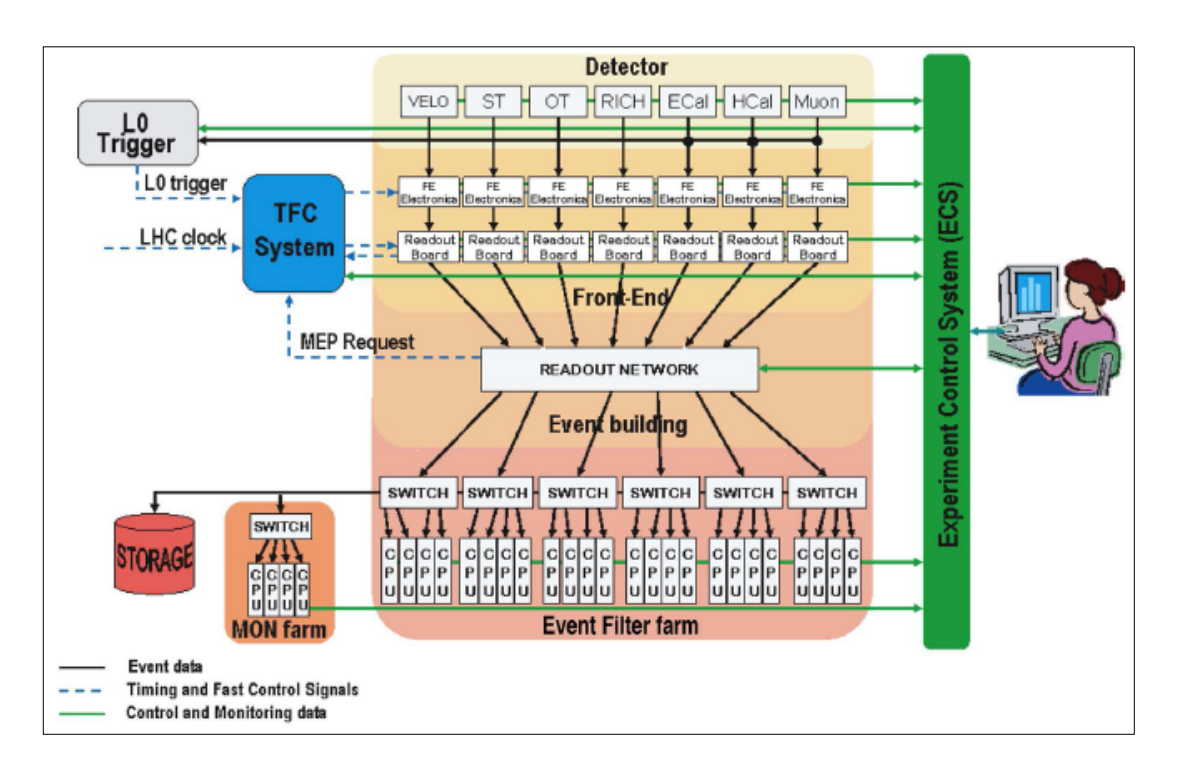


Figura 9 - Sistema Online

O sistema de aquisição de dados (DAQ) é responsável pelo transporte dos dados pertencentes a um dado *bunch-crossing* identificado pelo *trigger* correspondente ao detector para o local de armazenamento permanente. A arquitetura do DAQ segue como princípios:

 Simplicidade: Protocolos simples e um pequeno número de componentes com funcionalidades simples.

- Escalabilidade: Habilidade de reagir a modificações dos parâmetros do sistema, como o tamanho dos eventos, taxas de trigger ou o número de CPUs necessários para o algoritmo de trigger.
- Links ponto a ponto: Nenhum barramento é utilizado (fora das placas). Isto leva a um sistema mais robusto.
- Uso de produtos comerciais quando possível.

Estes princípios permitem a construção de um sistema robusto e confiável com a flexibilidade suficiente para adequar-se a possíveis novos requerimentos, motivados pela experiência com dados reais.

Os dados coletados pelos módulos da eletrônica próxima aos detectores do LHCb são coletados por placas de *readout* denominadas TELL1.

Os dados são recebidos pela placa TELL1 da eletrônica próxima aos detectores através de placas com links ópticos ou analógicos e processados em quatro FPGAs. Nas FPGAs um processamento de modo comum, *zero-suppression* ou compressão de dados, é realizado dependendo das necessidades individuais dos detectores. O resultados dos fragmentos dos dados são coletados por um quinto FPGA (*SyncLink*) e formatados em um pacote *raw* IP. Este enviado ao sistema de aquisição de dados através de uma placa de quatro canais *Gigabit-Ethernet*. A interface com o ECS é feita através de um CCPC montado como *mezzanino* na TELL1. Os sinais de sincronismo e *clock* são transmitidos através da interface de *Trigger, Timing and Control* (TTC). O fluxo de dados para o TFC é realizado através do sinal de *trottle* e é conduzido pelo FPGA *SyncLink*. O diagrama de blocos simplificado é apresentado na Figura 10.

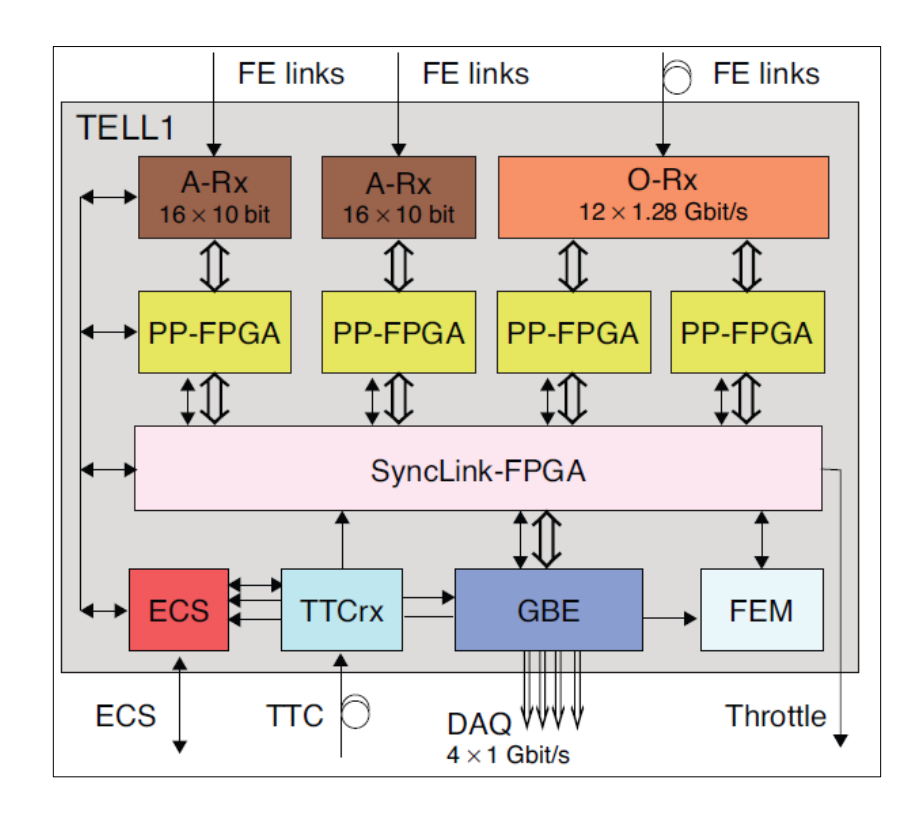


Figura 10 - Diagrama de blocos simplificado da TELL1

No cluster de CPU[20], o algoritmo HLT seleciona as interações de interesse em consequência de uma decisão positiva. Os dados são enviados então para o local de armazenamento permanente. Com o uso do HLT é esperada a redução da taxa global de trigger de 1 MHz para aproximadamente 2 KHz. O local de armazenamento permanente tem a capacidade de aproximadamente 40 TB, oferecendo um espaço de buffer suficiente para lidar com possíveis interrupções de transferências para o local de armazenamento permanente principal do CERN. Para a transferência de dados foi escolhida a tecnologia para links Gigabit Ethernet, principalmente devido a sua ampla utilização e aceitação no mercado de redes LAN, o que inclui seu baixo custo de aquisição. A grande variedade de velocidades de 10Mb/s a 10Gb/s e a disponibilidade de switches com grande capacidade de portas são outras características que foram levadas em consideração.

As quatro portas *Gigabit Ethernet* da placa TELL1 são usadas como estágio de saída. Algumas destas são conectadas a um grande switch de rede, fornecendo a conectividade entre a TELL1 e nós individuais do *Cluster*. Para superar um *overhead* significativo por pacote de *Ethernet*, o conceito de MEP (*Multiple Event Packets*) foi concebido. Em torno de dez pacotes de dados provenientes de diversas decisões de *trigger* são coletados em um único pacote IP e por sua vez transferidos de uma só vez pela rede. O tamanho do *cluster* de *CPU*

executando o algoritmo do HLT é determinado pela média de tempo de execução por evento, mas também possivelmente determinada pelo número máximo de banda em um nó de processamento individual. Se o tempo de execução for muito baixo, a banda de entrada pode constituir um fator limitante e o número de nós deve ser aumentado. O algoritmo HLT é executado em um *Cluster* de *CPU* bastante grande, onde se espera um número de 1000 a 2000 servidores do tipo 1U contendo *CPUs* com tecnologia *multi-core*. O tamanho inicial do cluster era de apenas 200 servidores e a máxima capacidade para instalação é de 2200 unidades. Este grande número de servidores esta organizado em 50 *sub-clusters* de 20 a 40 *CPUs* cada. A escalabilidade é garantida desde que um *sub-cluster* seja uma unidade funcional e não haja comunicação cruzada entre os *sub-clusters*.

A qualidade dos dados adquiridos é checada em um *cluster* de monitoramento separado que recebe os eventos aceitos pelo HLT e executa algoritmos definidos como por exemplo, o monitoramento da eficiência dos canais e a resolução de massa de um detector.

O sistema TFC trata todos os estágios do readout de dados entre a eletrônica de front-end e o cluster de processamento do sistema online, distribuindo o clock de sincronismo do feixe, as decisões do trigger LO, sinais síncronos de reset e comandos de fast control. O sistema é uma combinação de componentes eletrônicos comum a todos os experimentos do LHC e da eletrônica particular do LHCb. A arquitetura do TFC é mostrada na Figura 11 e pode ser descrita em temos de três componentes principais; a rede de distribuição do TFC, a rede de trigger throttle e o TFC máster, também conhecido como Readout Supervisor.

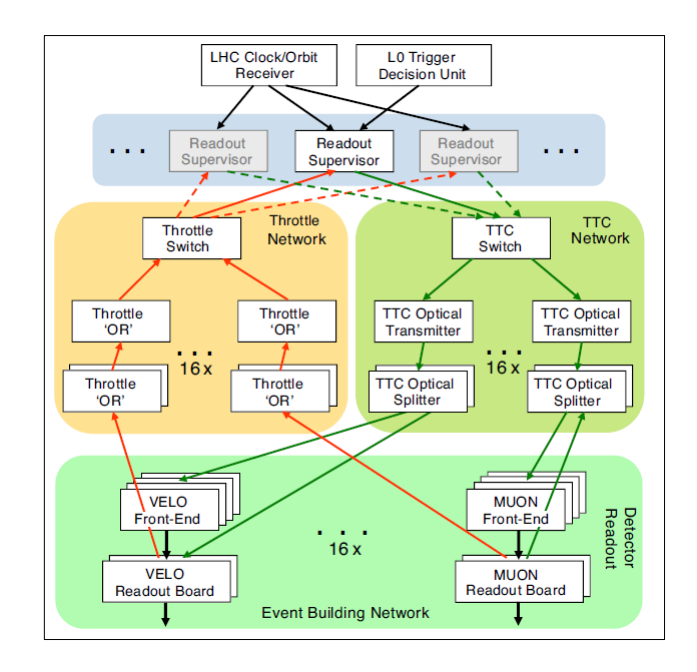


Figura 11 – Arquitetura do sistema TFC

A rede óptica de distribuição do TFC, assim como os transmissores e receptores, é baseada no sistema TTC do LHC desenvolvido no CERN. Além de transmitir o *clock* de sincronismo do feixe, o protocolo tem como característica a baixa latência do canal de *trigger* e um segundo canal com informações usadas para transmissão de comandos de controle codificados. Um switch foi desenvolvido e introduzido na rede de distribuição para permitir o particionamento dinâmico do LHCb, suportando as atividades independentes e concorrentes das atividades dos detectores, assim como verificação, calibração e teste.

A rede óptica de *throttle* é usada para transmitir o sinal de *back-pressure*, isto é, a inibição do sinal de *trigger*, para as partes assíncronas do *readout* para o *Readout Supervisor* em caso de congestionamento do caminho de dados. A rede incorpora um switch para suportar o requerimento de que o sistema de *readout* seja particionável e para permitir que os módulos executem a operação logica *OR* (OU) do sinal de *throttle* de cada subsistema localmente.

O elemento principal do TFC é o *Readout Supervisor*. Sua função é fazer a interface entre o sistema de trigger do LHCb e a cadeia de *readout*. Este elemento sincroniza as decisões de *trigger*, os comandos de sincronismo de feixe ao *clock* e o sinal da orbita do feixe, providos pelo LHC. Outra característica é a capacidade de produzir uma variedade de *auto-triggers* para a calibração e teste dos detectores, além de e realizar o controle de *trigger* em função da carga do *readout*. A fim de executar um balanceamento dinâmico da

carga sobre os nós do *cluster*, o *Readout Supervisor* seleciona e retransmite o destino do próximo grupo de eventos para as placas de *readout* baseado em um esquema de crédito em que cada nó do *cluster* envia os dados solicitados diretamente para o *Readout Supervisor*.

Para cada evento de *trigger* o *Readout Supervisor* transmite os dados pela rede dos *readout. E*ste será anexado com os dados do evento, contendo o identificador do evento, o tempo e a fonte de onde o *trigger* foi gerado.

O ECS garante o controle e monitoramento operacional de todo LHCb. Isto engloba não somente o controle tradicional de domínio do detector, como também o controle de alta e baixa tensão, temperatura, fluxo de gases, pressões, controle e monitoramento do *Trigger*, TFC e do Sistema de aquisição. Os componentes de *hardware* do ECS são um tanto diversos, principalmente em consequência da variedade de equipamentos que necessitam ser controlados, como *crates* padronizados e fontes de alimentação. No LHCb, um grande esforço foi feito para minimizar o número de diferentes tipos de interface e barramentos de conexão. São encontrados:

- SPECS (Serial Protocol for ECS) é um barramento serial de alta velocidade (10 Mb/s)
- CAN (Controller Area Network)
- Ethernet

Os dois primeiros, SPECS e CAN, são utilizados em equipamentos instalados na área de alta radiação próxima ao detector. Estas interfaces toleram um certo nível de radiação, porém não são construídos para este fim. Conexões *Ethernet* são somente utilizadas em áreas livres de radiação. A *Ethernet* é usada para controlar não somente computadores, mas também placas TELL1 através de um CCPC montado diretamente em cada placa. Esta escolha permite que computadores com interfaces comuns de rede controlem a eletrônica de *readout*.

O *software* de controle do ECS é baseado no PVSS II, um sistema comercial SCADA (Supervisory Control And Data Acquisition). Este *toolkit* fornece a infraestrutura necessária para a construção do sistema ECS, como a banco de dados da configuração do detector, a

comunicação entre componentes distribuídos, bibliotecas gráficas para a operação de painéis e um sistema de alarmes. Baseado no PVSS, um sistema hierárquico e distribuído foi desenvolvido como mostra a Figura 12.

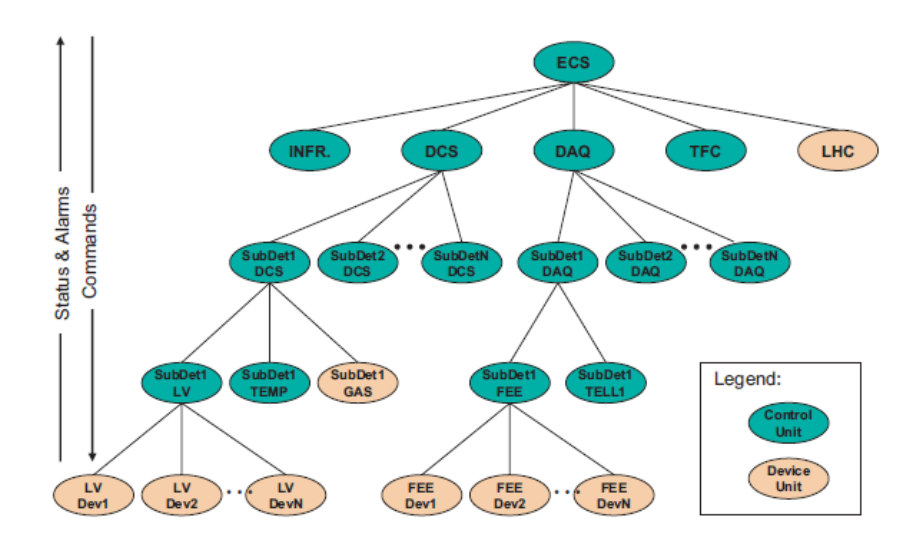


Figura 12 - Sistema hierárquico e distribuído

As *Device Units são* os componentes de acesso de baixo nível que modela os dispositivos físicos e tipicamente comunicam diretamente com o *hardware*. De uma maneira geral é implementado uma máquina de estado simples executada pelo controlador *Control Unit*. Exemplos de *Device Units* são: Fontes de alimentação e processos de *software*, como o HLT.

As transações e estados de alto nível são implementados nas *Control Units* que também contém a lógica local para a recuperação de erros de uma *Device Unit* Subordinada. Típicos exemplos de *Control Units* são: O sistema de Alta tensão, ou componentes que controlam *crates* de um detector ou todo o cluster de filtragem de eventos. As *Control Units* podem sem controladas por outras *Control Units*, para permitir a construção de uma hierarquia de profundidade arbitrária. O sequenciamento de estados é conseguido com o uso de um pacote de máquina de estados finito, baseado no SMI++ que permite a criação de uma lógica complexa. Os componentes distribuídos do sistema ECS são conectados através de uma larga rede *Ethernet*, constituída de centenas de links *Gigabit Ethernet*.

4. Upgrade da eletrônica e sistema online do LHCb

Para que seja possível implementar a aquisição de dados como previsto no *upgrade* do LHCb[21] deve-se modificar a arquitetura da eletrônica[22]. A atual arquitetura, inclui um *buffer* em *pipeline*, impondo um limite na taxa de aquisição e de *trigger* de 1 MHz. Qualquer aumento acima desta taxa requer uma nova arquitetura. Para atingir taxas de 40 MHz necessita-se do uso de tecnológicas modernas que se adaptem ao uso na física de altas energias. Por exemplo, *links* ópticos de alta velocidade serão instalados para acomodar o aumento do volume de dados vindos do detector, assim como novos esquemas de compressão de dados que serão implementados para reduzir o número de *links*. Embora o objetivo seja eliminar o *trigger* baseado em *hardware*, um mecanismo de controle será desenvolvido para controlar o fluxo de dados na aquisição. Este controle poderá ser aprimorado com informações da física, da mesma maneira do mecanismo de *trigger* existente no *Level-O, LLT (Low Level Trigger)*.

Embora o *upgrade* exija grandes modificações na eletrônica do detector, algumas medidas estão sendo tomadas para minimizar o custo, tempo de desenvolvimento e esforço na instalação, são eles:

- Reuso das partes existentes na eletrônica de FE que satisfaçam os requerimentos do upgrade.
- 2. Desenvolvimento de módulos e dispositivos comuns usados por todos os detectores.
- 3. Reutilizar o máximo possível da infraestrutura existente.

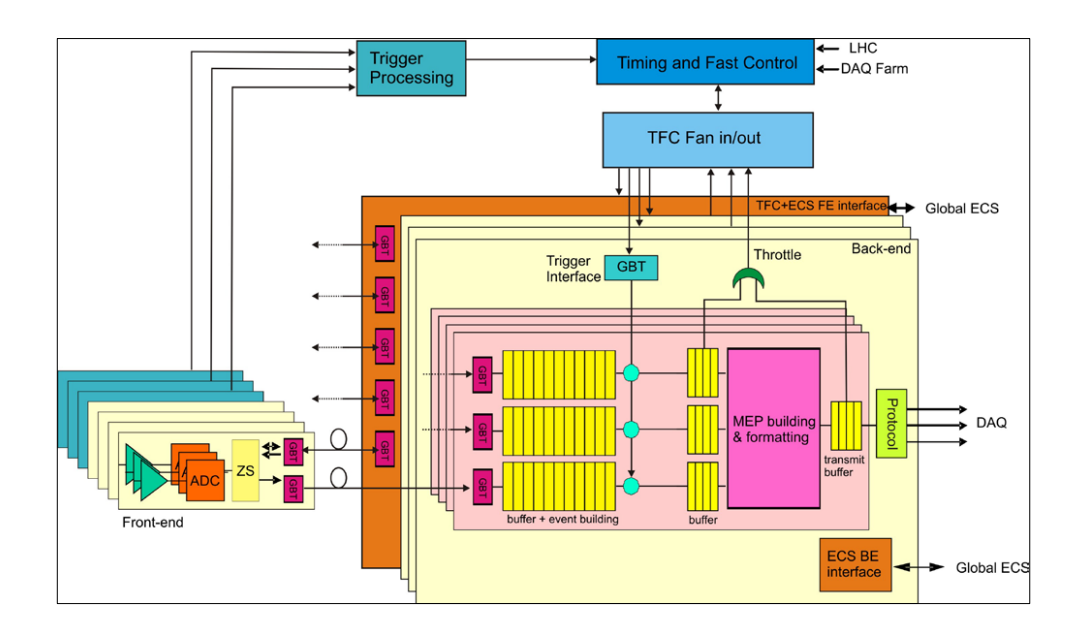


Figura 13 - Arquitetura geral do upgrade na eletrônica

A arquitetura geral do upgrade na eletrônica é mostrada na Figura 13. A eletrônica de FE sujeita a radiação, localizada junto aos detectores, é responsável pela amplificação e condicionamento do sinal gerado nos detectores. Estes sinais são digitalizados, comprimidos, formatados e então transmitidos via *links* de ópticos de alta velocidade. A eletrônica de *Back-End* (*BE*) baseada nas placas de aquisição TELL40 localiza-se em uma área protegida, afastada da radiação, e recebe os dados através dos *links* ópticos. Após a filtragem pelo LLT, os dados são digitalizados para transmissão através do sistema de aquisição de dados.

A transmissão da informação do *trigger* é feita pelo sistema TFC e contém o número de identificação de *bunch-crossing* onde o LLT teve uma decisão positiva. A configuração e monitoramento da eletrônica de BE e FE é feita através da interface ECS.

Links genéricos estão sendo desenvolvidos para o upgrade dos experimentos do LHC. Um mesmo link pode ser usado para a aquisição de dados, TFC e ECS. Por razões de custo e flexibilidade, os dados provenientes dos detectores serão transmitidos em links unidirecionais enquanto as funcionalidades de TFC e ECS irão se juntar em um número menor de links bidirecionais.

A estrutura de *bunch* do LHC será constituída de 3564 *bunches* espaçados por 24.95 ns. *Resets* regulares dos sistemas irão ser gerados para garantir o sincronismo e minimizar a perda de dados.

A taxa de ocupação de dados na banda disponível será determinada pela intensidade de colisões próton-próton no LHCb dominada pelo ruído do detector e da eletrônica. A energia nominal instantânea planejada para o upgrade e de 1 x 10³³ cm⁻²s⁻¹.

4.1 Eletrônica de Front-end

Um típico módulo de FE pode ser visto na Figura 14. Estes módulos consistem basicamente em circuitos integrados com a eletrônica de aquisição do FE conectados a *links* ópticos de alta velocidade bidirecionais, implementados usando o GBT (*Gigabit Bidirectional Trigger and Data link*) [23]. Os circuitos integrados da eletrônica de FE devem ser tolerantes a radiação presente no ambiente do detector. Áreas de alta radiação algumas vezes requerem circuitos integrados desenvolvidos sob medida. Entretanto, dispositivos encontrados comercialmente poderão ser utilizados desde que provem ser tolerantes aos níveis de radiação esperado.

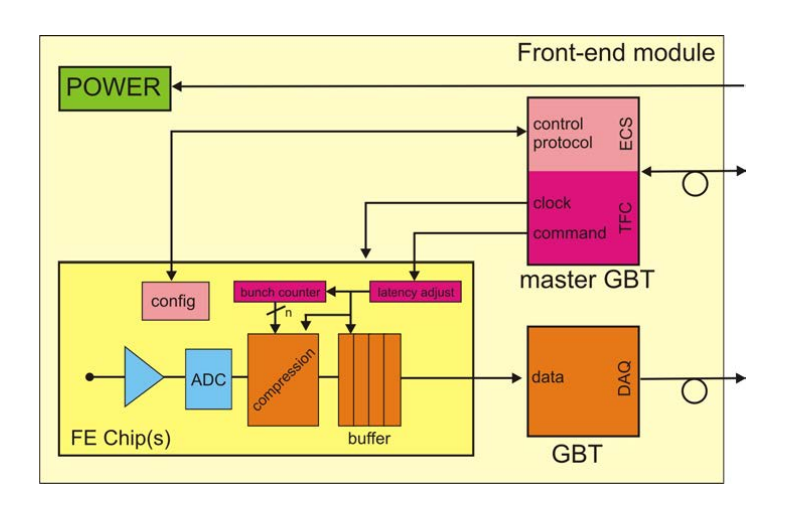


Figura 14 - Típico módulo de FE

Espera-se que o circuito integrado do FE deva ser capaz de amplificar, condicionar e digitalizar o sinal gerado pelo detector de acordo com seus respectivos requerimentos. O tempo total para a execução da aquisição dos sinais nestes circuitos deve ser rápido suficiente para permitir a identificação de uma colisão com o seu *bunch crossing*, enquanto que o tempo de recuperação para uma próxima colisão deve seguir as específicações do detector em questão. Cada detector deverá escolher o seu método de conversão analógico-digital dos sinais de forma a melhorar o desempenho, complexidade e custo.

Os circuitos digitais serão sincronizados com o *clock* de 40 MHz proveniente do GBT. O circuito deverá também permitir o ajuste de fase do *clock* para otimizar sua eficiência, respeitando colisões com espaços de 25 ns. O tamanho dos circuitos de armazenamento deverá ser tal que seja capaz de absorver flutuações estatísticas no tamanho de um evento comprimido para fazer um uso eficiente da largura de banda fornecida pelo GBT. Isto implica que dados de diferentes módulos de FE irão ser enviados de forma assíncrona para os módulos de BE. Informações adicionais serão adicionadas posteriormente nos pacotes de dados permitindo assim a reconstrução de eventos completos. A formatação mínima necessária é anexada ao cabeçalho do pacote contendo bits do *bunch-counter* (BXID). O BXID deverá ser gerado no circuito integrado do FE de forma síncrona em referência ao *clock*. Estes bits serão usados para rastrear os dados posteriormente no sistema.

Após o pacote estar completo, os dados serão enviados para a interface de DAQ do circuito integrado GBT e, em sequência, transmitidos via links ópticos.

4.2 Arquitetura geral da interface TFC/ECS no Front-end

Os sinais de controles e sincronismo do sistema serão enviados através dos links GBT da área protegida de radiação pelo *master-GBT*. Um pacote de dados será transmitido a cada período de 25 ns e transmitidos simultaneamente para todos os módulos de FE. Este pacote deverá ser decodificado pelo circuito integrado de FE e deverá se encarregar de algumas tarefas. As mais importantes serão:

- 1. Gerar o sinal de reset nos FE.
- 2. Gerar o pulso de calibração.
- 3. Gerar o sinal de reset para o contador BXID.

Para sincronizar o sistema devido a utilização de diferentes comprimentos de links, cada circuito integrado deverá ser capaz de atrasar os comandos do TFC por até 16 ciclos de *clock*. Isto permitirá a correção de qualquer diferença de latências entre os dispositivos do FE conectados ao mesmo barramento de comandos do TFC.

A configuração dos circuitos integrados do FE será feita pela interface ECS encontrada no circuito integrado do GBT-SCA[24]. Os circuitos integrados de FE deverão suportar ao menos um dos protocolos padrões disponíveis no GBT-SCA para este fim. Para permitir a leitura dos dados recém-configurados ou para qualquer outro tipo de verificação destes dados. Cada link de ECS deverá ser implementado como um link ponto-a-ponto entre o sistema do GBT e os dispositivos de FE.

Os protocolos padrões disponíveis no circuito integrado GBT-SCA são:

- Até 16 controladores l²C
- Um controlador JTAG
- 32 canais de conversores A/D (Multiplexados)
- Um barramento de memória de 32 bits
- Até 4 controladores PIA (Parallel Interface Adapter)
- Um barramento SPI
- Até 4 canais de conversores D/A

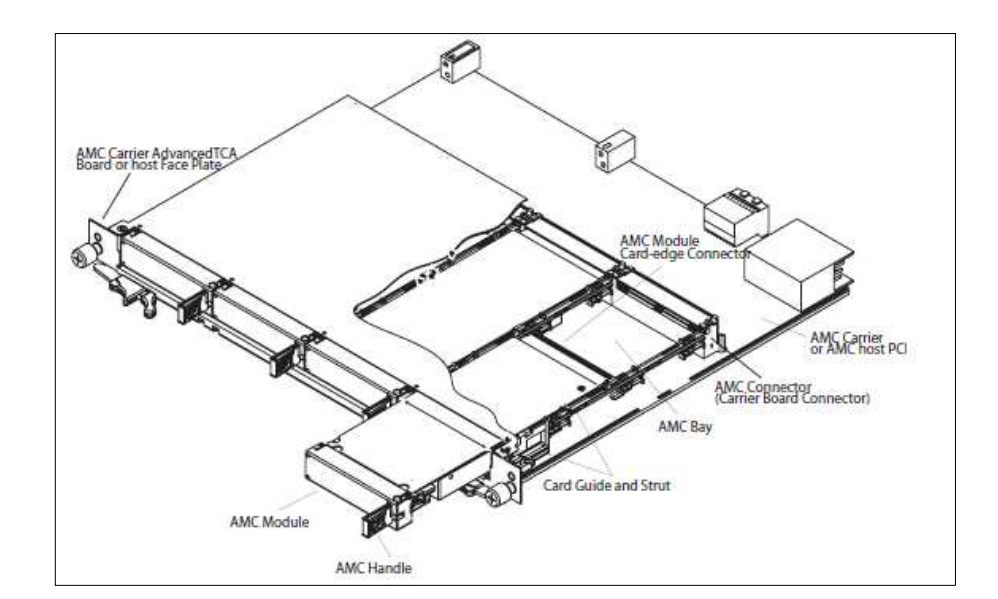
A largura de banda disponível no GBT para a transmissão de informações ECS/TFC é grande, então, em muitos casos será mais eficiente o uso de um link bidirecional GBT para fornecer informações de ECS/TFC para muitos módulos de FE.

4.3 Placas de readout

Para acomodar os novos requerimentos do *upgrade*, o sistema de aquisição e controle atual também deverá ser modificado. Uma placa genérica que cobre todos os requisitos necessários está sendo desenvolvida pelo CPPM[25].

Dois componentes genéricos estão em fase de desenvolvimento para formar uma placa de *readout* compatível com o padrão ATCA[26], mostrada na Figura 15. São elas:

 AMC40: terá a capacidade de comunicar-se com a eletrônica de FE e Clusters de processamento.



• ATCA40 : placa-mãe que hospeda até quatro placas AMC40 como *mezzanino*.

Figura 15 - Placa ATCA com quatro módulos AMC

A placa AMC40 está sendo desenvolvida para ser capaz de processar até 36 links ópticos de entrada e até 36 links ópticos de saída, em alta velocidade, através do *transceiver* do FPGA Stratrix V GX. Cada link deverá ser capaz de transmitir ou receber até 10 Gbits/s de dados. Um diagrama de blocos simplificado pode ser visto na Figura 16.

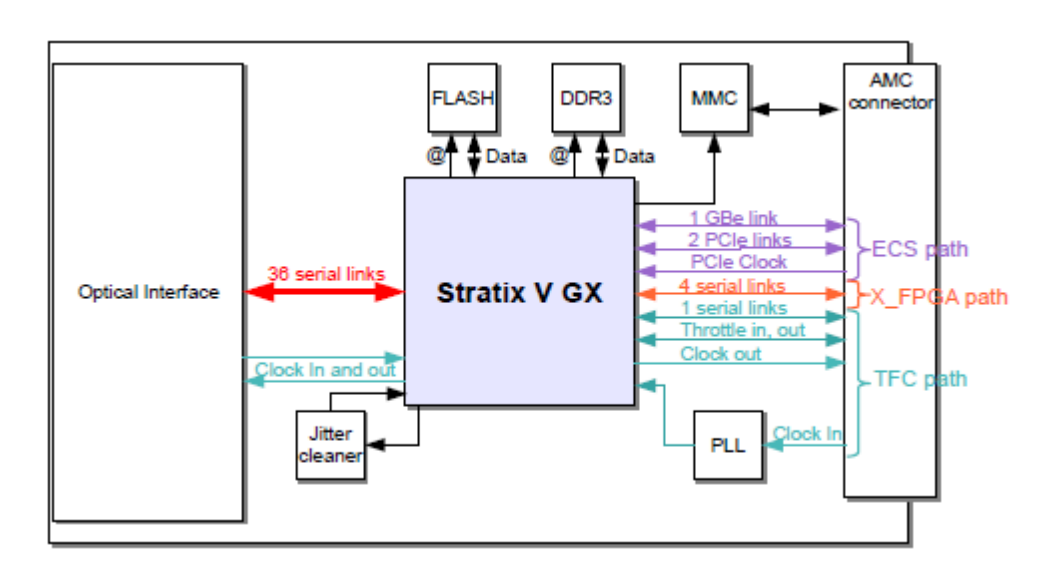


Figura 16 - Arquitetura da placa AMC40

O FPGA gerencia três tipos de caminhos através do conector AMC

- O caminho do ECS que pode ser através da conexão Gigabit Ethernet ou PCIe.
- O caminho entre as FPGAs feito através de quatro links seriais.

 O caminho do TFC feito por linhas de clock bidirecionais, linhas LVDS para transmissão de informações de throttle e links seriais de alta velocidade.

Os caminhos de ECS, TFC e *inter-FPGA*, descritos anteriormente, são gerenciados pela placa ATCA40. Seu diagrama de blocos pode ser visto na Figura 17.

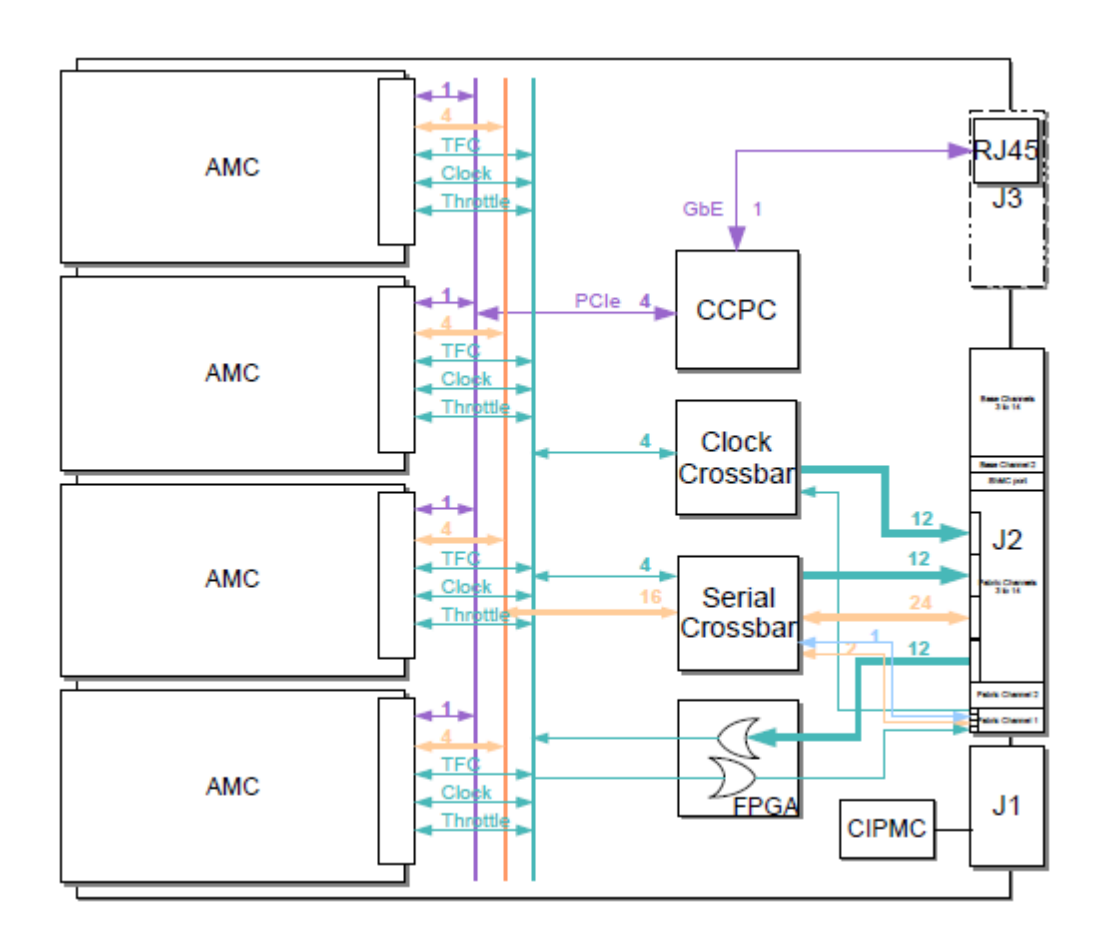


Figura 17 - Placa ATCA40

Um barramento de *clock* (*Clock Crossbar*) permitirá o roteamento do clock entre as placas AMC e o conector J2, ou entre placas AMC. O Barramento serial (*Serial Crossbar*) permitirá o roteamento dos links seriais de alta velocidade entre as placas AMC e o conector J2, ou entre placas AMC.

4.3.1 ECS nas placas de readout

Um CCPC poderá ler ou escrever registradores localizados dentro da FPGA através de quatro barramentos PCIe conectados as placas AMC. O CCPC deverá executar como sistema operacional o Linux e também será responsável pelo controle do *link Ethernet* com o sistema supervisório externo. Este é o principal componente que faz a ligação destas placas com o sistema ECS global. Um switch externo irá permitir o acesso a todos os CCPCs da mesma maneira que se faz na atual arquitetura encontrada nas placas TELL1.

Similarmente com a eletrônica de FE, os softwares de configuração e monitoramento das placas de *readout* deverão ser fornecidos centralmente:

- Bibliotecas de baixo nível e ferramentas de linhas de comando para os CCPC nas placas irão permitir o acesso a diferentes chips encontrados na placa de readout e seus mezzaninos.
- Um servidor executado no CCPC irá permitir a comunicação via TCP/IP e implementará comandos de alto nível para a configuração e monitoramento de diversos chips.

A integração com o componente ECS via WinCC-AO (ex PVSS) irá fornecer uma descrição de alto nível e acesso a todos os componentes eletrônicos.

O sistema ECS da placa de *readout* é o foco deste trabalho e no capítulo a seguir serão descritos todos os elementos necessários para o desenvolvimento deste sistema.

4.4 Arquitetura de readout

O fluxo de dados do ECS e TFC irão requerer links bidirecionais enquanto a aquisição será feita por links unidirecionais. Os FE em geral irão necessitar de menos links para ECS e TFC do que links para aquisição. O *crate* que gerenciará um detector poderá ajustar a relação entre o número de placas de *slow control* (FSC40) e aquisição(TELL40) para atingir o número de FE necessárias na eletrônica de FE, como mostrado na Figura 18.

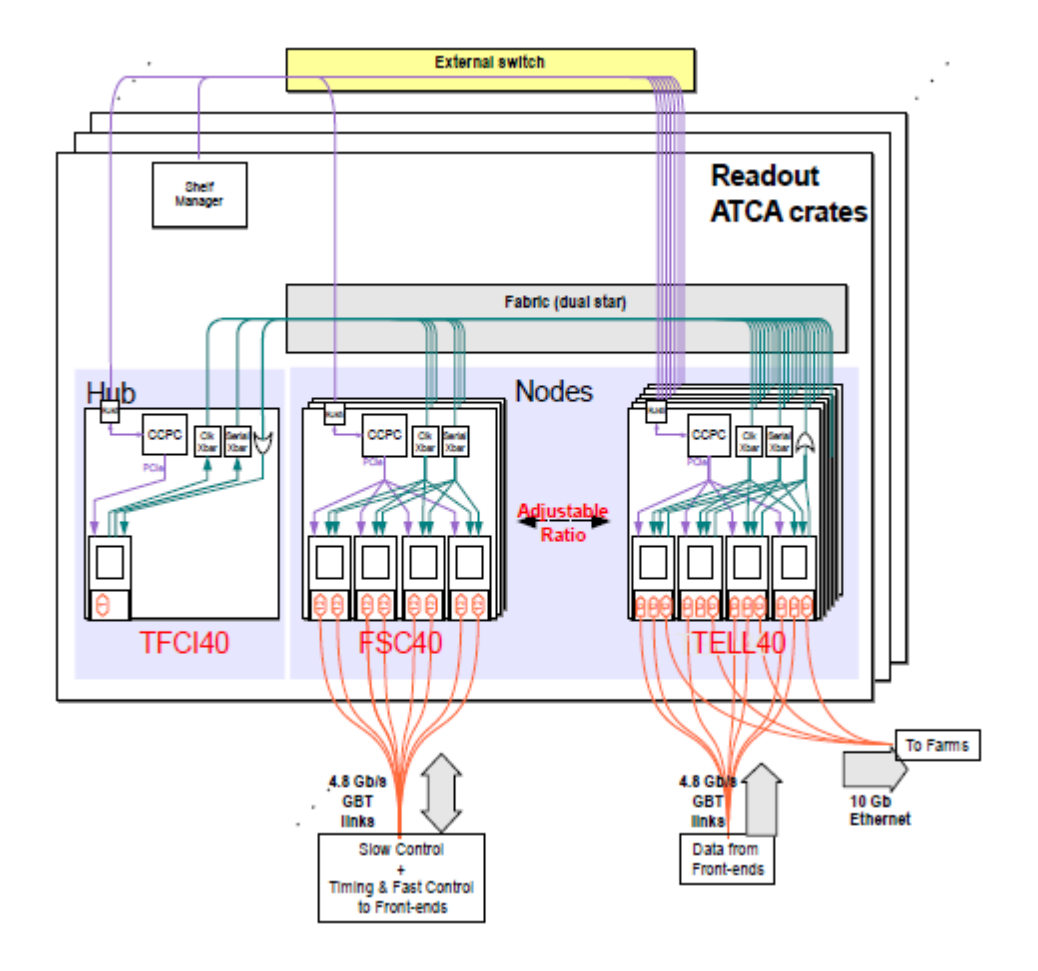


Figura 18 - Arquitetura de readout com switch externo

Cinco configurações podem ser tratadas com o mesmo hardware:

- TELL40 para aquisição de dados.
- FSC40 para slow control e interfaceamento TFC com os FE.
- ODIN40 para Supervisão do TFC, decisões de trigger de baixo nível e interface com o tempo do LHC.
- TFCI40 para o gerenciamento local do TFC em cada crate.
- TRIG40 para fornecer interface entre o antigo trigger LO, o sistema de TFC e DAQ

Na configuração TELL40, o sistema será capaz de coletar fragmentos de um evento da eletrônica de FE e juntá-los em um único pacote Ethernet que será enviado para o cluster de processamento. Três caminhos diferentes são ilustrados pela Figura 19.

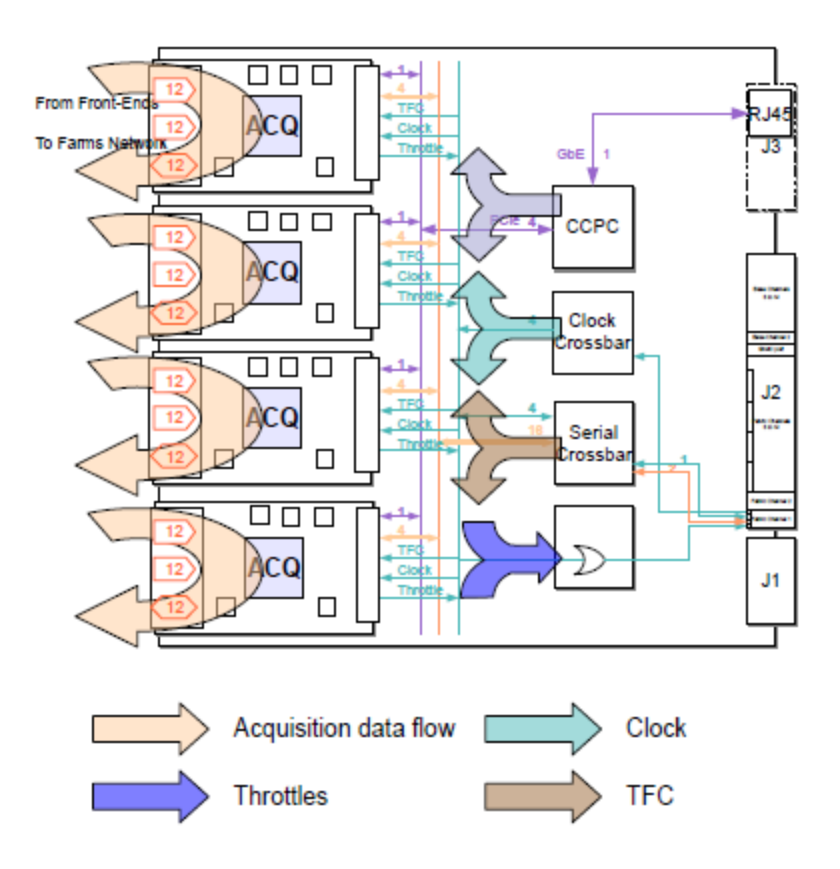


Figura 19 - Configuração TELL40

Os fragmentos dos eventos serão processados no FPGA da placa AMC40. Informações de *clock* e TFC serão recebidas pela placa TFCI40 localizadas no mesmo *crate*. E então distribuídas para as placas TELL40 através do *backplane* do *crate* e distribuídas para os FPGA da placa AMC40 pelo barramento local. Nesta configuração as informações de *clock* e TFC serão utilizadas pelo processamento local da TELL40. A informação de *throttle* gerada por cada placa AMC40 será então concatenada e enviada de volta para a única placa TFCI40.

Os dados do ECS das placas AMC40 serão recebidos pelo CCPC via rede dedicada e transmitidas para os FPGAs localizados nas placas AMC40 através dos links PCIe.

A placa na configuração FSC40 atuará como concentrador do ECS/TFC, os caminhos diferentes desta configuração podem ser visto na Figura 20.

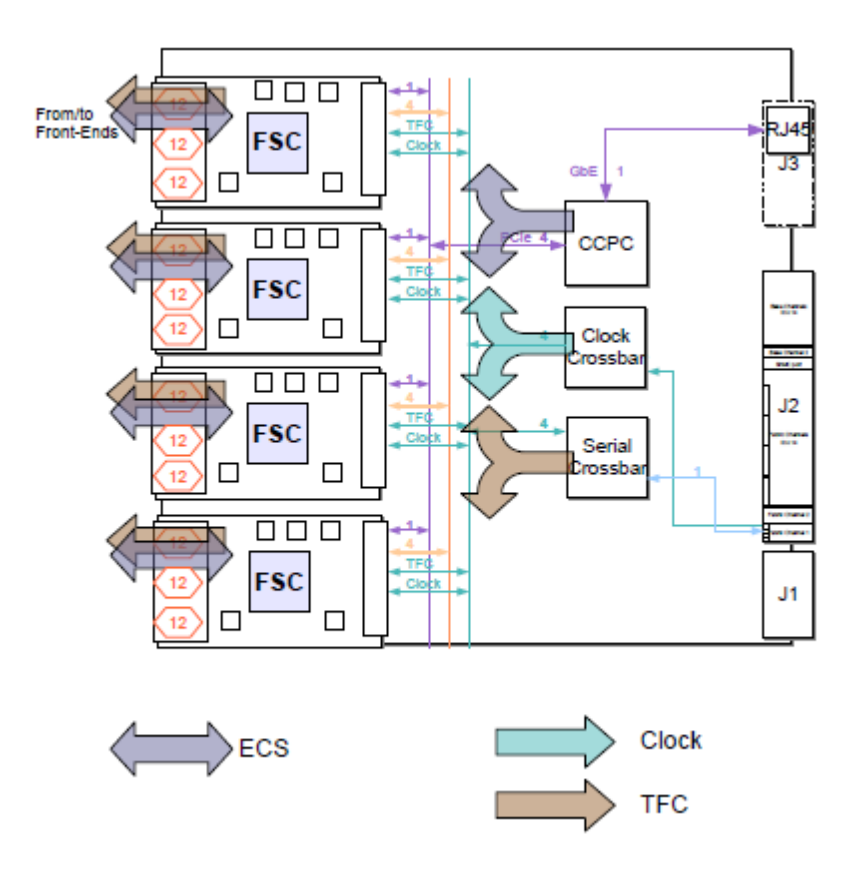


Figura 20 - Configuração FSC40

Os dados do ECS e TFC serão recebidos e transmitidos de forma similar a TELL40. Porém, todas estas informações serão concatenadas para serem enviadas pelo *link* GBT para os FE. Um mecanismo especial, embarcados nas FPGA, irá garantir que a fase do *clock* seja constante respeitando o principal com a precisão de 50 us RMS.

Até 144 links ECS poderão ser controlados por uma placa FSC40.

ODIN40 é o componente principal que tratará dos sinais de clock e distribuição de comandos. Sua configuração pode ser observada na Figura 21.

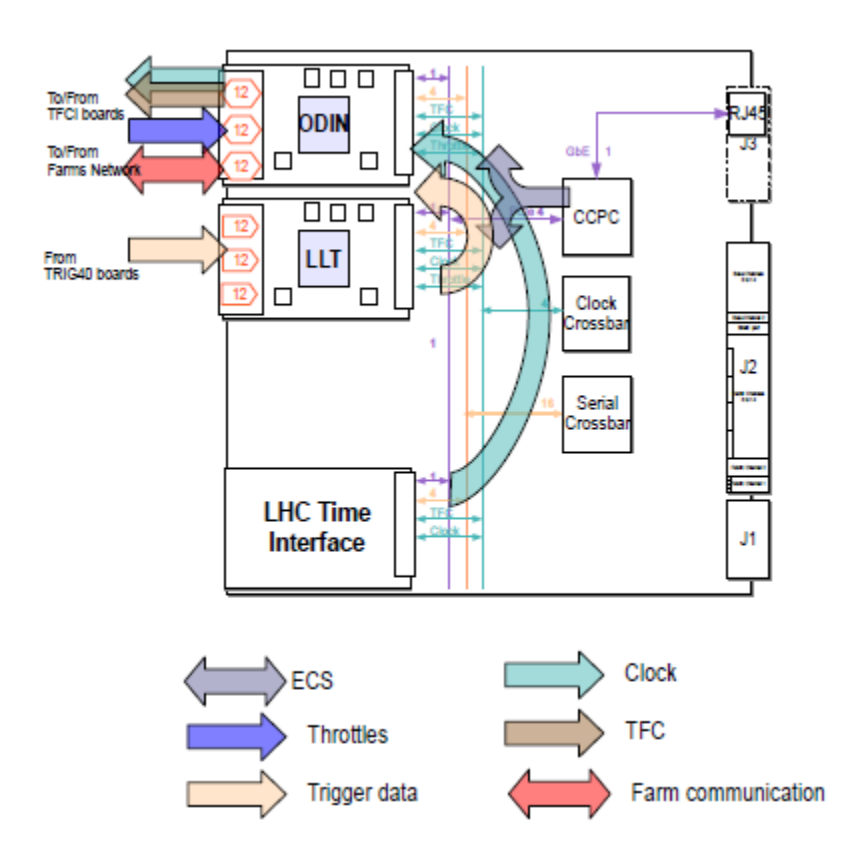


Figura 21 - Configuração ODIN40

O clock do LHC será recebido por uma placa dedicada (LHC Time Interface) e será enviado para a placa ODIN/AMC40 através da rede de clock local e seu crossbar associado. Os triggers candidatos do LLT serão computados pela placa TRIG40 e recebidos pela placa LLT/AMC40 que controlará a decisão final do LLT e o enviará para a placa ODIN/AMC40 através dos links seriais de alta velocidade que interconectam as diferentes placas AMC.

A função *Super*-ODIN, implementada na placa ODIN/AMC40, usa a decisão principal do LLT, a informação de *throttle* da placa TELL40 e a disponibilidade do cluster de processamento, para construir a informação do TFC que serão transmitidas pelas fibras ópticas para a placa TFCI40 em cada *crate*. Estra transmissão será feita sincronamente com o *clock* do LHC e em fase constante.

Até 24 *crates* poderão ser tratados por uma placa *Super*-ODIN. A comunicação com os *cluster* de processamento será feito por meio de 12 links ópticos bidirecionais usando o protocolo 10 Gb Ethernet.

A placa TFCI40 será a interface entre a placa ODIN40 local do *crate*. Sua configuração pode ser encontrada na Figura 22.

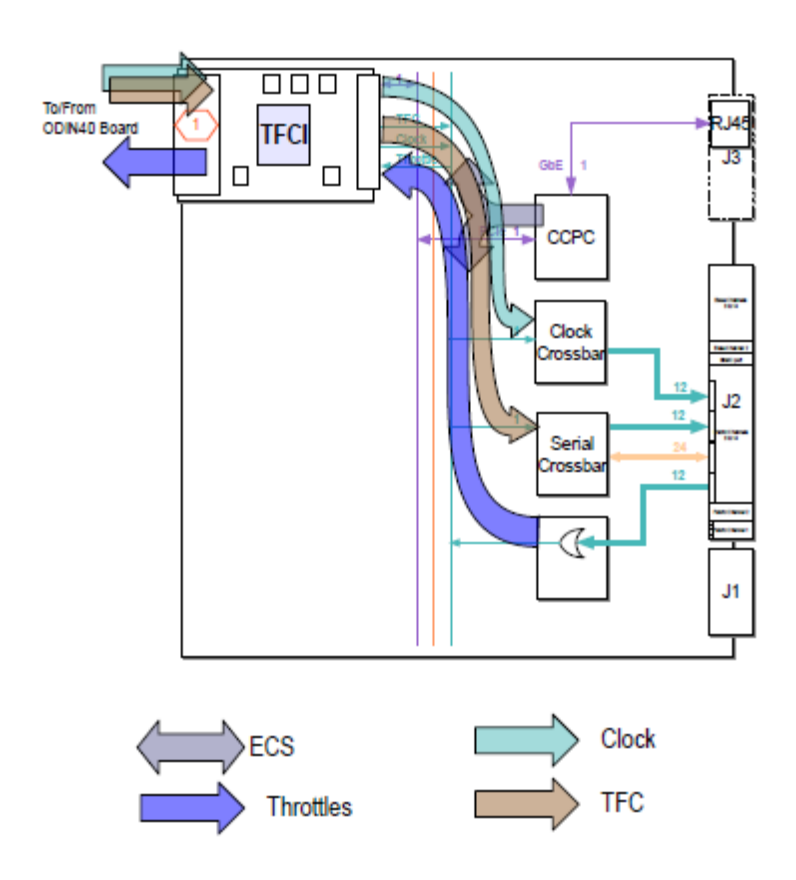


Figura 22 - Configuração TFCI40

As informações de *clock* e TFC serão recebidas pelos módulos ODIN40 através de links ópticos, e assim distribuídas para outras placas no mesmo *crate* (FSC40, TELL40 TRIG40) via ao *backplane* com ajuda do *crossbar* localizado na placa ATC40. Informações de *throttle* oriundas de placas TELL40 sofrerão a operação logica "OU" localmente e enviadas para a placa ODIN40 via *link* óptico.

A interface entre os processadores LLT de múons e dos calorímetros, e unidades de decisão LLT localizadas na placa ODIN40 será feita através da configuração TRIG40, ilustrada na Figura 23.

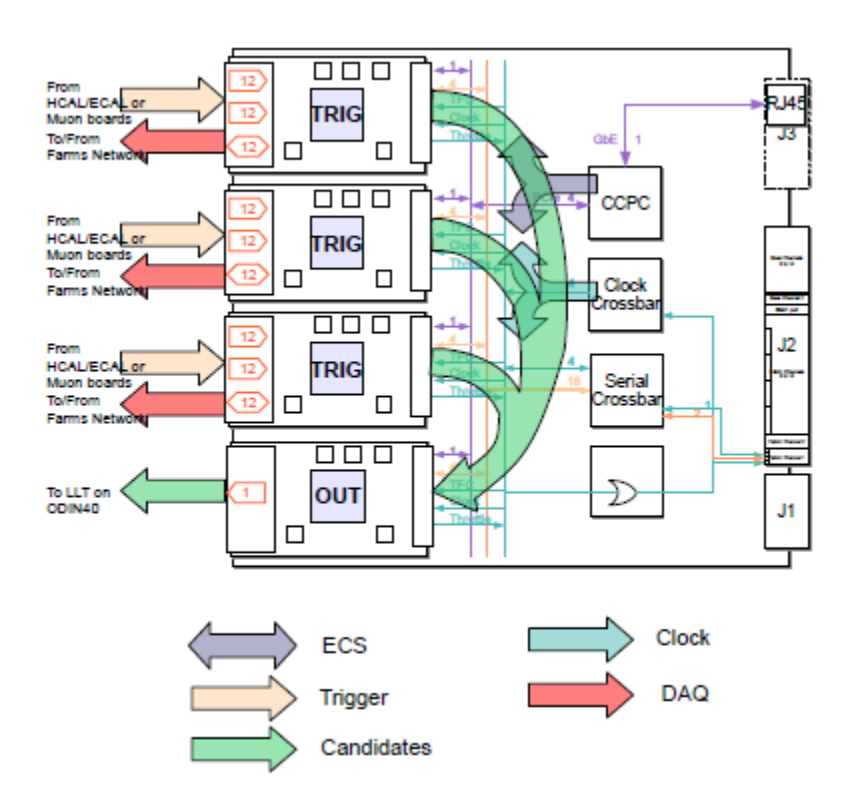


Figura 23 - Configuração TRIG40

O processadores de LLT enviarão os seus candidatos a placa TRIG/AMC40 a um taxa de 40 Mhz. Candidatos com o maior momento transverso serão selecionados. Os restantes serão enviados para a placa OUT/AMC40 pelos links ópticos, aonde a decisão final será tomada.

Os processadores de LLT enviarão os dados de entrada e os resultados do processamento a 1 MHz. Esta informação será escrita em disco e usada para verificar o comportamento do processador. Estes dados brutos serão recebidos pela placa TRG/AMC40 onde serão concatenados e comprimidos para posterior envio para o DAQ.

5. O Módulo ECS-CBPF

Motivados pela necessidade de upgrade do sistema de controle da placa TELL40, o CBPF desenvolveu um módulo de controle de experimento genérico, ECS-CBPF é uma placa em formato de *mezzanino* que foi projetada para fazer a conexão entre um sistema genérico a ser controlado, chamado neste documento de hospedeiro, e a sala de controle do experimento LHCb através de um link *Gigabit Ethernet*. Consiste em uma unidade de processamento e controle, contendo um CCPC modelo COMe-mTTi10 da Kontron [27] carregada com o sistema operacional Linux, uma unidade lógica programável Cyclone IV (FPGA) que faz o interfaceamento do CCPC com dispositivos de baixa velocidade como I²C, JTAG e SPI a serem configurados e monitorados pela sala de controle e um *switch* PCIe PEX8609 da PLX [28] para a comunicação com outras unidades logicas programáveis em alta velocidade utilizando o barramento PCIe. Os componentes do módulo são alimentados por meio de uma tensão externa proveniente do hospedeiro.

O ECS-CBPF e seu diagrama de blocos são apresentando nas Figuras 24 e 25, respectivamente.



Figura 24 - Módulo Experiment Control System - CCPC CBPF

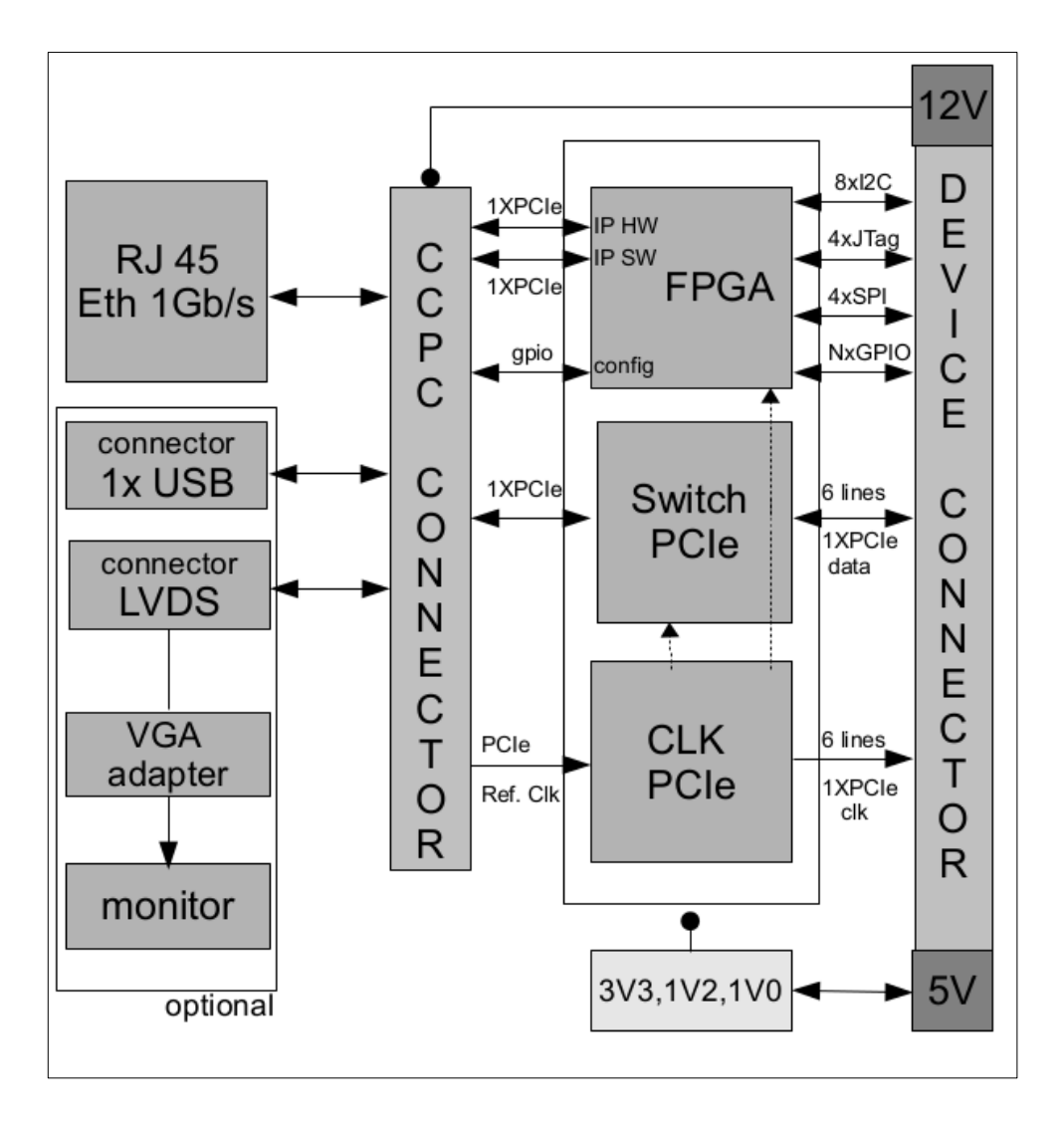


Figura 25 - Diagrama de blocos do módulo ECS-CBPF

As seguintes funcionalidades são encontradas:

- Computador de controle
- Interface padrão Gigabit Ethernet
- Seis canais de comunicação PCle
- Oito controladores independentes I²C
- Quatro controladores independentes JTAG
- 36 pinos de Entradas/Saídas genéricas

5.1 Protocolos e barramentos de comunicação

Para que a comunicação entre a sala de controle e a placa de aquisição seja realizada é necessária a criação entre alguns protocolos de comunicação que serão explicados a seguir.

5.1.1 Barramento PCIe

O padrão PCI Express [29] (PCIe) é uma evolução do PCI[30], barramento de comunicação entre um processador (*rootport*) e periféricos (*endpoint*) em um computador. Apesar de não se enquadrar fisicamente como um barramento, uma vez que o mesmo utiliza linhas seriais de transmissão e recepção para a comunicação, por questões históricas referese ao PCIe como um barramento. É importante ressaltar que no ponto de vista de *software* ou *drivers* nos sistemas operacionais o PCIe é totalmente compatível com o PCI.

O protocolo de comunicação utilizado pelo padrão PCIe é dividido em camadas[30]: camada de transação, camada de *link* de dados e camada física, como mostrado na Figura 26.

A primeira camada do PCIe é a camada de transação TL (*Transaction Layer*.) Esta interage com o dispositivo PCIe e a camada inferior a ela. A TL é responsável por iniciar o processo de transmissão de dados transformando uma requisição, provenientes de um dispositivo em um pacote de dados TLP (Transaction Layer Packet). O pacote é composto por informações em um cabeçalho que é codificado de tal forma a identificar o tipo de operação a ser realizada, como a quantidade de bytes necessários para o cabeçalho, e opcionalmente por bytes de dados, quando necessário.

A camada de link de dados DLL (*Data Layer Link*) interage com a primeira e terceira camadas. Seu principal objetivo é garantir a integridade dos dados que circulam pelo *link* PCle. Para isto, a DLL adiciona uma sequencia numérica única no inicio do pacote e uma codificação para checagem de erros no final do mesmo. Utiliza-se a técnica de CRC (Checagem de Redundância Cíclica) para detecção de erros. Caso seja detectado um problema a DLL gera um pacote DLLP (*Data Layer Link Packet*) que é transmitido de volta para o dispositivo. Este pacote contém informações específicas, tais como o gerenciamento de hierarquia, notificação de erros, controle de fluxo de dados e outros.

A camada física (PL – *Physical Layer*) do PCIe é responsável pela transmissão e recepção das camadas anteriores através de sinais elétricos, composta por dois pares diferenciais, em geral do tipo LVDS ou PCML. Um par é responsável pela transmissão (TX) e outro pela recepção (RX). Juntos constituem em um *lane*. Pode-se combinar *lanes* em paralelo para se obter um *link*. Um *link* é composto por no mínimo um *lane* (1x), outras configurações disponíveis são: 2x, 4x, 8x, 16x e 32x. No padrão PCIe 1.1 [31] a capacidade de transporte de dados é de 2.5 Gb/s em cada direção, ou seja 250 MB/s de dados brutos (Sem levar em conta o *overhead* de cabeçalhos e outras informações), atingindo um máximo de 80 Gb/s na configuração 32x. A Figura 26 representa um pacote completo PCIe.

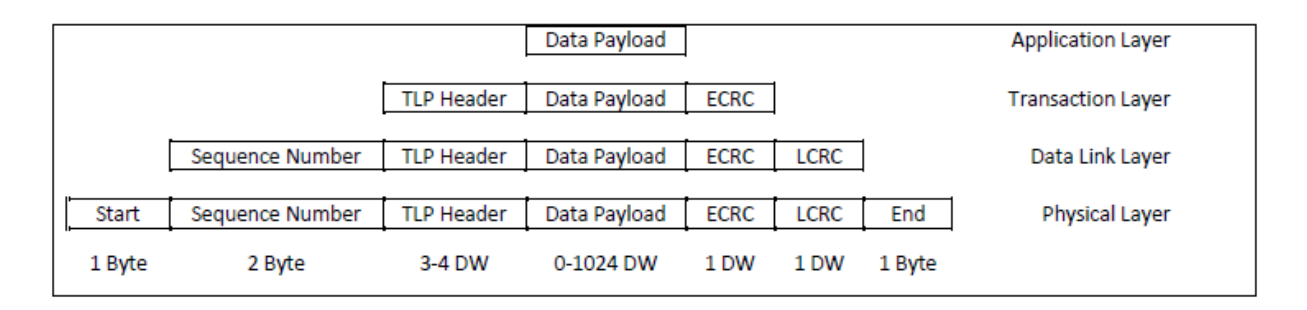


Figura 26 - Pacote de dados PCIe

5.1.2 Barramento I²C

O barramento I²C foi desenvolvido em meados dos anos 80 pela Philips, inicialmente concebido para fazer a interconexão entre uma CPU e *chips* controladores em televisores. Percebeu-se que conforme a medida que quantidade de periféricos aumenta em um barramento paralelo, as conexões se tornam mais complexas, aumentando os custos de projeto e desenvolvimento, além de tornar a placa do circuito mais suscetível à interferência eletromagnética (EMI). Por conta destes problemas, adotou-se um barramento serial de dois fios. Atualmente este barramento tornou-se padrão na indústria e fabricantes de semicondutores como Atmel, Intel, Microchip, Maxim, Texas Instrument entre outros, fabricam dispositivos compatíveis com este barramento com as mais diversas funções, como por exemplo memórias, displays, conversores A/D e D/A, sensores de temperatura, pressão e humidade, etc.

Fisicamente o barramento consiste em duas portas (fios ou linhas de comunicação) de coletor-aberto bidirecionais SDA (*Serial Data Line*) e SCL (*Serial Clock Line*). Os dispositivos são dispostos no barramento em uma arquitetura Mestre/Escravo, onde sempre o Mestre

inicializa uma comunicação. Alguns dispositivos podem atuar, não simultaneamente, como Mestre e Escravo. Como visto na Figura 27.

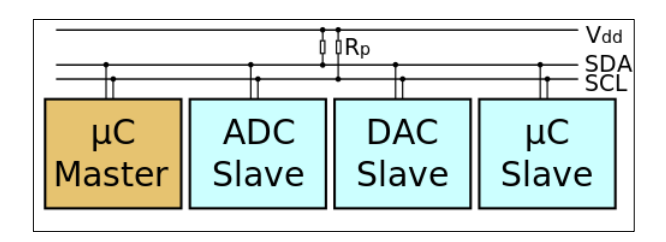


Figura 27 - Barramento I²C

O protocolo de comunicação I²C segue o seguinte fluxo:

- O dispositivo Mestre envia ao barramento um sinal START. Isto faz com que os dispositivos Escravos esperem por uma comunicação.
- O dispositivo Mestre envia um registro com o endereço do dispositivo Escravo a ser acessado e a direção da comunicação, leitura ou escrita.
 - Se o dispositivo n\u00e3o for o respons\u00e1vel pelo endere\u00f3o, este ir\u00e1 ignorar os comandos e aguardar\u00e1 o sinal de STOP.
 - O dispositivo com o endereço solicitado enviará uma resposta com um sinal de ACK (Acknowledge).
- Logo após o dispositivo Mestre receber o sinal de ACK, inicia-se a transmissão ou requisição de dados. Após o termino das operações o Mestre envia o sinal de STOP e libera o barramento para outro Mestre atuar.

O processo descrito no fluxo à cima pode ser observado na Figura 28.

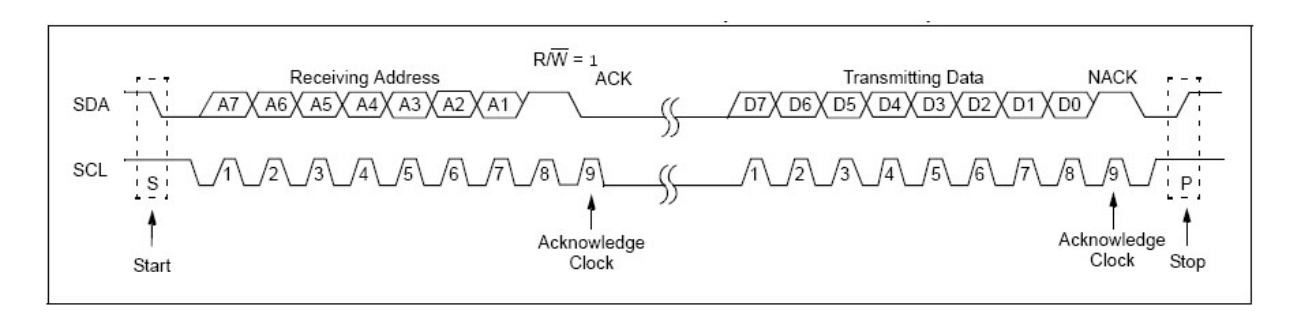


Figura 28 - Protocolo I²C

Os sinais de *clock* são gerados pelos dispositivos Mestres através da linha SCL e os dados são validos apenas quando o sinal SCL estiver em nível alto.

5.1.3 JTAG

Devido à miniaturização e discretização dos componentes eletrônicos na forma de circuitos integrados e placas de circuitos impressos com diversas camadas, acrescentou-se certa dificuldade para a realização dos testes através de pontas de prova na superfície destes circuitos. Em 1985 foi criado um grupo internacional (JTAG – *Joint Action Group*) para o desenvolvimento de uma solução deste problema. Após alguns anos de sua criação, esta solução foi adotada por grande parte da indústria e assim criou-se o padrão IEEE Std. 1149.1-1990: IEEE *Standatd Test Access Port and Boundary Scan Architecture*[32], também conhecido como JTAG. Este padrão utiliza componentes em *hardware* nos circuitos integrados, permitindo o controle através de *software*. Recentemente o grupo JTAG, desenvolveu e publicou um novo padrão o IEEE Std 1532.2-2010: *IEEE Standard for System Configuration of Programmable Devices* [33] e seu objetivo foi padronizar a configuração de dispositivos lógicos programáveis, as FPGA, através da interface JTAG.

A interface JTAG é composta por quatro pinos (um quinto opcional) e um conjunto de registradores de controle e de dados. Seu objetivo é permitir a realização de testes e monitoramento de níveis lógicos nos pinos de um circuito integrado que contém esta interface. Para selecionar o tipo de teste executado pela interface utiliza-se o *Instruction Register* (IR), o qual realiza monitoramento do nível de lógica do circuito o *Boundary Scan Register* (BSR) conectado diretamente a cada pino do dispositivo. Em conjunto com IR existe o *Data Register* (DR), para instruções de recebimento e envio de dados.

Os pinos existentes são:

- TCK: Sinal de Clock.
- TMS: Seleção do modo de teste (*Test Mode Select*).
- TDI: Entrada de dados.
- TDO: Saída de dados.
- TRST: Sinal de *Reset* (Opcional).

O Sinal TMS controla uma máquina de estado, chamada de *Test Access Port* (TAP), responsável pela execução dos testes e fluxo de dados do dispositivo. A Figura 29 ilustra o diagrama da máquina de estado do controlador TAP.

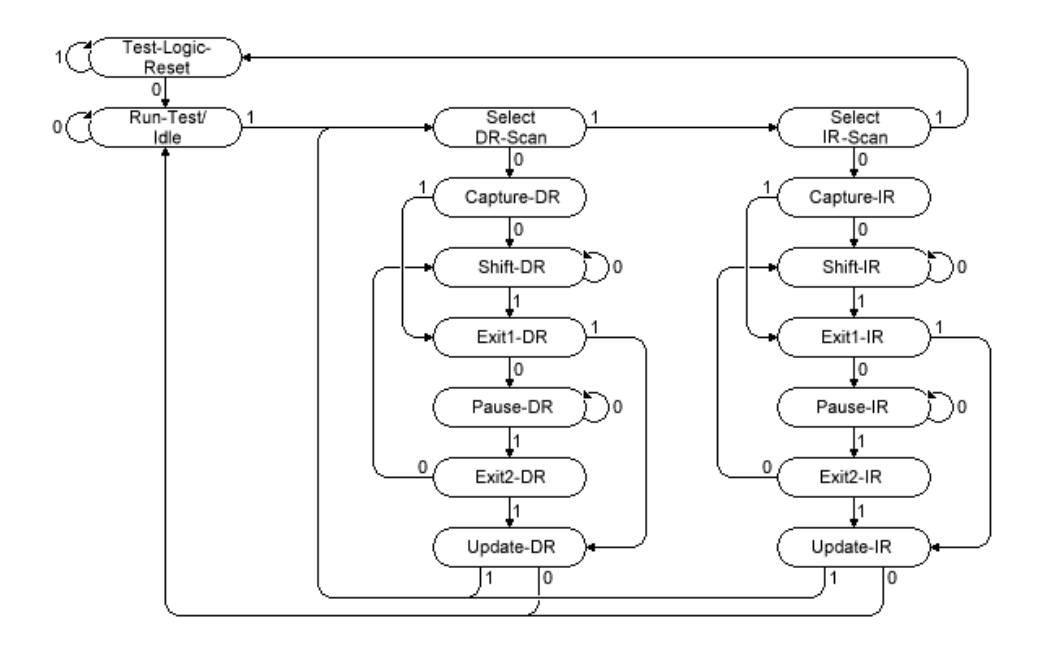


Figura 29 - Máquina de estado do controlador JTAG

O gerenciamento dos sinais, controle dos testes e configuração dos dispositivos que possuem uma interface JTAG, é realizado pelo controlador JTAG *master*, que pode controlar um ou mais dispositivos ligados em cadeia, como mostrado na Figura 30.

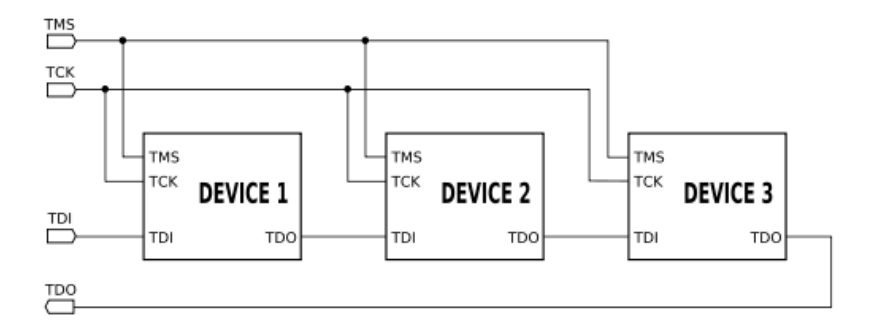


Figura 30 - Configuração de uma chain JTAG

5.2 Ferramentas de desenvolvimento

O projeto ECS-CCPC ECS foi desenvolvido utilizando ferramentas comerciais disponíveis, são elas:

- Kit de desenvolvimento PCle Cyclone IV (DB4CGX15) [34] em conjunto com o programa da Altera, Quartus II [35], e seus módulos.
- O programa Altium Design Summer 09 [36], Utilizado para o desenho do esquemático (Apêndice A) da placa e confecção de layout para posterior produção da placa.

5.3 Kit de desenvolvimento Cyclone IV (DB4CGX15)

O kit de desenvolvimento DB4CGX15, mostrado na Figura 31, utiliza um FPGA da família Cyclone IV (EP4CGX15C6N), de baixo custo e consumo se comparado com outras famílias do mesmo fabricante. Possui um bloco em hardware dedicado para o protocolo PCIe possibilitando assim um maior desempenho e economia em relação a recursos utilizados dos elementos lógicos disponíveis no FPGA. No modelo utilizado pelo kit encontram-se disponíveis 15.000 elementos lógicos para o desenvolvimento de aplicações além de um chip de configuração (EPCS16), memória do tipo DDR2 (256MB), programador USB integrado e um conector com pinos de Entrada/Saída.

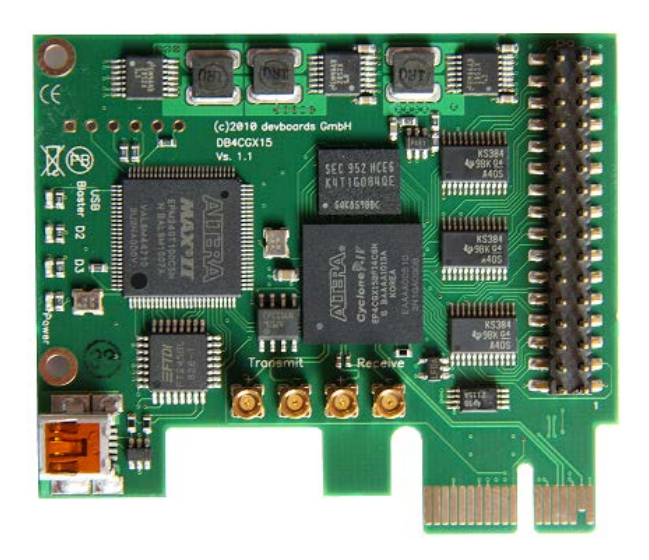


Figura 31 - Kit de desenvolvimento DB4CGX15

Com a utilização deste kit foi possível projetar e verificar o funcionamento do protocolo PCIe, assim como a conexão com os outros controladores encontrados no projeto a serem descritos no tópico do desenvolvimento do *firmware*, antes mesmo do desenvolvimento da placa.

Baseado no desenvolvimento utilizando o kit foi possível estimar a utilização de recursos no FPGA possibilitando assim à escolha do chip adequado as características do ECS-CBPF.

5.4 Desenvolvimento do Hardware

5.4.1 Distribuição de alimentação

O módulo recebe como entrada do sistema hospedeiro a tensão de alimentação de 12V e gera todas as tensões necessárias para seu funcionamento. A Figura 32 mostra a representação da distribuição das tensões envolvidas no projeto.

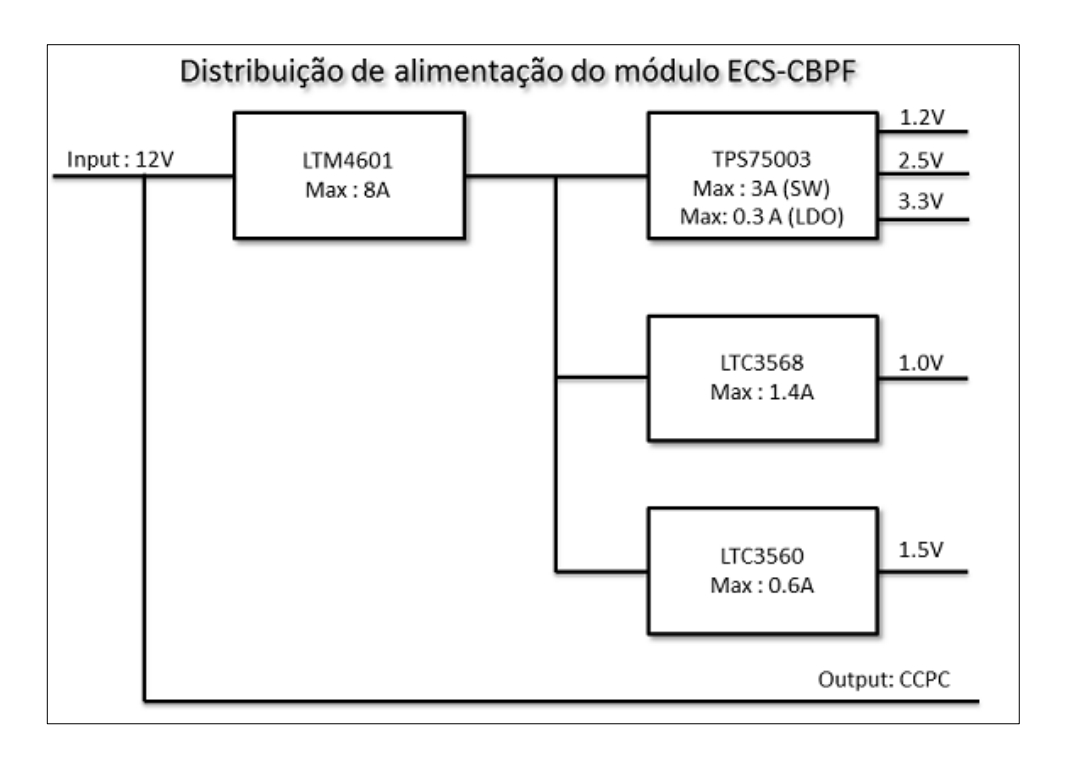


Figura 32 - Distribuição da alimentação do módulo ECS

No primeiro estágio a tensão de entrada é diretamente conectada ao CCPC e ao regulador LTM4601[37] . Este gera 5 V o qual é convertido em tensões mais baixas através de dois reguladores; o primeiro LTC3568[38] fornece a tensão de 1.0 V, e TPS75003[39] fornece as tensões de 1.2 V, 2.5 V e 3.3 V.

5.4.2 Distribuição de Clock

Para que todos as seis saídas PCIe fornecidas pelo *switch PCIe* estejam disponíveis é necessário que o *clock* de referência do PCIe seja distribuído. Para este fim utiliza-se o circuito PI6C20800[40] como mostra a Figura 33.

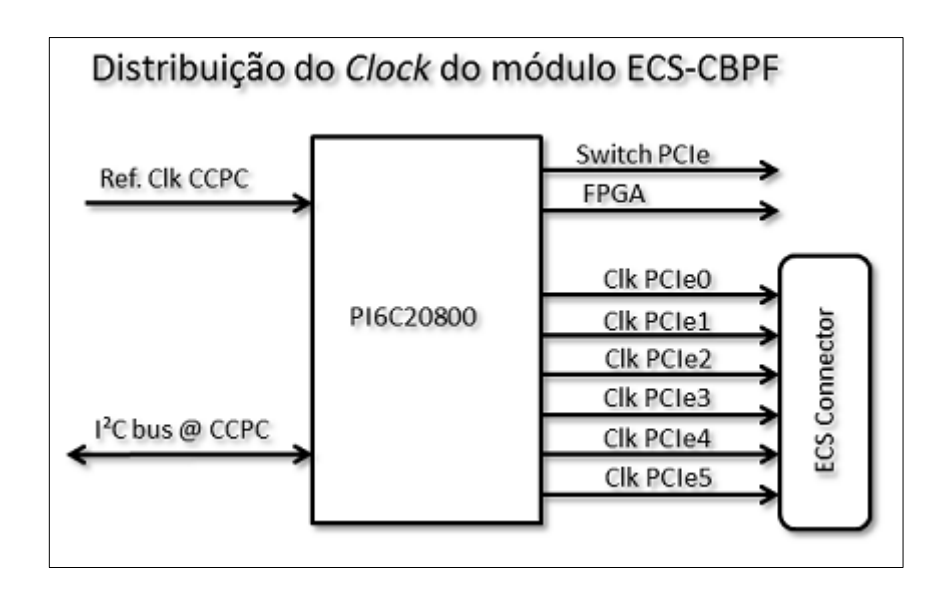


Figura 33 - Distribuição de clock de referência PCIe

Um circuito oscilador a cristal de 125 Mhz do tipo LVPECL é conectado diretamente ao FPGA e utilizado como referência dos componentes internos do FPGA.

5.4.3 CCPC

O CCPC é um módulo do tipo COM Express R2.0 com conector Type 10[41] encontrado comercialmente e fabricado por diversas empresas. O módulo possui um circuito altamente integrado com baixo consumo de energia e são compostos por uma unidade de processamento (CPU) e memória, além de dispositivos de I/O encontrados em um computador comum, como USB, áudio, gráfico e rede. Todos os sinais de I/O são mapeados em um conector de alta densidade e podem ser utilizados em circuitos específicos. A escolha de um sistema padronizado proporciona a fácil substituição caso seja necessário o aumento do desempenho em sistemas futuros.

O módulo COM Express utilizado neste projeto é o nanoETXexpressTTi 1.0Ghz 512/mSD da empresa Kontron e pode ser visto na Figura 34.



Figura 34 - Módulo CCPC Kontron

Este módulo possui:

- Um processador Intel Atom E640T (1 Ghz).
- Até 3Gb de memória RAM DDR onboard.
- Quatro linhas PCIe, uma reservada para conexão com o controlador de sistema (Southbridge).
- Uma Interface Gigabit Ethernet.
- Um controlador SATA (não utilizado).
- Seis Links USB (um link utilizado no protótipo).
- Audio.
- Vídeo (DVI disponível no protótipo).

No protótipo da placa ECS-CBPF as três linhas PCIe disponíveis no conector são conectadas, duas distribuídas diretamente ao FPGA e outra para um Switch PCIe. Uma porta USB e saída DVI de vídeo estão disponíveis na placa de forma opcional para facilitar a interação com o CCPC e corrigir possíveis erros.

5.4.4 Switch PCIe

A arquitetura PCIe utiliza comunicação através de ligações ponto-a-ponto. Desta maneira a transmissão de pacotes entre o *rootport* e diferentes *endpoint*, ou entre dois *endpoints*, pode ser feita através do chaveamento das portas disponíveis. Um switch PCIe foi

utilizado para aumentar o número de links PCIe disponíveis na placa com o intuito de serem roteadas para a placa hospedeira. A distribuição dos links PCIe pode ser vista na Tabela 1.

| Fonte | Disponibilidade de links | Destino |
|-------------|--------------------------|-----------------------|
| CCPC | 3 | 2 para o FPGA |
| | | 1 para o PCIe Switch |
| PCIe Switch | 8 | 6 para o Conector ECS |

Tabela 1 - Roteamento dos links PCIe

Foi utilizado o circuito integrado PEX8609 da PLX technology capaz de fornecer oito portas em 1x de downstream (endpoints) e uma de upstream (rootport). Devido a limitação da distribuição do clock de referência destas oito portas seis são utilizadas. Outra característica importante deste circuito é a possibilidade de realizar operações de hotplug. Essa característica garante que o firmware dos dispositivos PCIe da placa hospedeira possam ser programados após o CCPC ter feito seu boot e estar com o sistema operacional em execução.

5.4.5 FPGA

A conexão entre o CCPC e os controladores de dispositivos de baixa velocidade I²C e JTAG é feita através de um FPGA via *link* PCIe. O circuito utilizado na placa ECS-CBPF é o Cyclone IV EP4CGX30CF19C8 [42] da Altera.

Este FPGA possui 150 pinos de I/O, além de 30K elementos lógicos para o desenvolvimento do circuito, quatro *transceivers* de alta velocidade dedicados e um bloco em hardware para o protocolo PCIe.

Um circuito auxiliar contendo uma memória não volátil está conectado ao FPGA para fornecer um espaço de armazenamento para o *firmware* e a realização da programação do FPGA assim que a placa for ligada.

5.5 Desenvolvimento do Firmware

Para desenvolvimento do *firmware* do projeto foi utilizado o programa Quartus II da Altera, que cobre todas as fases do fluxo de desenvolvimento de um projeto em FPGA, como a realização de testes, etapas de síntese, disposição e roteamento dos elementos lógicos. Como linguagem de descrição de hardware foi utilizada a linguagem Verilog, componentes

disponibilizados pelo fabricante conhecidos como *megafunctions* e ferramenta para geração automática de sistemas SOPC Builder.

Através do editor de blocos do programa, foi possível desenvolver o sistema utilizando blocos que representam a lógica descrita em Verilog, símbolos primitivos, assim como a designação dos pinos de I/O utilizados pelo sistema, como sinais de *Clock, Reset*, linhas PCIe e outros.

A Figura 35 mostra uma captura de tela com o sistema de blocos do projeto ECS-CBPF, desenvolvido em ambiente gráfico.

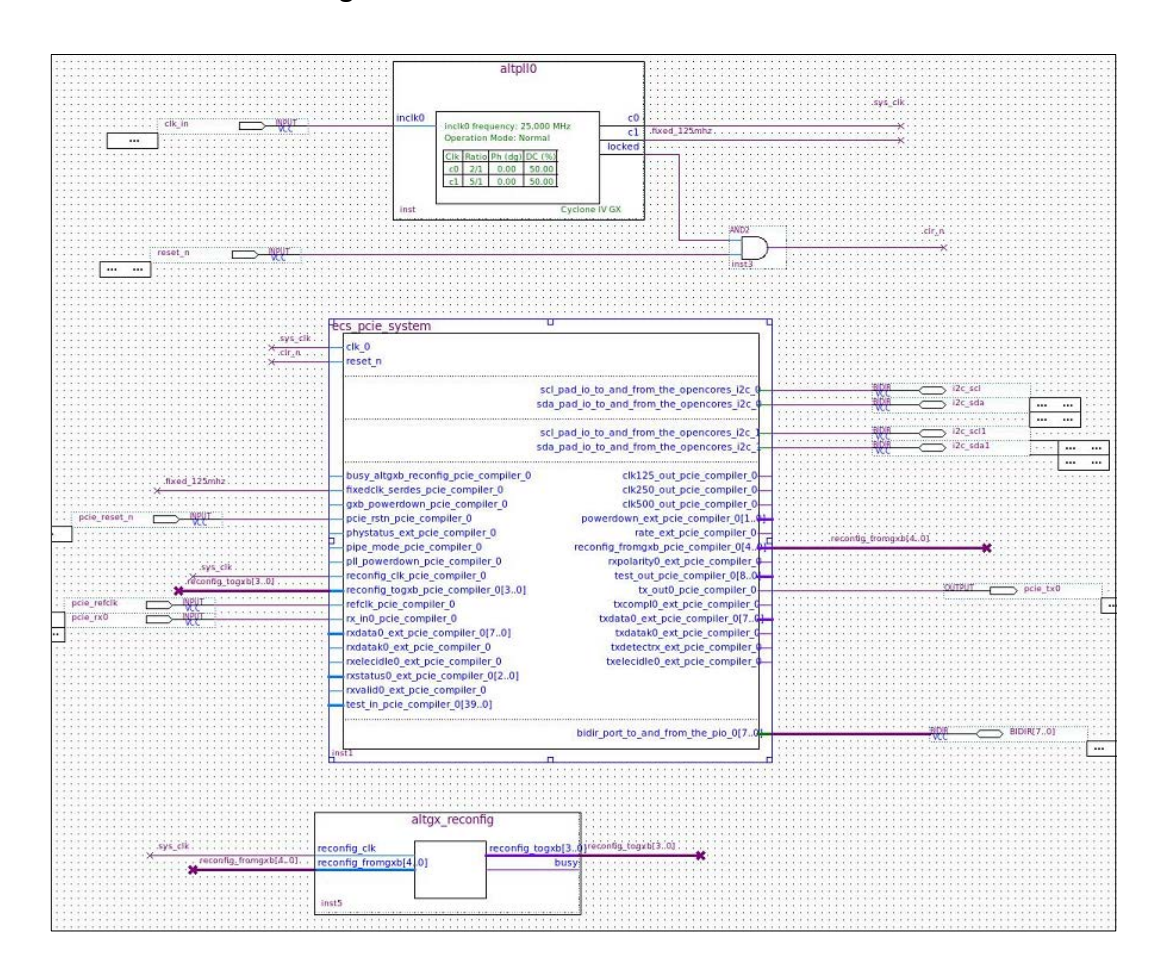


Figura 35 - Tela do projeto ECS-CBPF em ambiente gráfico

5.5.1 O SOPC Builder

O SOPC Builder [43] é uma ferramenta para o desenvolvimento de sistemas em alto nível incorporada ao Quartus II. Optou-se pela utilização desta ferramenta, pois os componentes de hardware são interconectados de maneira automatizada e otimizada para a utilização do bloco de hardware nativo PCIe.

A Figura 36 mostra as interconexões e o ambiente de trabalho SOPC. É possível observar os canais de compartilhamento entre os dispositivos mestre e escravo na arquitetura do SOPC; a interconexão entre o PCI Express (pcie_compiler_0), o controlador I²C (opencores i2c 0 e 1) e os pinos de I/O genéricos para geração dos sinais JTAG (pio 0).

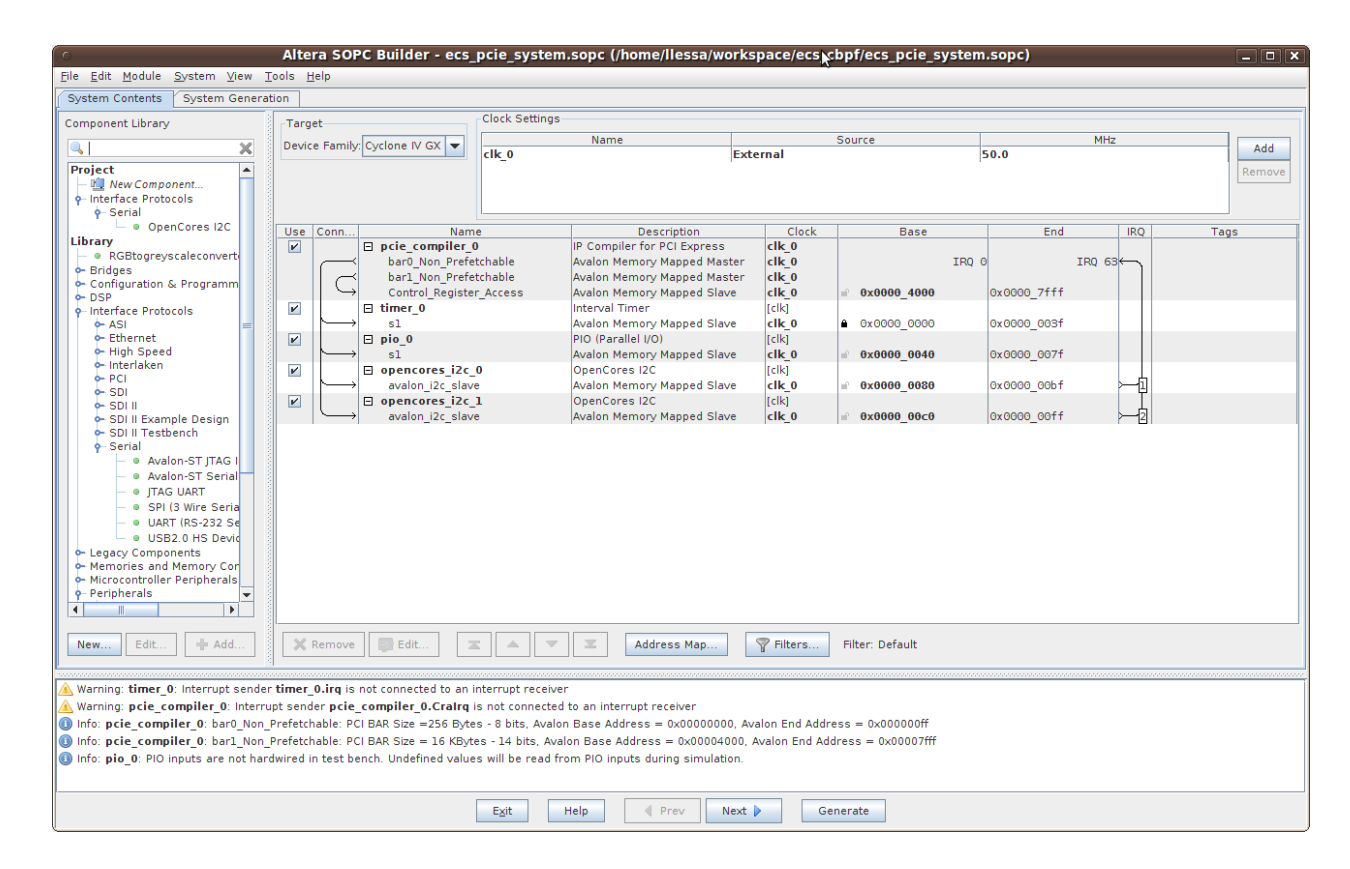


Figura 36 - Tela de integração entre dispositivos no SOPC

Após a geração do código fonte em Verilog pela ferramenta SOPC, foi encontrado um bug na ferramenta relativo à conexão das interrupções dos controladores para o despachador de interrupções do PCIe. Este erro foi corrigido de forma manual no arquivo Verilog seguindo as recomendações da Altera [44].

5.5.1.1 O compilador PCI Express

Com o uso do compilador fornecido pela Altera[45] foi possível configurar parâmetros relacionados como o comportamento do componente na estrutura do sistema, endereçamento dos componentes internos ao FPGA, bem como o comportamento elétrico, seguindo a específicação PCIe.

No caso deste projeto, o PCIe está configurado como *endpoint*, e para fazer acessos ao barramento de interconexões da Altera chamado de Avalon-MM [46] através de

transações do tipo *Requester/Completer*, com esta configuração é possível fazer o acesso através do CCPC via PCIe dos dispositivos escravos no barramento interno ao FPGA, neste caso I²C e JTAG, assim como qualquer controlador mestre acessar a memória do computador.

Outra característica importante é a disponibilidade do acesso direto ao registrador de controle do componente PCIe. Este acesso permite configurar o mapeamento de memórias do tradutor de endereços dinâmicos e identificar, se necessário, onde ocorreu uma interrupção dentro do barramento interno ao FPGA.

5.5.1.2 OpenCores I²C controller core

O controlador I²C utilizado neste projeto foi o controlador desenvolvido pela *Opencores*[47] consiste em um controlador de código aberto implementado utilizando o barramento *Wishbone*[48]. Por esta razão foi necessária à criação de um código de interconexão e compatibilização entre o barramento Avalon da Altera e o *Wishbone* e também a criação do componente no SOPC *Builder*. Este controlador segue as específicações para o protocolo I²C compatíveis com o padrão Philips[49]. Com ele é possível realizar a operação de múltiplos mestres no mesmo barramento, um sistema de temporização programável por *software*, modo de operação por interrupção ou *polling* e endereçamento de dispositivos de 7 ou 10 bits.

5.5.1.3 PIO Core (JTAG)

Para a geração dos sinais JTAG necessários utilizou-se o controlador *PIO Core* do pacote *Embedded Peripherals IP* da Altera [50]. Este controlador está conectado ao barramento Avalon-MM, permitindo a comunicação de sinais nas portas de I/O através do CCPC via PCIe.

Todo o controle dos sinais JTAG é gerado através de máquinas de estado embutidas no software que acessa os registradores do PIO Core.

5.6 Desenvolvimento de Software

5.6.1 Sistema Operacional

Um sistema operacional é composto por partes responsáveis do uso básico e administrativo de um sistema de computador. Isto inclui um Kernel, drivers de dispositivos, boot loader, linha de comando e outras interfaces com o usuário, e sistema básico de arquivos e utilitários.

O sistema operacional executado pelo CCPC é o Linux, baseado no sistema operacional proprietário Unix[51]. Este sistema operacional foi desenvolvido sobre o modelo de distribuição de software de código livre e aberto onde qualquer desenvolvedor ao redor do mundo pode contribuir com códigos, corrigir falhas ou sugerir modificações. Seu principal componente é o Kernel[52], cujo objetivo é o interfaceamento entre CPU e seus periféricos, suporte em baixo nível a sistemas primários de um sistema operacional, além do suporte as principais ferramentas no ambiente de interação com o usuário, como ferramentas de sistema, bibliotecas de desenvolvimento de software e compiladores.

O Kernel Linux foi originalmente escrito e publicado em 1991, pelo cientista da computação Linus Torvalds, para o uso em sistemas Intel x86. Atualmente o Kernel e as ferramentas necessárias continuam a ser portadas para diversas arquiteturas de CPU como, por exemplo: ARM, PowerPC, SPARC, NIOS II. Este Kernel é utilizado em diversas aplicações, desde computadores pessoais a servidores, como também em sistemas embarcados como televisores, roteadores de rede, telefones celulares.

O conjunto Kernel, contendo ferramentas e aplicativos, é chamado de distribuição. Foi adotado para este projeto a distribuição CERN *Scientific* Linux (CERN SCL) por ser uma distribuição que oferece o suporte e *softwares* necessários dentro dos experimentos do LHC.

Componentes típicos encontrados no Kernel são os tratadores para as requisições do serviço de interrupção, um agendador de tarefas para a divisão do tempo utilizado no processador por múltiplos processos, além de um sistema de gerenciamento de memória para gerenciar o endereçamento dos processos e serviços do sistema, como rede e comunicação entre processos. Nos sistemas operacionais modernos com unidade de gerenciamento de memória protegida, o Kernel reside tipicamente em um estado elevado

do sistema comparado com um processo normal do usuário, isto inclui um espaço de memória protegido e acesso total ao *hardware*. Este estado do sistema é chamado de *Kernel-space*. Os processos de usuário são executados no *user-space*, espaço diferente e separado do *Kernel-space*.

Os aplicativos executados em um sistema se comunicam com o Kernel através de chamadas ao sistema (*system calls*), como mostrado na Figura 37.

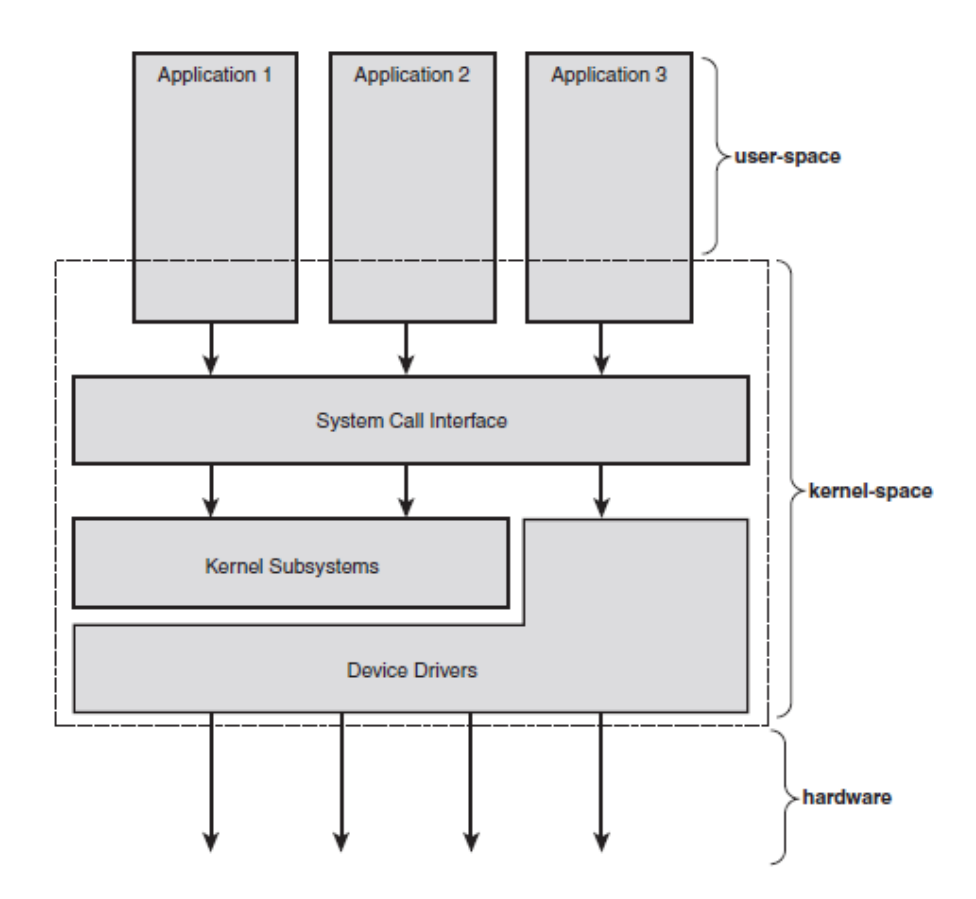


Figura 37 - Relação entre aplicações, Kernel e hardware

O Kernel também gerencia o hardware do sistema, nas arquiteturas em que o Linux é suportado. Quando um hardware necessita se comunicar com o sistema, este emite um sinal que literalmente interrompe o processador e aciona um mecanismo no Kernel para o tratamento e identificação deste sinal. Outra responsabilidade é a alocação de recursos, como o endereçamento dos dispositivos.

Pode-se dividir o Kernel de acordo com o papel desempenhado em cinco módulos, como mostrado na Figura 38.

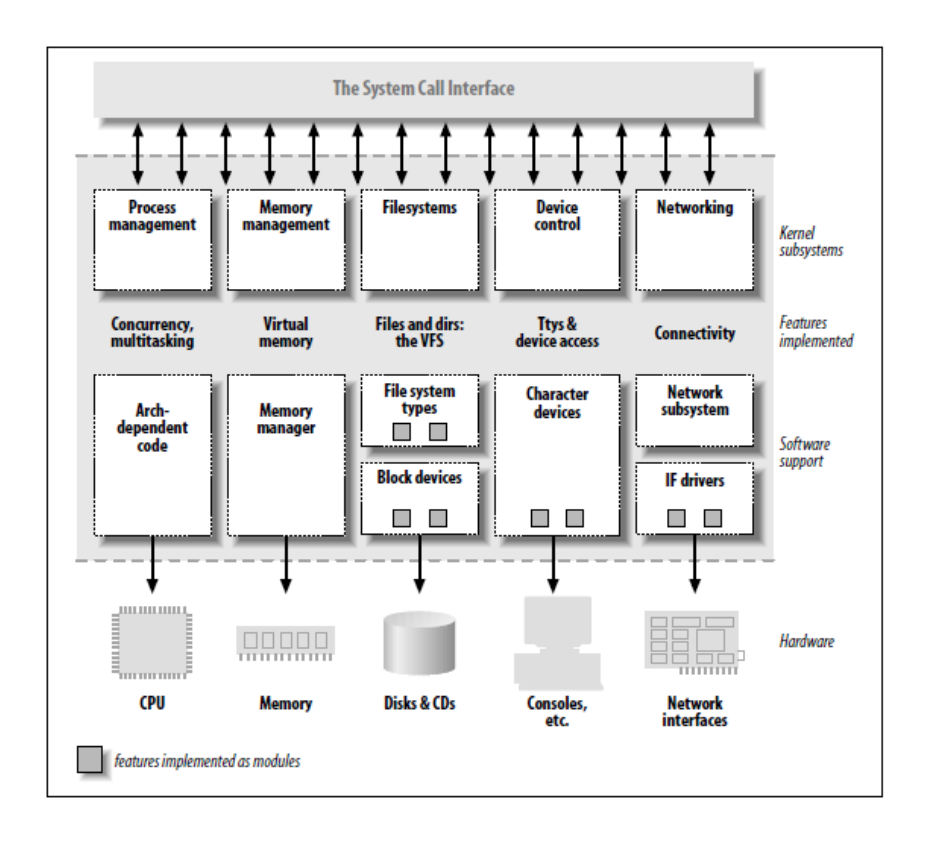


Figura 38 - Diagrama das divisões dos módulos no Kernel

5.6.1.1 Gerenciamento de processos (Process management)

O Kernel é responsável pela criação e destruição dos processos assim como o tratamento da conexão com o mundo exterior (Entrada/Saída). A comunicação entre diferentes processos (através de sinais, *pipes* ou comunicação entre processos primários) é uma funcionalidade básica fundamental do sistema assim como o seu tratamento pelo Kernel. Outra funcionalidade consiste no agendador (*scheduler*), que controla a forma de como os processos são compartilhados pela CPU.

5.6.1.2 Gerenciamento de memória (Memory management)

A memória de um computador e a política de como utiliza-los é crítica para o desempenho do sistema. O Kernel constrói um espaço de endereços virtuais para todos os processos levando em conta a limitação dos recursos disponíveis. Diferentes partes do Kernel interagem com o subsistema de gerenciamento de memória através de um conjunto de chamadas, variando de um comando simples de alocação (*malloc/free*) a um conjunto de funções mais complexas.

5.6.1.3 Sistema de arquivos (Filesystems)

Por herdar características dos sistemas Unix, que utiliza fortemente o conceito de sistema de arquivos, pode-se dizer que quase tudo no Linux pode ser tratado como um arquivo. O Kernel constrói uma estrutura de sistema de arquivos em cima de hardwares que não possuem uma estrutura definida, resultando assim em uma abstração o conceito de arquivo. O Kernel Linux suporta múltiplos tipos de sistemas de arquivos, facilitando a organização dos dados no meio físico.

5.6.1.4 Controle de dispositivos (Device Control)

Quase todas as operações do sistema em algum momento mapeiam ou acessam dispositivos físicos. Com exceção do processador, memória e outros poucos dispositivos, todas as operações de controle do dispositivo são executada por um código que é específico ao dispositivo a ser acessado. Este código é chamado de *device driver*[53], ou simplesmente *driver*. O Kernel deve ter embutido em sua estrutura os drivers específicos para os periféricos presentes em um sistema, do disco rígido ao teclado. Este aspecto do Kernel será explorado neste trabalho.

5.6.1.5 Rede (Networking)

Os dispositivos de rede devem ser gerenciados pelo sistema operacional, pois muitas das operações de rede não são específicas a um processo além de constituírem eventos assíncronos. Os pacotes devem ser coletados, identificados e despachados antes de um processo cuidar deles. O sistema é encarregado pela entrega dos pacotes de dados através dos programas e interfaces de rede, e devem controlar a execução dos programas de acordo com a atividade da rede. Além disto, todos os problemas de roteamento e resolução de endereços são resolvidos pelo Kernel.

5.6.1.6 Classes de dispositivos

A forma com que o Linux enxerga os dispositivos pode ser dividida entre três classes fundamentais de tipos de dispositivo. Cada módulo, em geral, implementa um destes tipos e são classificados em: módulo de caractere (*char module*), módulo de blocos (*block module*), e módulo de rede (*network module*). Esta classificação dos módulos em diferentes tipos não é rígida, podendo-se optar pela programação de um módulo com diferentes *drivers* em um único código. Porém, de modo geral, cria-se um módulo para cada nova funcionalidade

implementada, pois esta decomposição é um elemento chave para a escalabilidade e extensibilidade.

Um dispositivo de caractere (*char device*) é aquele que pode ser acessado como um fluxo de dados (como um arquivo). Este tipo de *driver* deve ter em seu código pelo menos quatro chamadas básicas de sistema: *open, close, read e write*. São exemplos de drivers o console de texto (/dev/console) e as portas seriais (/dev/ttyS0). Estes dispositivos podem ser acessados como um arquivo no sistema de arquivos. A única diferença relevante entre um *char device* e um arquivo regular é que em um arquivo sempre pode se mover o ponteiro de leitura/escrita para frente e para trás enquanto um *char device* é apenas um canal de dados e deve ser acessado sequencialmente. Para dispositivos que dispõem de área de dados, pode se mover os ponteiros como arquivos normais, e esta forma de acesso geralmente se aplicam a memória de um DAQ, onde o programa acessa todos os dados adquiridos usando funções do tipo *mmap* ou *lseek*.

Igualmente aos *char devices*, os dispositivos de bloco (*block devices*) são acessados através do sistema de arquivos no diretório /dev. Um *block device* é um dispositivo que pode hospedar um sistema de arquivos. Em sistemas Unix um *block device* pode tratar somente operações de leitura/escrita de um ou mais blocos, tipicamente constituídos de 512 bytes (ou um número na potência de dois). O Linux permite que as aplicações façam operação de leitura/escrita como se fossem um *char device* com isso permitindo a transferência de qualquer número de bytes. Como resultado, *char* e *block devices* diferem apenas na maneira como os dados são gerenciados internamente no Kernel e na maneira de como o código é escrito, dado que as interfaces são completamente diferentes.

Qualquer transação de rede é efetuada através de uma interface, isto é, um dispositivo capaz de trocar dados com outros sistemas (hosts). Em geral, uma interface é um dispositivo de hardware. Uma interface de rede é encarregada de enviar e receber pacotes de dados, guiadas através do subsistema de rede do Kernel. Muitas conexões de rede (especialmente as que usam TCP) são orientadas ao fluxo de dados em oposição aos dispositivos de rede, que de modo geral, são modeladas em torno da transmissão e recepção de pacotes. Um driver de rede gerencia conexões individuais, ele apenas trata de pacotes. Não sendo um dispositivo orientado ao fluxo de dados, uma interface de rede não

pode ser facilmente mapeada como um arquivo. A maneira como Kernel resolve isto é associando um nome único (eth0). A comunicação feita entre o Kernel e o driver de rede é completamente diferente da utilizada por um *char* ou *block device*.

Existem outras maneiras de se classificar módulos de driver que são ortogonais aos tipos de dispositivos explicados acima. Geralmente, alguns tipos de drivers funcionam com uma camada de suporte de funções do Kernel para um dado tipo de dispositivo. É importante citar os módulos USB. Cada módulo USB funciona dentro do subsistema USB e eles podem ser vistos no sistema como um *char device* (Porta serial USB), um *block device* (Pendrive ou HD) ou um dispositivo de rede (USB Ethernet ou Wifi).

Outras classes de driver foram adicionadas recentemente, isto inclui drivers para I²C, SPI, *Fireware*, entre outros.

5.6.2 ECS-CBPF Drivers

Para a comunicação do FPGA contendo os controladores de baixa velocidade com o CCPC através do PCIe foi necessário o desenvolvimento de um driver específico para este fim. O driver foi escrito utilizando a estrutura de um módulo de Kernel, possibilitando assim o carregamento e descarregamento do mesmo com o sistema em execução.

Como pode ser observado na Figura 39, o driver possui duas camadas. A primeira, ECS PCIe Driver é responsável pela alocação de recursos do PCIe, gerenciamento das interrupções e instanciação dos drivers responsáveis pelos controladores de baixa velocidade que estão localizados na próxima camada. São eles o I²C Ocores, JTAG Port, o driver SPI não foi implementado neste trabalho.

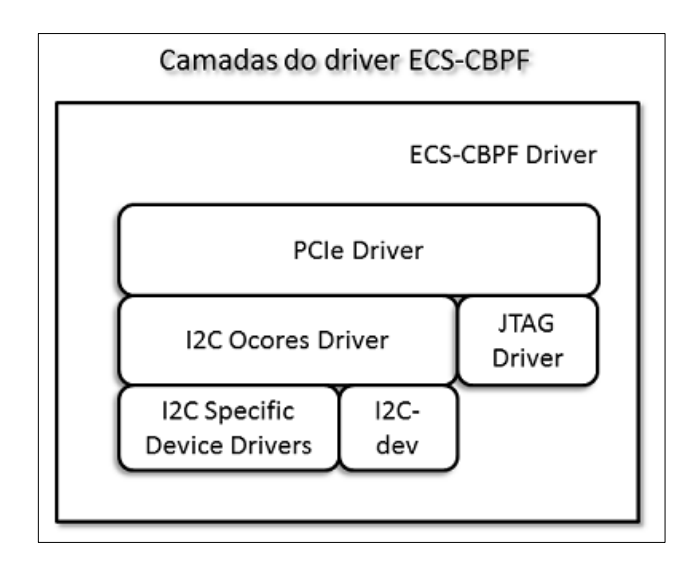


Figura 39 - Camadas do driver ECS-CBPF

5.6.2.1 PCIe ECS driver

O principal driver para o sistema ECS-CBPF é encontrado no arquivo driver/pcie_ecs.c (Apêndice B) , foi desenvolvido como um módulo do Kernel e deve ser carregado após o sistema estar pronto para execução através da ferramenta insmod.

Em sua estrutura duas funções primárias, chamadas de *module entry point,* responsáveis pelo controle da instanciação e remoção do módulo. Estas funções recebem como parâmetro uma função

```
module_init(pcie_ecs_init);
module_exit(pcie_ecs_exit);
```

A função pcie_ecs_init(void), uma vez executada, é responsável pelo registro do driver do dispositivo PCIe com o uso da função de *entry point* para drivers PCI/PCIe pci_register_driver(&pci_driver). É importante ressaltar que dispositivos PCI e PCIe, apesar de não serem compatíveis fisicamente são transparentes no ponto de vista do sistema operacional. O parâmetro recebido pela função é uma estrutura de dados padrão do Kernel e é descrita a seguir.

Outra função importante é a ecs_probe(struct pci_dev *dev, const struct pci_device_id *id), responsável pela identificação do dispositivo PCIe contendo através dos identificadores VENDOR_ID e DEVICE_ID. Uma vez identificado, o dispositivo é habilitado através da função pci_enable_device(dev), onde o parâmetro é a estrutura padrão do Kernel, struct pci_dev.

No dispositivo PCIe do sistema ECS-CBPF, os registros dos controladores de baixa velocidade e do dispositivo PCIe podem ser obtidos a partir do registrador de endereço base (BAR – Base Address Register) do PCIe. Existem dois BAR, o BARO onde encontra-se os registradores dos controladores de baixa velocidade e o BAR1, onde se encontram os registradores de controle do dispositivo PCIe, o CRA (Control Register Address)

Os endereços base do PCIe são definidos pelo sistema no momento do boot do CCPC pela BIOS. Este recurso deve ser solicitado pelo driver para uso pelo sistema operacional utilizando o endereçamento virtual do Kernel através da função poi_resource_start(dev, x), onde o parâmetro dev contém a estrutura de dados do dispositivo e x representa o endereço a ser alocado.

Outro recurso importante que deve ser utilizado refere a de interrupção do dispositivo. Esta alocação é feita pela função request_irq(dev->irq, pcie_irq_handler, IRQF_SHARED, DRV_NAME, (void *)ecs_device). O parâmetro pcie_irq_handler é a chamada para a função responsável pelo tratamento das interrupções recebidas pelo sistema operacional. Esta função, quando solicitada, desabilita outras interrupções do dispositivo, identifica qual o controlador que gerou a interrupção, executa a função de tratamento de interrupção externa contida no driver do controlador e reabilita as interrupções no dispositivo.

Com todos os recursos alocados o driver começa a inicialização dos drivers dos controladores de baixa velocidade através das funções, ecs_i2c_init(ecs_device) e ecs_jtag_init(ecs_device), sendo a primeira responsável pela inicialização dos controladores I²C e a segunda pelo controlador JTAG.

Caso ocorra algum erro na alocação dos recursos, inicialização dos controladores ou remoção do driver pela ferramenta rmmod a função ecs_remove(struct pci_dev *dev) é responsável pela finalização do driver.

5.6.2.2 i2c-ocores driver

O Kernel Linux dispõe em sua arquitetura um subsistema para o protocolo I²C [54]. A relação dos componentes necessários para o funcionamento do protocolo no sistema operacional pode ser visto na Figura 40.

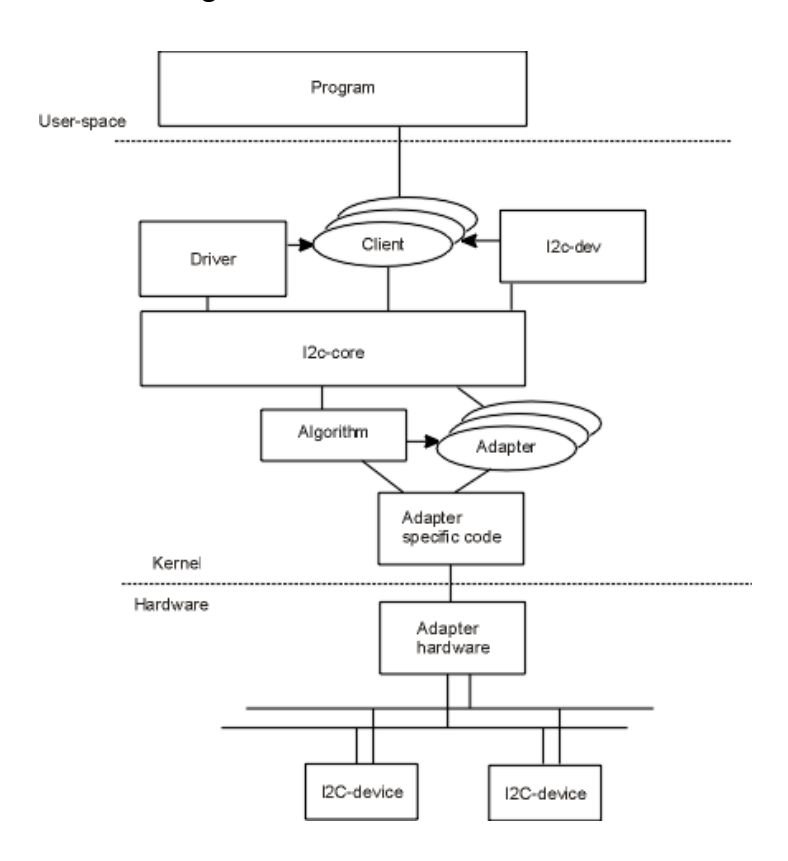


Figura 40 - Camadas do subsistema I²C

A camada superior, *Program*, representa todos os programas no *user-space* que irão acessar os chips, seja pela interface /dev utilizando o driver i2c-dev (a ser descrito posteriormente) ou através da sysfs, utilizando os drivers específicos para cada chip.

Pode-se dividir o os componentes do subsistema I²C em duas categorias, barramentos (buses) e dispositivos (devices). A categoria barramento é dividida em duas subcategorias, algoritmos (algorithms) e adaptadores (adapters) enquanto que a categoria dispositivos é dividida em driver e cliente (client).

Os adaptadores representam efetivamente o barramento e utilizam o algoritmo em sua estrutura de dados. Em geral existe uma combinação de adaptador e algoritmo, específico a um dado controlador, o que não ocorre no caso de operações *bit-banging* (o *software* controla pinos de I/O), para este tipo de operação o algoritmo é comum a todos os adaptadores.

O bloco cliente representa um chip I²C no sistema, como por exemplo, uma memória EEPROM, um conversor A/D, um termômetro. Sua estrutura possui alguns parâmetros como o endereço físico no barramento I²C do chip, o adaptador utilizado para comunicação e o driver do chip.

O driver é o responsável pela lógica específica e operação dos dispositivos I²C. Por padrão o Linux inclui em sua árvore diversos *drivers* de chips encontrados comercialmente. Desta maneira, usando um controlador compatível com o subsistema I²C do Linux estes drivers podem ser utilizados no sistema ECS-CBPF.

Um código do controlador I²C OpenCores está disponível na árvore de código fontes do Kernel do Linux [55]. No entanto, foi originalmente desenvolvido para a utilização com o microprocessador embarcado OpenRISC de modo que uma adaptação do *arquivo driver/i2c-ocores.c* (Apêndice B) para a arquitetura do módulo ECS-CBPF foi necessária.

O driver i2c-ocores é inicializado pela função ecs_i2c_init(struct ecs_device *ecs_device) do driver pcie_ecs. Nesta função os recursos alocados no barramento PCIe são passados para o driver do adaptador i2c-ocores para registro e carregamento do sistema.

Por ser originalmente escrito para sistemas embarcados, o *driver* i2c-ocores espera que a interrupção seja tratada de forma direta pelo driver do adaptador. Entretanto quem gerência a interrupção no caso deste projeto é o tratador de interrupção do PCIe. A função *ocores_process* foi exportada do código original para o código do driver pcie_ecs para resolver esta questão. Com ela quando uma interrupção vinda do controlador I²C é gerada o

tratador de interrupções é capaz de reconhecer quem a gerou e chamar a função necessária para a continuação do processo.

5.6.2.3 JTAG Port driver

O driver JTAG Port é responsável pela interface JTAG no ECS-CBPF pode ser encontrado no arquivo driver/ecs_jtag.c (Apêndice B).

Sua inicialização é feita no driver principal do sistema, o PCIe ECS Driver, pela função ecs_jtag_init, com o objetivo de criar uma estrutura de dados do tipo ecs_jtag, carregar o endereço de base para os registradores do controlador JTAG através das instrução abaixo.

jtag->start = ecs_device->base_addr_bar0 + PIO0_OFFT;

A variável start contém o endereço base dos registradores dos controladores de baixa velocidade acrescentada do offset do endereço do controlador PIO no barramento Avalon (0x0040). Posteriormente o driver principal executa a função exportada do driver JTAG Port, init_jtag(jtag), onde o parâmetro jtag é a estrutura do tipo ecs_jtag.

A função init_jtag cria um arquivo no diretório /dev do sistema operacional, o qual pode ser acessado pelos softwares através das operações de leitura e escrita.

5.6.3 Programas e bibliotecas

5.6.3.1 i2c-dev

Em geral, os dispositivos I²C são controlados por um driver do Kernel. Porém é possível o acesso a todos os dispositivos em um controlador através do *user-space*. Para que a operação no *user-space* (programas e bibliotecas) seja possível, deve-se carregar o módulo padrão do Kernel i2c-dev.

Cada controlador I²C, quando registrado recebe um número único, contado a partir de 0 e contendo um máximo de 256 controladores. Para conhecer o número do controlador correspondente, pode se examinar o diretório /sys/class/i2c-dev/ ou utilizar a ferramenta "i2c-detect -l" para obter uma lista formatada dos controladores disponíveis no sistema. Esta ferramenta esta presente no pacote i2c-tools a ser descrita posteriormente.

Para acessar o controlador por um programa o primeiro passo é incluir no cabeçalho do programa a diretiva #include <Linux/i2c-dev.h>. As descrições completas da interface e API podem ser encontradas na documentação do *Kernel Linux - dev-interface* [56].

5.6.3.2 *i2c-tools*

O pacote de ferramentas i2c-tools [57], originalmente desenvolvido como parte do projeto lm-sensors responsável por fornecer ferramentas para o monitoramento de parâmetros ambiental no Linux e presente como ferramenta padrão na maior parte das distribuições, contém um conjunto heterogêneo de ferramentas para o uso dos controladores e dispositivos I²C no *user-space*. Para o uso destas ferramentas o módulo do Kernel i2c-dev, deve ser carregado.

As ferramentas contidas no pacote são:

- i2cdetect : programa responsável pela identificação dos controladores e dispositivos anexados em um dado controlador.
- i2cdump : programa responsável pela leitura de todos os registradores de um dispositivo I²C.
- i2cget / i2cset : ferramenta utilizada para comandos de leitura e escrita, respectivamente.

5.6.3.3 Altera Jam STAPL Player Software

O software Altera Jam STAPL [58] permite a programação de chips (CPLD ou FPGA) da Altera utilizando linhas de comando. O software Quartus permite a geração do arquivo de programação STAPL (*Standard Test and Programming Language*). Por utilizar interfaces de programação proprietárias da Altera, o software foi modificado para ser compatível com o controlador JTAG disponível no ECS-CBPF através da interface /dev/jtag.

5.6.3.4 UrJTAG

A ferramenta UrJTAG [59] é um pacote de software de código aberto, que habilita o trabalho com dispositivos de hardware compatíveis com o JTAG. Este pacote possui uma arquitetura modular e aberta com a possibilidade de desenvolvimento de extensões diversas, como, por exemplo, sistemas de testes de placas, programadores de memórias

flash. Esta ferramenta é genérica, pois pode ser utilizada com diversos tipos de dispositivos e fabricantes, além de possuir maior flexibilidade de operações realizadas utilizando o JTAG, este, um fator limitador do software Jam STAPL Player da altera. Por possuir o código aberto e documentação para a inclusão de novas interfaces, foi possível o desenvolvimento do código necessário para o funcionamento desta ferramenta com a interface JTAG do ECS-CBPF.

5.7 Geometria e Interconexões

5.7.1 Geometria

A placa ECS-CBPF possui as dimensões físicas de 150 mm de largura, 225 mm de comprimento e uma altura de 40 mm, incluindo o conector de conexão entre o módulo e a placa hospedeira, o *mezzanino* do CCPC e seu dissipador de calor, além de uma margem para a ventilação da placa. A Figura 41 apresenta o modelo mecânico do módulo, assim como a posição dos furos de fixação mecânica.

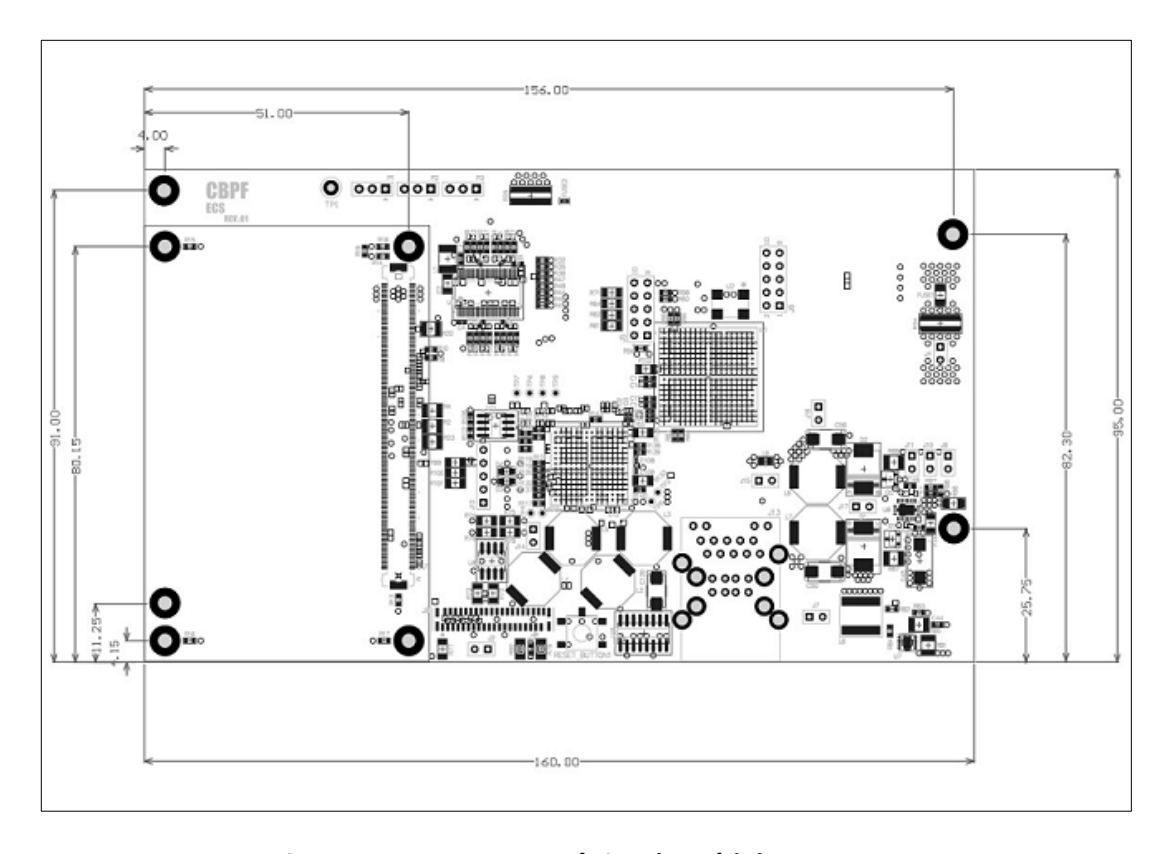


Figura 41 - Esquema mecânico do módulo ECS-CBPF

5.7.2 Conector LVDS (Vídeo)

O conector responsável pela saída de vídeo LVDS na placa ECS-CBPF é o J6 com o uso do kit LVDS-DVI Converter 24bit (P.N: 96007-0000-00-1) da fabricante Kontron o sinal LVDS é transformado em uma saída para monitores DVI.

5.7.3 RJ45 e USB

O conector integrado J13 fornece a entrada para conexão de rede e conector para dispositivos USB, através de um conector RJ45 e dois conectores USB tipo A.

5.7.4 Conector TAG

A programação do chip de memória que faz o carregamento do FPGA e outro tipo de acesso JTAG através da interface de programação USB Blaster é feita através do conector J5.

5.7.5 Conector Samtec

O conector utilizado para a conexão entre a placa ECS-CBPF e a placa hospedeira é o par do fabricante Samtec, QFS-078-04.25L-D-PC4 (encontrado na parte inferior da placa ECS-CCPF CBPF) e o QMS-078-05.75-L-D-PC4 (para a placa hospedeira). Este conector foi utilizado por fornecer as características elétricas necessárias para a operação com sinais de alta velocidade como é o caso do PCIe, além de possuir uma alta densidade de pinos em uma área reduzida.

A altura relativa entre as placas é de 10 mm. Quando encaixados os conectores e componentes montados na placa hospedeira não devem ultrapassar esta medida. Entretanto não se recomenda a utilização da superfície abaixo da placa ECS-CBPF para a montagem de componentes, pois a dissipação de calor entre as placas pode ocasionar o mau funcionamento de ambas.

6. Placa de validação do módulo ECS-CBPF

Uma placa de validação foi desenvolvida e produzida para realizar os testes funcionais e lógicos necessários do módulo ECS-CBPF. A Figura 42 representa o diagrama de blocos da placa de validação enquanto a Figura 43 mostra a placa após sua fabricação.

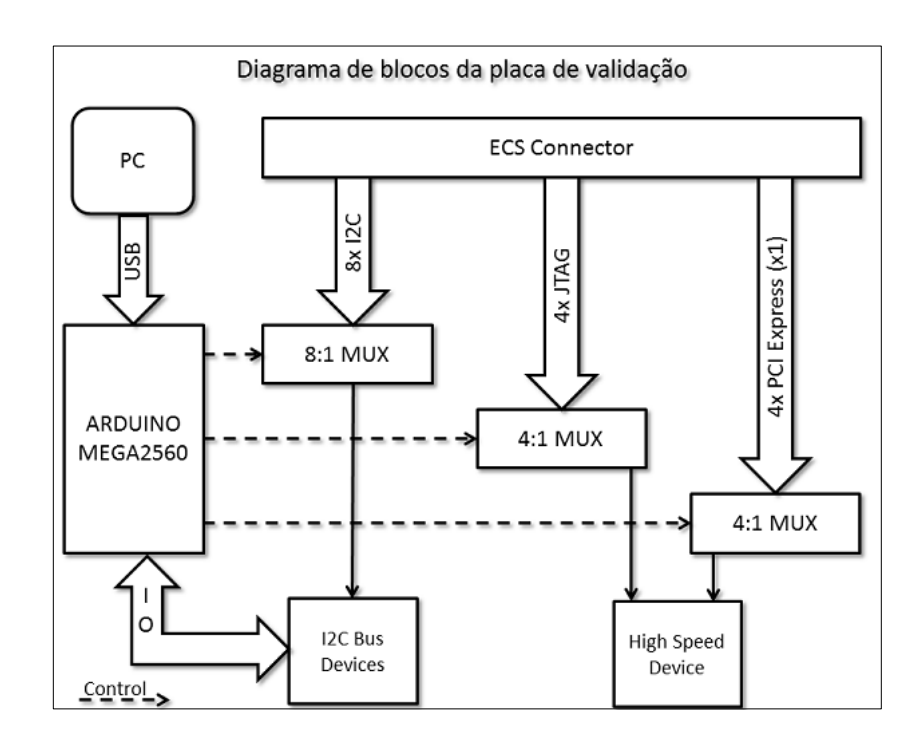


Figura 42 - Diagrama de Blocos placa de validação

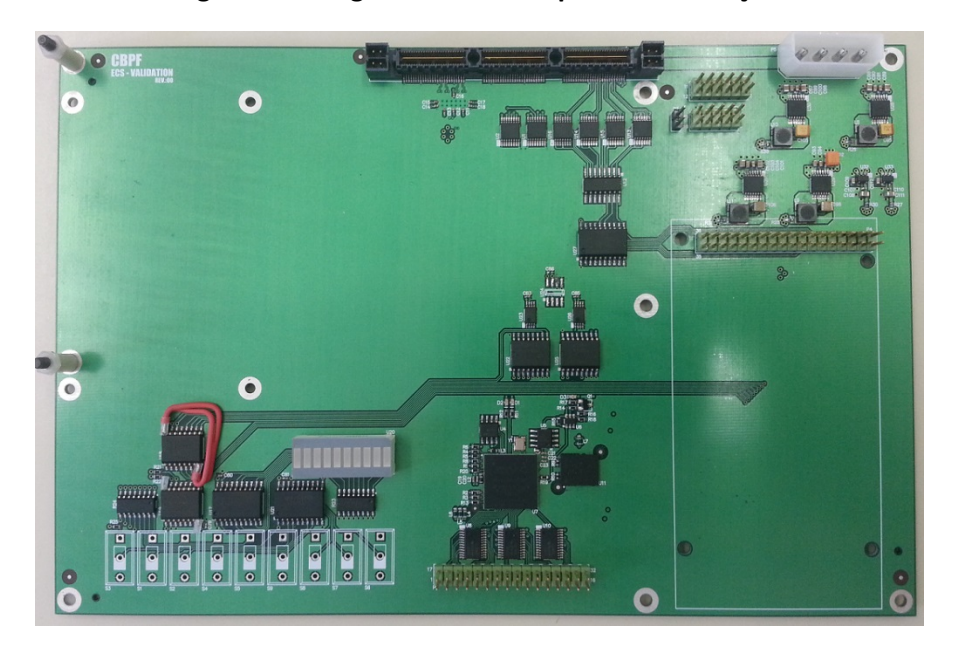


Figura 43 - Foto da placa de validação

A placa de validação possui as seguintes funcionalidades:

- Microcontrolador para controle e validação dos testes e comunicação USB
- Dispositivos I²C
 - o Conversor Analógico-Digital para leitura de tensão.
 - Sensor de temperatura.
 - o Memória EEPROM (Leitura/Escrita).
 - o Interação manual e visual com usuário (Botões e LEDs).
 - o Interação automática através do módulo de controle.
- Bloco para teste de programação e comunicação em alta velocidade
 - FPGA conectado ao barramento PCIe e 256 MB de memória DDR, configurado pelo controlador JTAG disponível no ECS-CBPF.

O acesso aos dispositivos do barramento é realizado através de um multiplexador que seleciona um dos oito controladores fornecidos pelo módulo ECS-CBPF disponibilizando 8 linhas I²C, 4 PCIe e 4 JTAG.

6.1 Desenvolvimento do Hardware

6.1.1 Distribuição de alimentação

A alimentação desta placa é feita através de um conector padrão para discos rígidos encontrado em fontes ATX de computador, tem como entrada a tensão de 12V diretamente distribuída para o módulo mezzanino ECS-CBPF e 5V conectado aos reguladores que produzem as tensões necessárias ao circuito, como mostrado na Figura 44.

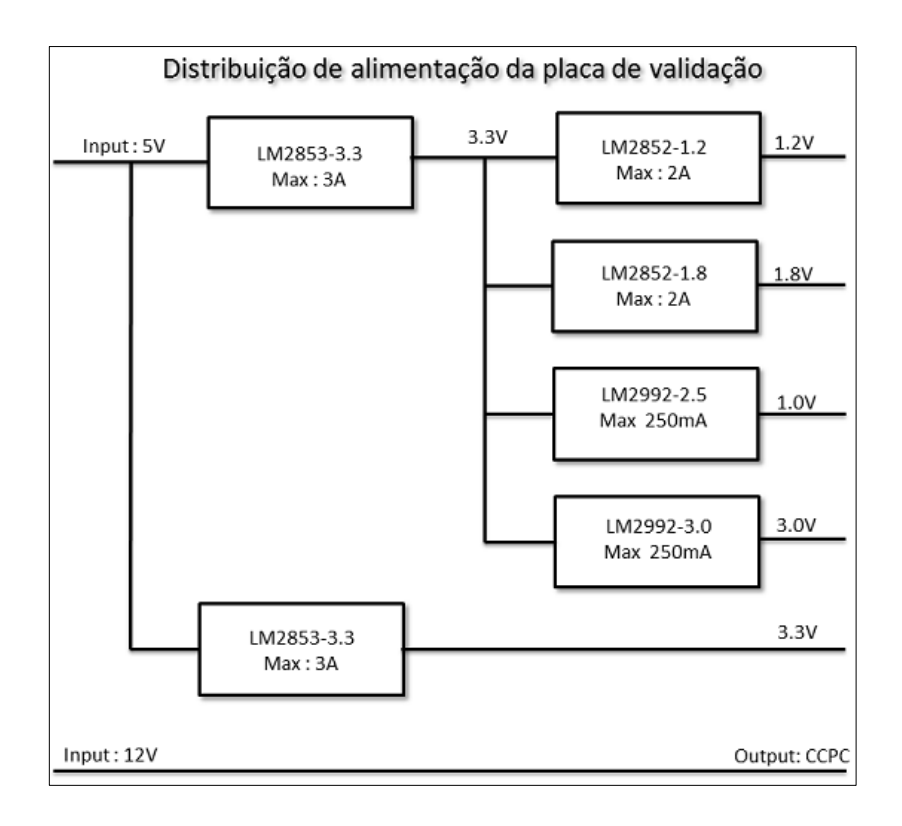


Figura 44 - Distribuição de alimentação da placa de validação

Dois reguladores LM2853-3.3 [60] reduzem a tensão de entrada para 3.3V. Uma deles é utilizado para alimentar outros reguladores que geram as tensões de 1.2V, 1.8V, 2.5V e 3.0 através dos reguladores LM2852-1.2, LM2852-1.8 [61], LP2992-2.5 e LP2992-3.0[62], O outro regulador de 3.3V é usado para alimentar os circuitos e dispositivos auxiliares da placa.

6.1.2 Módulo de controle de teste

O dispositivo responsável pelo controle de teste é formado pela plataforma de prototipagem de código aberto Arduino Mega 2560[63]. Este dispositivo contém um microcontrolador ATMEGA 2560 [64] e seu *software* faz a seleção dos barramentos multiplexados e a comunicação com um computador através do USB, como mostrado no diagrama da Figura 42. O endereçamento dos barramentos multiplexados é feito através do registrador PORT.C em conjunto com um sinal de controle que habilita a escrita no *Latch* do circuito 74LVC373[65]. A Tabela 2 descreve o mapeamento dos bits no registrador.

| MSB | | | | | | | LSB |
|-----|-------|-------|-------|--------|--------|--------|--------|
| 7 | 6 | 5 | 4 | 3 | 2 | 1 | 0 |
| Х | I2C_2 | I2C_1 | 12C_2 | PCle_1 | PCle_0 | JTAG_1 | JTAG_0 |

Tabela 2 - Bits de controle dos multiplexadores de barramento

Para a leitura e escrita de dados utilizados no teste automático de interação com o dispositivo I²C, utiliza-se o bit 0 do registrador PORT.A.

6.1.3 Dispositivos I²C

O barramento l²C presente na placa de validação conta com os seguintes dispositivos: dois conversores A/D de 8 bits PCF8591[66], duas memórias do tipo EEPROM de 8 KB AT24C08B [67], um sensor digital de temperatura LM75[68], dois extensores de E/S de 8 bits PCF8574[69].

Como todos os dispositivos estão no mesmo barramento, os endereços do protocolo I²C foram configurados de modo que não exista conflito entre. A Tabela 3 mostra os endereços dos dispositivos e suas seguintes funções.

| Dispositivo | Função | Endereço |
|-------------|-------------------------------------|-------------|
| PCF8574 | 8Bits E/S – Botões e LED | 0x20 |
| PCF8574 | 8Bits E/S – Conectado ao Arduino | 0x21 |
| PCF8591 | Conversor A/D – 3V3, 3V3, 2V5 e 3V0 | 0x48 |
| PCF8591 | Conversor A/D – 1V8 e 1V2 | 0x49 |
| LM75 | Sensor de temperatura | 0x4A |
| AT24C08B | Memória EEPROM | 0x50 e 0x51 |
| AT24C08B | Memória EEPROM | 0x52 e 0x53 |

Tabela 3 - Endereços do barramento I2C

Os conversores A/D são usados para o monitoramento das tensões disponíveis na placa de validação e usam como referência a tensão de 3.3 V, oferecendo uma resolução de 0.0129V por bit.

As memórias EEPROM são utilizadas testes nos de validação da integridade de dados no barramento. Um processo de *software* controlado pelo sistema de controle da placa de validação escreve um bloco de dados conhecido e esses dados são lidos e comparados.

O termômetro I²C é responsável pela medida da temperatura ambiente ao redor da placa de validação.

Os extensores de E/S são utilizados em conjunto com botões para interação manual com usuário e LED para visualização de dados de 8 bits através do barramento I²C, assim como para comunicação de forma automática através do módulo de controle de testes.

6.1.4 Dispositivo para teste de configuração e comunicação em alta velocidade

Para a realização de teste de comunicação de dados em alta velocidade através do PCIe e configuração remota, utiliza-se um circuito composto por um FPGA Altera Cyclone IV EP4CGX30, que possui dois *transceivers* de alta velocidade integrado para comunicação PCIe e memória DDR de 256 Mb.

O firmware de verificação é carregado no FPGA através de um dos quatro controladores JTAG disponíveis na placa ECS CBPF, selecionado na placa de validação através do circuito integrado 74CBTLV3253 [70].

Após a configuração, o sistema está apto a comunicar-se com o CCPC através de uma das quatro linhas PCIe disponíveis na placa ECS-CBPF. Uma das linhas de comunicação PCIe é selecionada na placa de validação através do circuito integrado de chaveamento PCIe PI2PCIE2214[71]. Em seguida o sistema operacional do CCPC reconhece o dispositivo no barramento para o posterior carregamento do *driver* responsável pela execução dos *softwares* de teste de transferência de dados.

6.2 Desenvolvimento do Firmware

Para a realização dos testes de medida de taxa de transferência de dados em alta velocidade foi desenvolvido um firmware com um sistema capaz de realizar transferência de dados da memória externa anexada ao FPGA para o CCPC através do barramento PCIe. Esta transferência é feita por meio de um controlador de acesso direto a memória (DMA) possibilitando assim um melhor desempenho na transferência de dados. Uma representação deste sistema é mostrada na figura x.

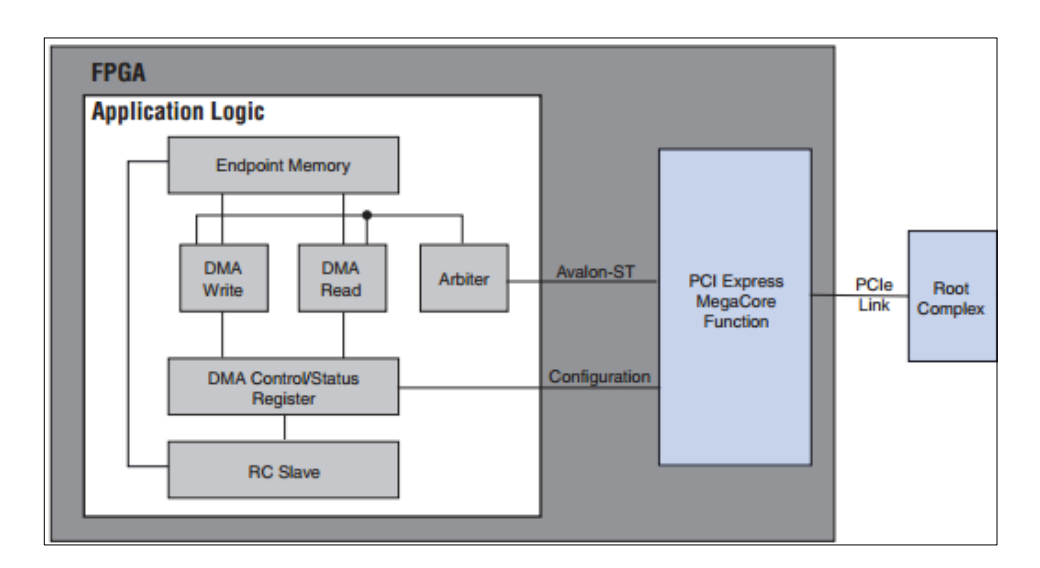


Figura 45 - Diagrama de blocos do firmware da placa de validação

Novamente utilizou-se o SOPC para a geração do sistema. As configurações do *PCI Express compiler* são exatamente as mesmas utilizadas no *firmware* do ECS-CBPF. Os controladores de baixa velocidade foram substituídos por um controlador DMA e uma memória de 4 KB de blocos internos ao FPGA.

O controlador DMA utilizado foi o *DMA Controller Core* [49], do pacote *Embedded Peripherals IP* da Altera. Este controlador é usado para a transferência entre dados de memórias do sistema sem a intervenção da CPU, aliviando a carga no processamento do CPU, como consequência aumentando o desempenho das transferências. Este método aproveita de forma eficiente a utilização do espaço destinado ao transporte de dados efetivos (*payload*) em uma transmissão do pacote do protocolo PCIe.

Os parâmetros utilizados para a configuração do controlador para obter o máximo de desempenho foram:

• Tamanho da transferência de 13 bits.

- Habilitar transmissões em massa com o tamanho máximo de 1024 palavras.
- Profundidade do buffer de FIFO de 256.

O bloco de memória *on-chip* de onde são lidos ou escritos os dados internos ao FPGA através do controlador DMA para a memória RAM do computador foi configurado com tamanho do barramento de 64 bits e 4096 bytes de espaço.

6.3 Desenvolvimento do driver

O driver responsável pela transferência de dados em alta velocidade foi desenvolvido de forma similar aos drivers do módulo ECS-CBPF uma vez que a parte responsável pela comunicação PCIe é a mesma. O driver foi escrito para se comportar como um *char device* e por se tratar de um driver com um único propósito, todo o código do driver se encontra no arquivo pcie_dma.c. (Apêndice B) Após o carregamento do driver o dispositivo deve ser acessado através do arquivo /dev/pcie_dma.

Após o carregamento do módulo, a função de inicialização e reconhecimento do dispositivo PCIe é executada pela função dma_probe. Esta função de forma similar a descrita no item do driver poie_eos do módulo ECS-CBPF; procura o dispositivo PCIe no barramento, aloca os recursos e inicializa o controlador DMA através da função dma_init.

A função dma_init(void) é responsável pela configuração do controlador DMA através do registrador de controle. Inicialmente o controlador deve ser resetado ao menos duas vezes para que os parâmetros estejam corretamente configurados. O procedimento que se segue consiste na configuração do registrador de controle com os parâmetros de transferências utilizando duas palavras de dados, habilitação do uso de interrupções e a geração de interrupções depois do esvaziamento do contador de número de bytes a serem transferidos.

A transferência dos dados da memória do computador para a memória interna do FPGA é realizada pelas funções dma_read e dma_write. Estas funções executam a função dma_transfer (struct ecs_device *dev, int write, void *buffer, size_t count), onde o parâmetro void *buffer é o espaço de memória alocado pelo driver pela função de inicialização de onde os dados da memória do computador serão lidos ou escritos. Após a

execução da função dma_transfer, inicializa-se o processo de espera de um evento por uma interrupção. Este evento seguirá o fluxo de execução da função de leitura/escrita e transferência dos dados para a área reservada pelo programa que executou as operações no *user-space*.

A função dma_transfer é responsável pela configuração do controlador do DMA com os parâmetros dos endereços de memória de leitura e escrita, direção da transferência (memória do PC para memória do FPGA ou vice e versa), tamanho de dados a serem transferidos e inicialização da transferência.

7. Resultados

7.1 Verificação dos protótipos

Devido à complexidade na confecção do *layout*, fabricação e montagem das placas, três empresas foram contratadas para a execução das fases anteriormente mencionadas. A empresa CEM Engenharia foi responsável pelo desenvolvimento do layout das placas de circuito impresso presentes neste trabalho. A empresa Micropress foi responsável pelo processo de produção das placas de circuito impresso e a empresa Eurotronics, pela montagem dos componentes nas placas de circuito impresso.

No Apêndice C é detalhado o procedimento de verificação do protótipo, cujos erros inviabilizaram a obtenção dos resultados. Esse detalhamento é importante no contexto desta dissertação para evitar futuras falhas.

É importante ressaltar que a processo de verificação dos protótipos, foi realizado em dois meses e que os resultados obtidos foram cruciais para a correção dos erros encontrados, a realização das modificações necessárias no esquemático, no layout e por consequência a produção de um segundo protótipo.

Com a impossibilidade da utilização do FPGA, devido aos problemas encontrados, anteriormente descritos na placa do primeiro protótipo do módulo ECS-CBPF, a verificação do sistema foi realizada com a utilização do kit de desenvolvimento DB4CGX15, um PC com o sistema operacional Linux Ubuntu 9.04, os drivers necessários para a realização dos testes, uma versão de firmware compatível com a quantidade de espaço de elementos lógicos e pinos de I/O disponíveis no FPGA do kit de desenvolvimento e para a obtenção dos resultados, quando possível foram feitos utilizando a placa de validação.

7.2 Verificação do protocolo I2C

O procedimento para a verificação do protocolo I2C foi realizado com a utilização do O kit de desenvolvimento diretamente anexado ao barramento PCIe do PC e a conexão entre

os pinos do controlador I2C (SCL e SDA) no conector P3 para acesso externo aos dispositivos I2C disponíveis na placa de validação.

O primeiro passo realizado foi o carregamento do código de firmware na memória estática do kit de desenvolvimento utilizando a função de programação do aplicativo Quartus II e a interface JTAG/USB. Após a programação completa do código foi necessário realizar a reinicialização do computador para que no momento do boot o dispositivo PCIe fosse reconhecido pelo BIOS do computador e seus recursos reconhecidos pelo sistema.

Com o sistema operacional em execução, o comando lspci –v –d 0x1172:0x0004, foi executado para verificar se o dispositivo PCIe foi realmente reconhecido pelo sistema operacional e, assim, iniciar o carregamento dos drivers pcie_ecs e i2c_ocores através da ferramenta insmod. O resultado deste procedimento pode ser observado através do comando dmesg, como ilustrado na Figura 46.

```
454.483496] ECS JTAG Driver Loaded..
   477.0002901 ECS JTAG Driver Unloaded...
  478.796661] ECS JTAG Driver Loaded..
   478.802832] I2C ocores driver loaded
   478.810158] PCIe ECS Driver Loaded...
   478.810188] Probing ECS Device
   478.810207] ecs 0000:02:00.0: PCI INT A -> GSI 18 (level, low) -> IRQ 18
   478.810211]
                 Base Address Register(BAR0) @ 0xd8a04000
                 Size of 256 bytes
  478.810212]
                 Base Address Register(BAR1) @ 0xd8a00000
   478.8102141
                 Size of 16384 bytes
   478.8102151
  478.810224] Succesfully requested IRQ #18 with dev_id 0xf0eb5f40 478.810273] i2c_ocores: i2c drv addr: 0xf2c52c00
   478.810302] i2c_ocores: i2c drv addr: 0xf2c52d54
   478.810318] pcie_ecs: i2c drv [0] addr: 0xf2c52c00
   478.810320] pcie ecs: i2c drv [1] addr: 0xf2c52d54
   478.810322] pcie ecs: jtag start base addr: 0xd8a04040
   478.810323] pcie_ecs: jtag size: 0x40
   478.810366] pcie_ecs: jtag start base addr: 0xf80f6040
   527.281779] i2c /dev entries driver
llessa@pcie-ecs:~/sandbox/ecs-jtag/driver$
```

Figura 46 - Procedimento de carregamento dos drivers

Com os drivers carregados e seu funcionamento verificado foi realizado o carregamento do driver i2c-dev, responsável pelo acesso dos controladores I2C por aplicações do usuário. Desta maneira, para verificar qual controlador I²C conectado aos dispositivos na placa de validação, foi utilizado o comando i2cdetect –l e, posteriormente, o comando i2cdetect 1, utilizado para a visualização do endereço dos dispositivos conectados no barramento, como pode ser visto na Figura 47.

```
llessa@pcie-ecs:~/sandbox/ecs-jtag/driver$ sudo i2cdetect -l
i2c-0
                    SMBus PIIX4 adapter at fc00
                                                       SMBus adapter
i2c-1
      i2c
                    i2c-ocores
                                                       I2C adapter
i2c-2
      i2c
                                                       I2C adapter
                    i2c-ocores
llessa@pcie-ecs:~/sandbox/ecs-jtag/driver$ sudo i2cdetect 1
WARNING! This program can confuse your I2C bus, cause data loss and worse!
I will probe file /dev/i2c-1.
I will probe address range 0x03-0x77.
Continue? [Y/n] y
    0 1 2 3 4 5 6 7 8 9 a b c d e f
10: -- -- -- -- -- -- -- -- -- -- --
20: 20 21 -- -- -- -- -- -- -- -- -- -- --
30: -- -- -- -- -- -- -- -- -- -- -- --
40: -- -- -- -- -- -- 48 49 -- -- -- -- --
50: 50 51 52 53 -- -- -- -- -- -- -- -- --
70: -- -- -- -- -- -- --
llessa@pcie-ecs:~/sandbox/ecs-jtag/driver$
```

Figura 47 - Procedimento de carregamento dos drivers

Os primeiros dispositivos a serem verificados foram os conversores A/D com endereços no barramento 0x48 e 0x49. O driver foi carregado seguindo o quarto método de instanciamento de dispositivos i2c[73], através do comando abaixo. O programa adc_i2c (Apêndice B) foi utilizado para obter a medida, com resolução de 0.0129 V/bit, dos níveis de tensão presente nos reguladores da placa de validação. Como mostrado na Figura 48.

```
echo pcf8591 0x48 > /sys/bus/platform/devices/ocores-i2c.0/i2c-adapter/i2c-1 echo pcf8591 0x49 > /sys/bus/platform/devices/ocores-i2c.0/i2c-adapter/i2c-1
```

```
llessa@pcie-ecs:~/sandbox/ecs-jtag/app$ ./adc_i2c
Regulator [3V3A] = 3.3000 V
Regulator [3V3B] = 3.3000 V
Regulator [3V0 ] = 3.0024 V
Regulator [2V5 ] = 2.5235 V
Regulator [1V8 ] = 1.7859 V
```

Figura 48 - Resultado do nível de tensão nos reguladores

Outro dispositivo utilizado para a verificação do funcionamento do I²C foi o sensor de temperatura DS1821[74]. Este componente foi inserido no barramento através de uma placa de prototipagem, uma vez que o sensor de temperatura LM75 foi removido por apresentar problemas. Seu carregamento foi realizado de forma similar ao componente PCF8591 conforme mostrado abaixo.

echo ds1891 0x4a > /sys/bus/platform/devices/ocores-i2c.0/i2c-adapter/i2c-1

Uma aquisição de dados com os valores da temperatura do sensor foi obtida através do script app/temp_acq.sh (Apêndice B) durante o período do dia 04/08/2013 as 01:00 ao dia 05/08/2013 as 11:10 com intervalo de 10 s em cada medida. A Figura 49 mostra o comportamento da temperatura em (°C) em função do tempo.

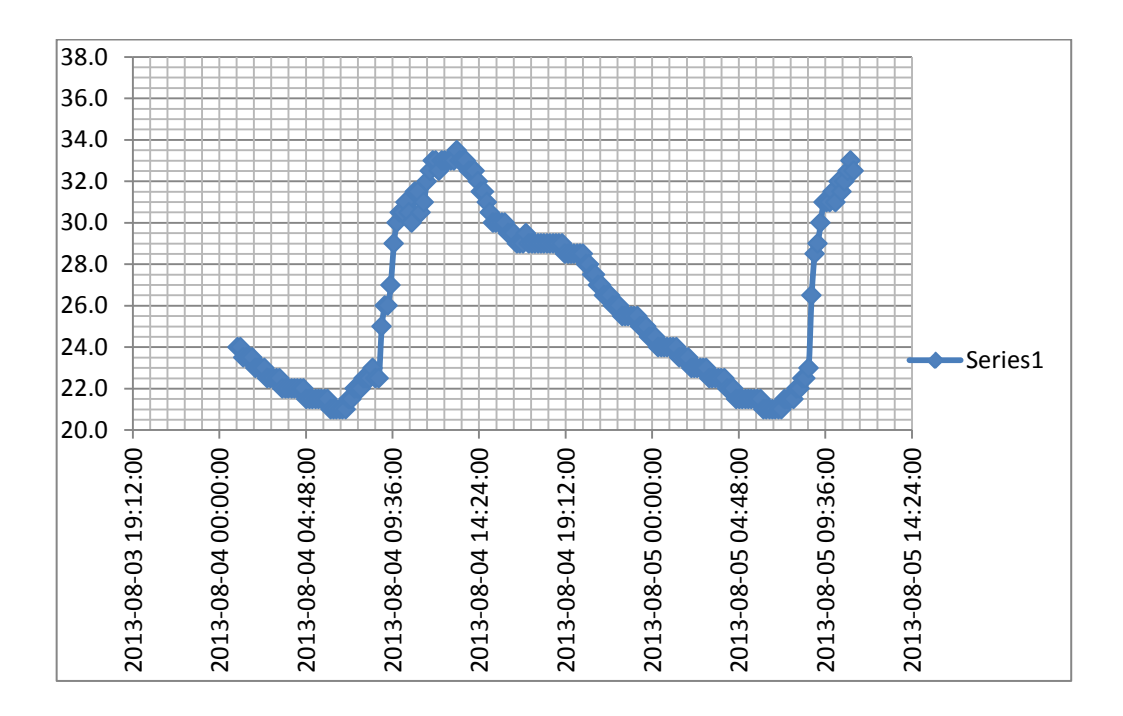


Figura 49 - Gráfico da medida de temperatura ambiente

Com a utilização dos dispositivos I²C pôde se verificar o perfeito funcionamento da integração entre o *hardware* e *drivers* através de aplicações no nível do usuário, além da simplicidade de operação utilizando as ferramentas e *drivers* disponíveis pela comunidade de desenvolvimento do Kernel.

7.3 Verificação da interface JTAG

Os resultados da verificação do funcionamento da interface JTAG, foram realizados com a saída da interface JTAG foi conectada no conector P1 da placa de validação e, posteriormente, conectada aos pinos JTAG da placa de desenvolvimento Arduino.

Depois de efetuado o carregamento dos *drivers* pcie_ecs e ecs_jtag foi utilizada a ferramenta JAM Player como mostrado na Figura 50. O código utilizado para o carregamento do FPGA consiste em um código simples, apenas para verificar o perfeito carregamento da interface JTAG do módulo ECS-CBPF. Este, após sintetizado pelo programa Quartus II, foi convertido em um arquivo do tipo jam, este código consiste em um sinal de *clock*, um circuito *pll* (Phase-Locked Loop) e um divisor de frequência. A saída do divisor de frequência e o sinal *locked* do pll são exportados para os pinos do FPGA. Desta maneira, foi possível observar através de um osciloscópio(Figura 51) sua execução. O diagrama de blocos do código carregado no FPGA através da interface JTAG do módulo ECS pode ser visto na Figura 52.

```
llessa@pcie-ecs:~/sandbox/ecs-jtag/jamplayer$ sudo ./jamplayer ../app/JTAG_Validation.jam -s/dev/jtag -aconfigure -v
Jam STAPL Player Version 2.5 (20040526)
Copyright (C) 1997-2004 Altera Corporation
CRC matched: CRC value = 1F84
EXPORT: key = "JAM_STATEMENT_BUFFER_SIZE", value = 3547
NOTE "CREATOR" = "QUARTUS II JAM_COMPOSER_11.1"
NOTE "DATE" = "2013/07/31"
NOTE "DEVICE" = "EP2C8"
NOTE "FILE" = "JTAG_Validation.sof"
NOTE "TARGET" = "1"
NOTE "IDCODE" = "020B20DD"
NOTE "USERCODE" = "FFFFFFF"
NOTE "CHECKSUM" = "000C68FB"
NOTE "SAVE DATA" = "DEVICE DATA"
NOTE "SAVE_DATA_VARIABLES" = "V0, A12, A13, A25, A42, A93, A43, A92, A94, A95, A105, A109, A111"
NOTE "STAPL VERSION" = "JESD71"
NOTE "JAM_VERSION" = "2.0"
NOTE "ALG_VERSION" = "55"
Device #1 IDCODE is 020B20DD
configuring SRAM device(s)...
DONE
Exit code = 0... Success
Elapsed time = 00:00:02
```

Figura 50 - Processo de carrega utilizando a ferramenta JAM Player

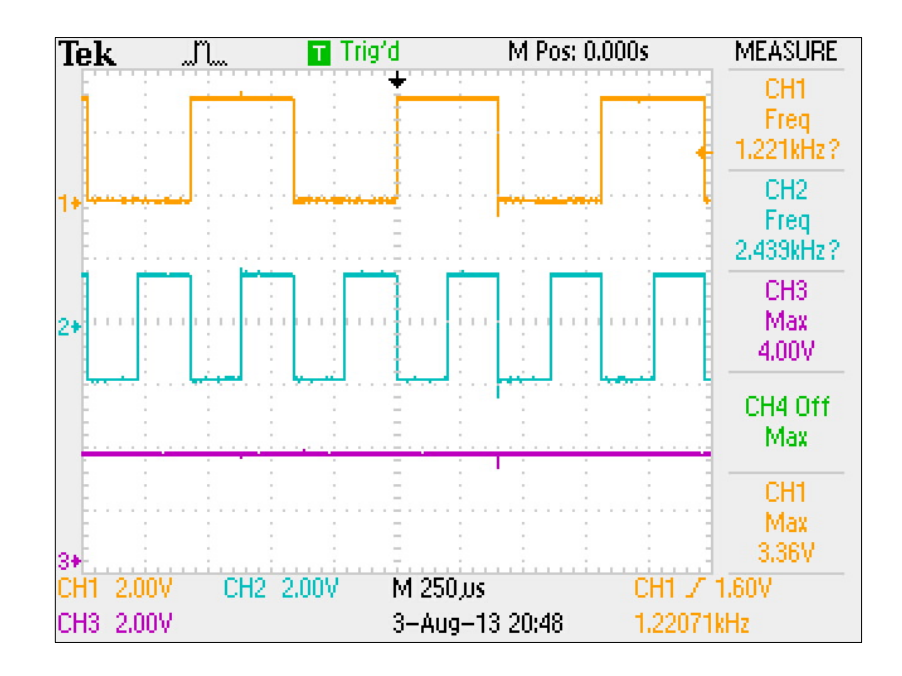


Figura 51 - Captura do código em execução após o carregamento

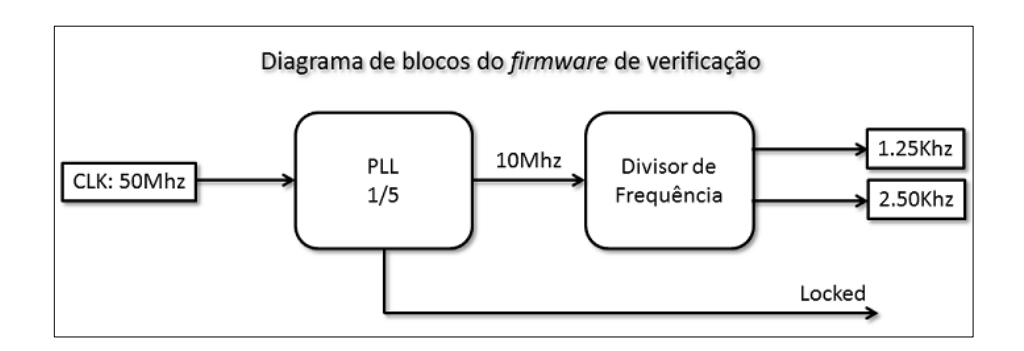


Figura 52 - Diagrama de blocos do firmware de verificação

Outra ferramenta utilizada na verificação do funcionamento da interface JTAG consiste na ferramenta urJTAG. Com ela foi possível realizar a operação de identificação do dispositivo (IDCODE) de dois dispositivos que continham portas JTAG, o FPGA da placa de validação e a placa de desenvolvimento Arduino, como pode ser observado na Figura 53.

```
llessa@pcie-ecs:~/sandbox/ecs-jtag/urjtag-0.10/src$ sudo ./jtag
UrJTAG 0.10 #1502
Copyright (C) 2002, 2003 ETC s.r.o.
Copyright (C) 2007, 2008, 2009 Kolja Waschk and the respective authors
UrJTAG is free software, covered by the GNU General Public License, and you are
welcome to change it and/or distribute copies of it under certain conditions.
There is absolutely no warranty for UrJTAG.
WARNING: UrJTAG may damage your hardware!
Type "quit" to exit, "help" for help.
jtag> cable ECS ecsdev /dev/jtag
Initializing ppdev port /dev/jtag
itad> idcode
Reading 0 bytes if idcode
jtag> idcode
Reading 0 bytes if idcode
jtag>
```

Figura 53 - Utilização da ferramenta urJTAG

Os resultados obtidos com estas verificações mostrou que a interface e os softwares estão operacionais, não somente para FPGAs da Altera, mas também dispositivos de outros fabricantes.

7.4 Verificação de transmissão em alta velocidade PCIe

Os resultados da verificação de transmissão em alta velocidade foram realizados utilizando o kit de desenvolvimento anexado diretamente em um PC. O *firmware* desenvolvido para a placa de validação foi programado através da interface USB/JTAG de forma similar a realizada na verificação do protocolo I²C.

Após a finalização da programação do kit de desenvolvimento, o PC foi reiniciado e após o boot completo, foi iniciado o procedimento de carregamento do driver pcie_dma. A verificação do carregamento do driver no sistema operacional foi obtida pelo comando dmeso.

Um arquivo com dados randômicos de 4096 bytes, tamanho exato da memória interna ao FPGA, foi gerado para servir de referência aos dados transmitidos. O comando padrão do Linux dd foi utilizado para a realização das transferências de dados entre a memória do computador e a memória interna do FPGA utilizando o controlador DMA. A Figura 54 mostra as transferências realizadas entre PC x FPGA. Os arquivos transmitidos e

recebidos foram comparados com a utilização da ferramenta diff, foi constatado que os dados foram transmitidos de forma correta.

```
llessa@pcie-ecs:~/sandbox/pcie_DMA_QSYS$ sudo dd if=dummy_4k.dat of=/dev/ecs bs=
4096 count=1
1+0 records in
1+0 records out
4096 bytes (4.1 kB) copied, 0.000186267 s, 22.0 MB/s
llessa@pcie-ecs:~/sandbox/pcie_DMA_QSYS$ sudo dd if=/dev/ecs of=output.dat bs=40
96 count=1
1+0 records in
1+0 records out
4096 bytes (4.1 kB) copied, 0.0002464 s, 16.6 MB/s
llessa@pcie-ecs:~/sandbox/pcie_DMA_QSYS$ diff dummy_4k.dat output.dat
llessa@pcie-ecs:~/sandbox/pcie_DMA_QSYS$ ■
```

Figura 54 - Transferência de dados entre a memória do PC e FPGA

Para evitar que o tempo de inicialização do controlador influencie no calculo do tempo pelo de transferência pelo comando dd. A medida do tempo de transferência foi realizada diretamente pelo *driver*. Esta medida começa a ser efetuada no momento em que controlador recebe o comando de iniciação, isto é, após todas as configurações já terem sido realizadas, e finalizada quando o controlador envia um sinal de interrupção ao sistema.

Através do resultado da medida do tempo de forma indireta pelo *driver* foi possível o cálculo aproximado da velocidade de transmissão pelo barramento PCIe denominado *throughput* do PCIe. A quantidade de dados transmitidas no barramento PCIe teórica, após a camada física é de 250 MB/s. Para uma medida mais precisa seria necessário o uso um osciloscópio com analisador de protocolos.

O throughput dos dados é extremamente dependente do tamanho do payload e neste caso, limitado a 256 bytes pelo bloco físico PCIe da FPGA Cyclone IV. No cálculo da eficiência de transmissão de um pacote PCIe deve-se levar em conta o overhead do pacote, que no caso deste sistema é de 20 bytes pois utiliza-se uma TLP com 3 DWORD (32 bits). O calculo da eficiência pode ser feito a partir da fórmula abaixo.

$$Eficiência \ [\%] = 100\% \times \frac{Tamanho\ do\ Payload}{Tamanho\ do\ Payload \times overhead}$$

A Tabela 5 mostra a eficiência em função do tamanho do payload.

| Payload | Eficiência [%] | Throughput [MB/s] | |
|---------|----------------|-------------------|--|
| 16 | 44.44 | 111.11 | |
| 32 | 61.54 | 153.85 | |
| 64 | 76.19 | 190.48 | |
| 128 | 86.49 | 216.22 | |
| 256 | 92.75 | 231.88 | |
| 512 | 96.24 | 240.60 | |
| 1024 | 98.08 | 245.21 | |
| 2048 | 99.03 | 247.58 | |
| 4096 | 99.51 | 248.79 | |

Tabela 4 - Eficiência e Throughput

Além dos pacotes TLP, são transmitidos pacotes do tipo DLLP e PLP que possuem 8 e 4 bytes, respectivamente, e não possuem nenhuma informação do usuário. Os DLLP são utilizados para a acusação de recebimento de um pacote, controle de fluxo e algumas funções de gerenciamento de energia. Os pacotes do tipo DLLP são originados e terminados na camada de *link* de dados, o PLP na camada física, estes pacotes não são visíveis para a aplicação. Os pacotes do tipo PLP são responsáveis pela sincronização do *clock* e devem ser transmitidos regularmente após a transmissão de 1180 a 1538 bytes.

Os pacotes TLP só são transmitidos se o receptor possuir espaço suficiente no seu buffer de recebimento. Por isto pacotes DLLP de controle de fluxo são transmitidos em ambas às direções para informar o transmissor e receptor do espaço disponível em cada um.

A partir destas informações foi possível calcular o valor de *throughput* para a operação de escrita, levando-se em conta dois pacotes do tipo DLLP por pacote TLP transmitido e um pacote PLP a cada 1180 bytes transmitido, o valor real aproximado para um *payload* de 256 bytes, em uma transmissão de 4096 bytes é de 230,90 MB/s.

Para a operação de leitura um pacote TLP vazio deve ser enviado na direção de escrita. Após o recebimento, um pacote TLP de resposta é retornado com os dados solicitados. Em seguida o processo de transmissão se inicia com dois pacotes DLLP enviados a cada TLP transmitido, um pacote TLP a cada pacote recebido (na direção de escrita), um

pacote PLP a cada 1180 bytes. Essas operações de leitura são implementadas com um tempo fixo de 500 ns. O valor real aproximado para um *payload* de 256 bytes e uma transmissão de 4096 bytes é de 149.18 MB/s.

O cálculo da velocidade de transmissão dos dados na direção de escrita e leitura, foram obtidos a partir da média de 10.000 medidas do tempo, para diferentes quantidades de dados transmitidos. Foram utilizado os valores de 4096, 2048, 1024 bytes. As distribuições obtidas foram ajustadas por distribuições gaussianas onde o valor central corresponde ao tempo de transmissão. E o erro associado foi obtido a partir da largura da gaussiana correspondente. Os valores das médias do tempo de transmissão e erros associados obtidos para as operações de escrita e leitura encontram-se nas Tabelas 5 e 6, respectivamente.

| bytes | t(0) (us) | Erro t(0) (us) |
|-------|-----------------|----------------|
| 1024 | 24.633 +- 0.016 | 1.351 +- 0.017 |
| 2046 | 31.108 +- 0.039 | 3.285 +- 0.025 |
| 4098 | 40.120 +- 0.013 | 0.850 +- 0.016 |

Tabela 5 - Operação de escrita

| Bytes | t(0) (us) | Erro t(0) (us) |
|-------|-----------------|------------------|
| 1024 | 21.662 +- 0.015 | 0.5422 +- 0.0093 |
| 2046 | 27.439 +- 0.017 | 0.628 +- 0.011 |
| 4098 | 42.540 +- 0.011 | 0.858 +- 0.011 |

Tabela 6 - Operação de leitura

A partir dos pontos obtidos foi possível construir um gráfico do numero de bytes transmitidos, para operação de escrita e leitura em função do tempo. Mostrados respectivamente nas Figuras 55 e 56

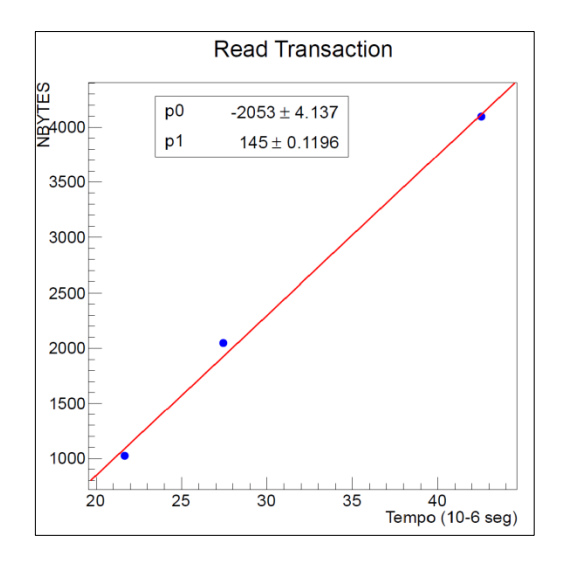


Figura 55 - Transação de Leitura

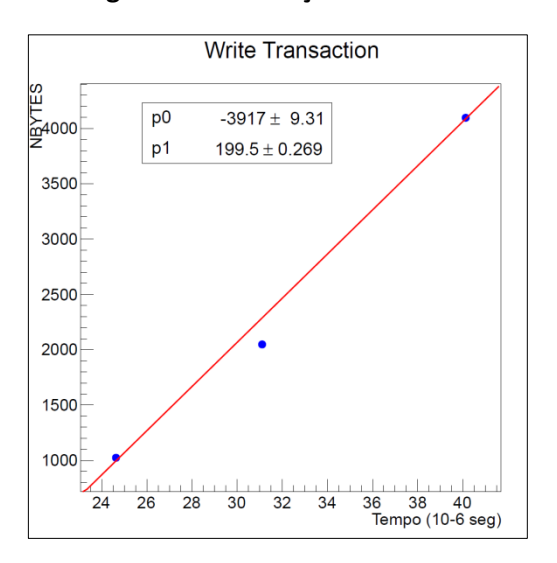


Figura 56 - Transação de Escrita

Para a operação de escrita foi observado o valor de 199.5 ± 0.3 MB/s e para a operação de leitura o valor de 145.0 ± 0.11 MB/s, estes valores indicam que a transmissão esta sendo realizada próximo aos valores teóricos levando-se em conta o cálculo dos pacotes presentes em transações de leitura. O valor obtido para a escrita está abaixo do esperado para um *payload* de 256 bytes, possivelmente por alguma limitação interna ao FPGA, como latência para acesso a memória, quantidade de buffer disponível para o sistema, o tamanho da FIFO do controlador DMA ou mesmo a influencia do Sistema Operacional na medida do tempo. Os resultados encontrados fornecem um aumento considerável do desempenho se comparados com a primeira versão do driver desenvolvida [75], em torno de 5 MB/s.

8. Conclusão e perspectivas futuras

Este trabalho se refere ao desenvolvimento de um módulo de controle, ECS-CBPF, tendo em vista as modificações previstas para o upgrade do experimento LHCb, em particular para a placa de aquisição TELL40. Apesar de ser projetado para uma determinada aplicação, o desenho do módulo se mostrou flexível por conter uma unidade de lógica programável e uma quantidade suficiente de portas de entrada e saída para a utilização em outras aplicações. O projeto pode ser definido como um pacote que envolve *hardware*, tanto do módulo como da respectiva unidade de verificação, como *firmware* e *software*.

De acordo com os requerimentos necessários ao upgrade do LHCb o módulo deve conter um computador de bordo CCPC moderno, protocolo Gigabit Ethernet para comunicação com a sala de controle, e fornecer protocolos de alta velocidade PCIe e de baixa velocidade I2C, JTAG e SPI, para controle, monitoramento e configuração de dispositivos na placa de aquisição.

O desenvolvimento do *firmware* e dos *drivers* foi inicialmente realizado utilizando um kit de desenvolvimento contendo um FPGA e o barramento de comunicação PCIe. Desta maneira foi possível estimar o uso de recursos necessários para o desenvolvimento do *hardware* do módulo e verificar o funcionamento dos elementos de *software*. Para produção do módulo foram necessárias quatro etapas, são elas, o desenho do esquemático elétrico, a produção do layout do circuito impresso, a fabricação do circuito impresso e aquisição dos componentes e por fim a montagem dos componentes no circuito impresso.

Para a verificação e validação do funcionamento do módulo tanto na etapa de verificação inicial do funcionamento do protótipo quanto na etapa de produção em série. Foi desenvolvida uma placa de validação que oferece os recursos necessários para a verificação do funcionamento e extração de resultados dos elementos disponíveis no módulo ECS-CBPF, esta verificação pode ser feita de forma automática através de um *software* de controle via USB.

No decorrer do deste projeto houveram algumas mudanças em relação ao desenvolvimento do upgrade da placa de aquisição de dados para o experimento LHCb. Os

requisitos inicialmente utilizados para o desenvolvimento das características físicas e funcionais do módulo ECS-CBPF tinham como objetivo se enquadrar com as específicações do upgrade do sistema atual (TELL1), projeto este, denominado TELL10 e desenvolvido pela EPFL, em Lausanne. Esta placa tinha como filosofia a utilização de *mezzaninos* e a utilização de *crates* com espaço suficiente para acomodar o módulo ECS-CBPF. No período que o módulo ECS-CBPF e placa de validação encontravam-se em fase de produção, a Colaboração optou pela utilização de outro projeto que vinha sendo desenvolvido em paralelo ao TELL10 denominado TELL40 e desenvolvido pelo CPPM, em Marseille. Por utilizar *crates* de nova geração e com limitação de espaço, após algumas reuniões com o grupo de Marseille, optouse utilizar como referência o desenho do módulo ECS-CBPF e implementar um sistema similar diretamente na placa de aquisição.

A TELL40 utiliza um modelo da mesma família do FPGA específicado para o módulo ECS-CBPF e seus requisitos funcionais são parecidos, como o controle através de um CCPC e Gigabit Ethernet, comunicação através do protocolo PCIe e a utilização de barramento de baixa velocidade como I²C e SPI para o controle e monitoramento de dispositivos na placa. Neste ponto a parte de software (*firmware* e *drivers*) do módulo ECS-CBPF encontrava-se em uma fase mais avançada e totalmente operacional, no que diz respeito ao protocolo I²C. Foi dado ao grupo de Marseille o suporte necessário para a operação do CCPC e a integração do *firmware* e *drivers* desenvolvidos pelo grupo do CBPF através de uma visita técnica ao laboratório do grupo do CPPM.

Os problemas encontrados no primeiro protótipo, principalmente o relacionado à fonte de tensão que ocasionou o comprometimento de componentes essenciais, como o FPGA e o Switch PCIe. Inviabilizou a utilização do protótipo para a obtenção dos resultados deste trabalho. Os resultados foram obtidos utilizando o kit de desenvolvimento com um *firmware* que possui recursos limitados em relação à quantidade de controladores, mas completo em relação às funcionalidades fornecidas se comparado à quantidade de controladores necessários para o sistema final ECS-CBPF. Os problemas encontrados no primeiro protótipo e suas correções foram de extrema importância para a produção de um segundo protótipo. Atualmente este protótipo encontra-se produzido e seu teste deve ser iniciado durante o mês de agosto de 2013.

Em relação aos resultados obtidos a partir do kit de desenvolvimento, foi possível observar o perfeito funcionamento de forma robusta do controlador e drivers I²C implementados nesse trabalho. Assim como a integração total com o sistema operacional, facilidade de operação, utilização de *drivers* já existentes e transparência de questões técnicas relativas ao funcionamento do controlador e protocolo I²C no desenvolvimento dos aplicativos pelo usuário final. Foi possível carregar um código em um FPGA bem como a utilização de outros tipos de dispositivos que contenham a interface JTAG, através de linhas de comandos. Esta operação no contexto do sistema final será realizada de forma remota e o PC substituído pelo CCPC.

Os resultados de desempenho em transferências de dados em alta velocidade utilizando o protocolo PCIe, podem ser considerados ótimos devido a limitação da quantidade de dados que pode ser transmitida utilizando a família de FPGA utilizada para a verificação. As velocidades obtidas foram de 199.5 MB/s na operação de escrita e 145 MB/s na operação de leitura. Estas taxas indicam uma significativa melhora no aumento do desempenho, se comparado ao primeiro *driver* escrito [75] para uma comunicação PCIe cujo o valor máximo obtido foi na ordem de 5 MB/s.

Alguns pontos não foram explorados neste trabalho, como o desenvolvimento do driver e inclusão do controlador SPI no firmware, o desenvolvimento da aplicação de controle e software necessários para o controle da placa de validação, resolução dos eventuais problemas do segundo protótipo.

O desenvolvimento deste trabalho levou a publicação de uma nota técnica interna no CERN com a identificação LHCb-INT-2013-046 referente ao *hardware*. Em um futuro próximo serão publicadas outras duas notas técnicas abordando a parte de *software/drivers* e desempenho do sistema final.

Referências Bibliográficas

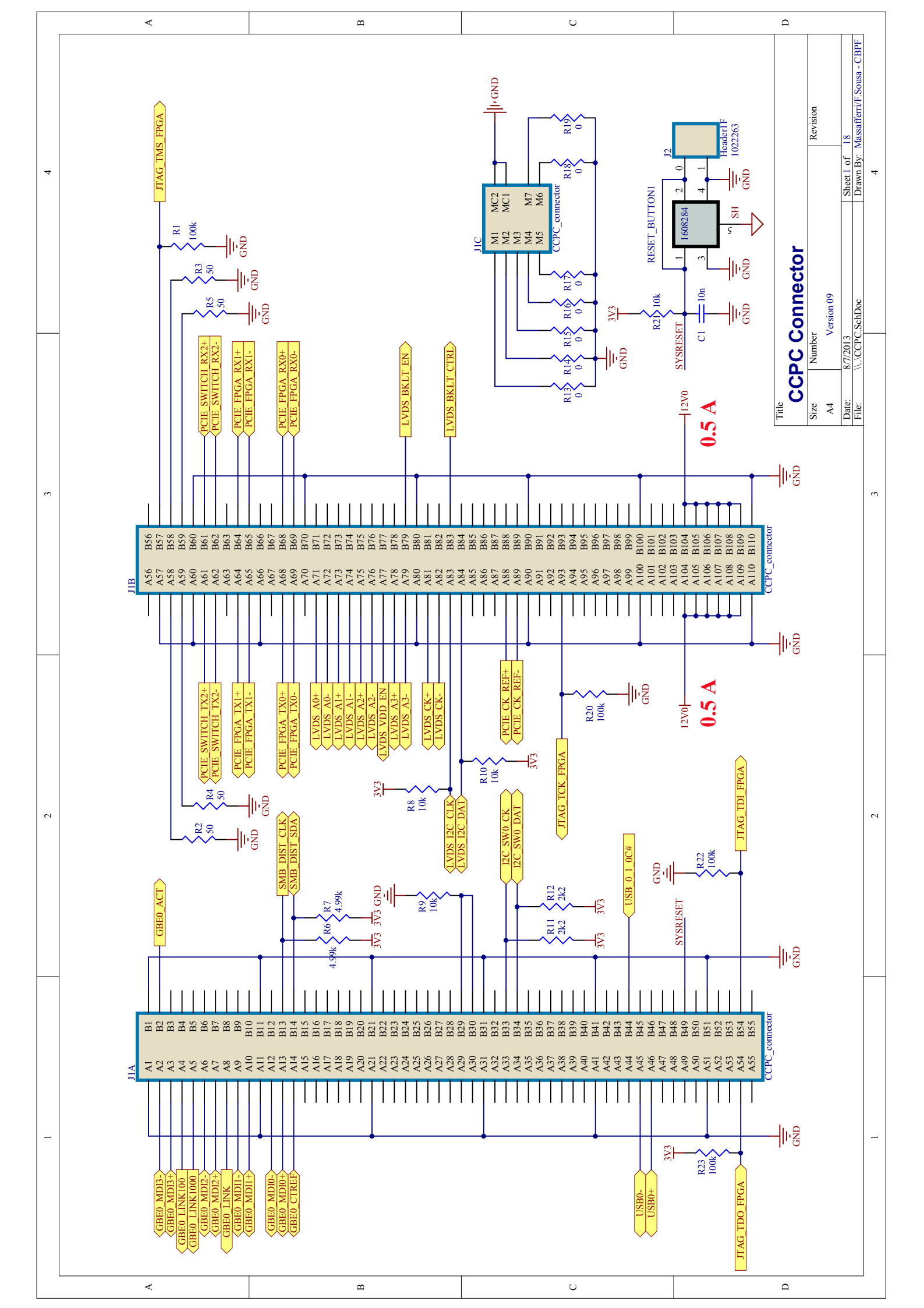
- [1] L. Evans, P.Bryant, LHC machine. JINST, 3:S08001, 2008
- [2] LHC Design Report. Disponível em: http://lhc.web.cern.ch/lhc/LHC-DesignReport.html
- [3] K. Aamodt et al. (The ALICE collaboration), The ALICE Experiment at the LHC, JINST 3, S08002 (2008) http://alice.cern.ch
- [4] G. Aad et al. (The ATLAS collaboration), The ATLAS Experiment at the LHC,JINST 3, S08003 (2008)">http://atlas.ch>
- [5] R. Adolphi et al. (The CMS collaboration), The CMS Experiment at the LHC,JINST 3, S08004 (2008) http://cms.cern.ch
- [6] The TOTEM experiment http://totem-experiment.web.cern.ch/totem-experiment.
 Acesso em:03 mar. 2013
- [7] O.Adriani et al. LHCb Collaboration, The LHCf detector at the CERN Large Hadron Collider, JINST 3, S08006, 2008.
- [8] A.A. Alves Jr. et al (The LHCb Collaboration), The LHCb Detector at the LHC, JINST 3, S08005 (2008) http://lhcb.cern.ch/>. Acesso em: 03 mar. 2013
- [9] The LHCb Collaboration, LHCb Magnet: Technical Design Report, CERNLHCC-2000-007 (2000)
- [10] The LHCb Collaboration, LHCb VELO: Technical Design Report, CERNLHCC-2001-011 (2001)
- [11] LHCb Collaboration. LHCb Technical Design Report: Reoptimized detector design and performance. CERN-LHCC 2003-030.
- [12] The LHCb Collaboration, LHCb Inner Tracker: Technical Design Report, CERN-LHCC-2002-029 (2002)
- [13] The LHCb Collaboration, LHCb Outer Tracker: Technical Design Report, CERN-LHCC-2002-029 (2001)
- [14] The LHCb Collaboration, LHCb RICH: Technical Design Report, CERNLHCC-2000-037 (2000)
- [15] The LHCb Collaboration, LHCb Calorimeters: Technical Design Report, CERN-LHCC-2000-036 (2000)

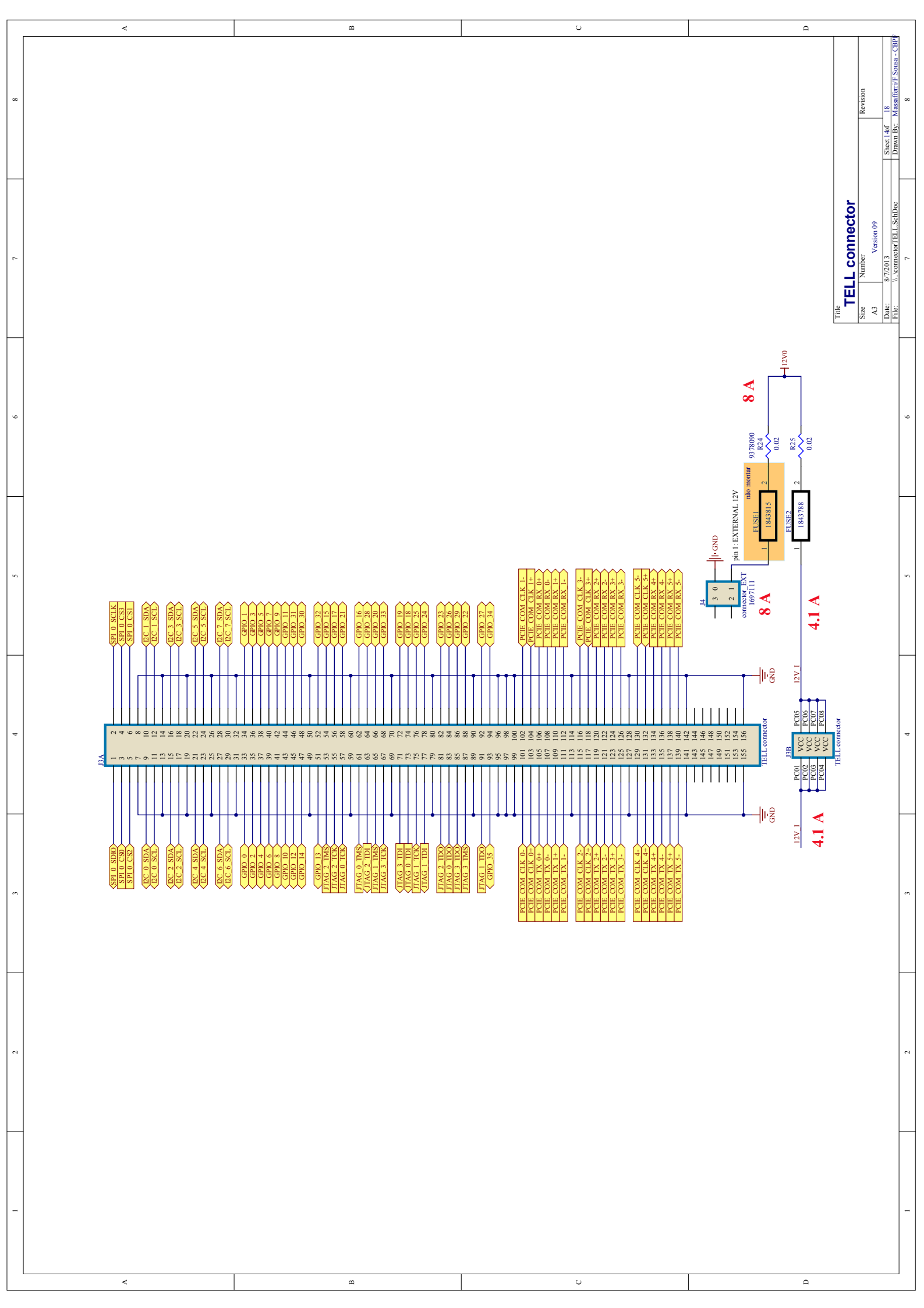
- [16] The LHCb Collaboration, LHCb Muon System: Technical Design Report, CERN-LHCC-2001-010 (2001)
- [17] The LHCb Collaboration, LHCb Trigger System: Technical Design Report, CERN-LHCC-2003-031 (2003)
- [18] The LHCb Collaboration, LHCb Online System: Technical Design Report, CERN-LHCC-2001-040 (2001)
- [19] The LHCb Collaboration, Addendum to the LHCb Online System: Technical Design Report, CERN-LHCC-2005-039 (2005)
- [20] ANTUNES. R.N et al 2005, LHCb Computing Technical Design Report CERN-LHCC-2005-019
- [21] The LHCb Collaboration, Letter of Intent for the LHCb Upgrade, CERN-LHCC-2011-001 (2011)
- [22] Wyllie K et al, LHCb Technical Note: Electronics Architecture of the LHCb Upgrade, LHCb-PUB-2011-011 (2011)
- [23] MOREIRA, P. et al, GBTx Specification V1.5 Draft, CMS Document 3857-v3 (2011)
- [24] Alessandro Gabrielli et al, GBT-SCA The Slow Control Adapter for the GBT System REV4.3 (2011)
- [25] J-P. Cachemiche et al, Readout board specifications for the LHCb upgrade, EDMS 1251709 (2012)
- [26] PICMG 3.0 Revision 2.0 AdvancedTCA Base Specification http://www.picmg.org
- [27] KONTRON COMe-mTTi10 <a href="http://emea.kontron.com/products/computeronmodules/com+express/com+e
- [28] PLX PEX8609 http://www.plxtech.com/products/expresslane/pex8609
- [29] BUDRUK, R.; ANDERSON, D.; SHANLEY, T. PCI Express System Architecture. 2nd. ed. [S.I.]: MindShare, Inc, 2003.
- [30] SHANLEY, T.; ANDERSON, D. PCI System Architecture. 4rd. ed. [S.l.]: MindShare, Inc, 1999.
- [31] PCI-SIG. PCIe Base Spec 1.1 http://www.pcisig.com/specifications/pciexpress/ Acesso em 18 mar. 2012
- [32] IEEE, Inc. IEEE Std 1149.1 Standard Test Access Port and Boundary Scan Architecture. [S.I.]: IEEE, Inc.

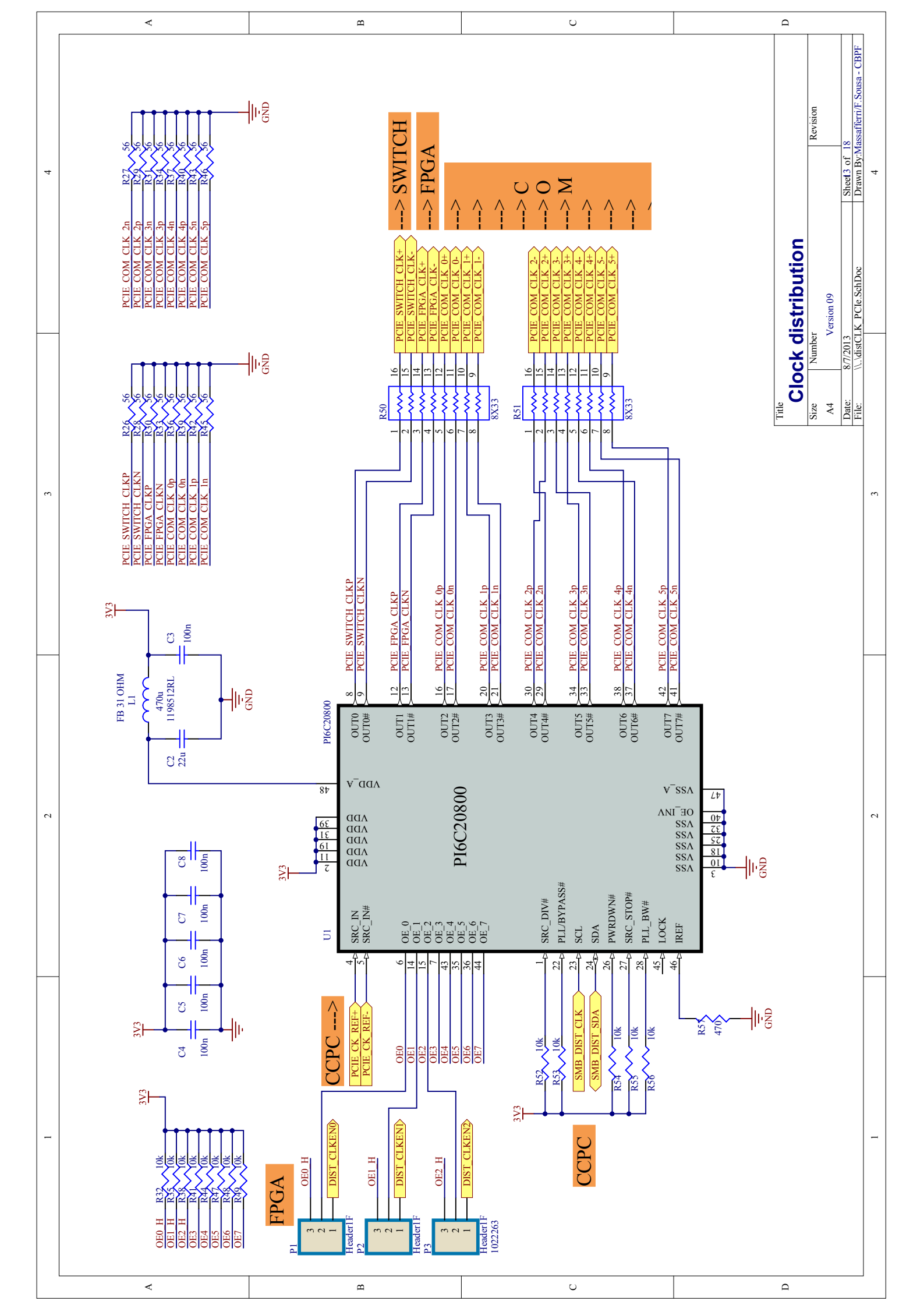
- [33] IEEE, Inc. IEEE Std 1532 Standard for In-System Configuration of Programmable Devices. [S.I.]: IEEE, Inc.
- [34] DEVBOARDS. http://www.devboards.de/en/home/boards/product-details/article/db4cgx15/
- [35] ALTERA Corporation. Quartus II Handbook Version 10.0. [S.I.], 2010.
- [36] ALTIUM Ltd. Altium Designer. http://www.altium.com
- [37] LINEAR Tecnology. LTM4601 Datasheet. http://www.linear.com
- [38] LINEAR Tecnology. LTC3568 Datasheet. http://www.linear.com
- [39] TEXAS Instrument. TPS95003 Datasheet. http://www.ti.com
- [40] PERICOM. PI6C20800 Datasheet. http://www.pericom.com
- [41] PICMG COM.0 Revision 2.0 COM Express. http://www.picmg.org
- [42] ALTERA Corporation. Cyclone IV Device Handbook. [S.I.], 2011.
- [43] ALTERA Corporation. SOPC Builder User Guide. [S.I.], 2010.
- [44] ALTERA Corporation. Solution ID: rd08032010_560 http://www.altera.com/support/kdb/solutions/rd08032010_560.html
- [45] ALTERA Corporation. PCI Express Compiler User Guide. [S.I.], 2011.
- [46] ALTERA Corporation. Avalon Interface Specifications. [S.I.] 2011.
- [47] OPENCORES. I2C controller core http://opencores.org/project,i2c
- [48] OPENCORES. Wishbone Specification [S.I.], 2010.
- [49] PHILIPS Semiconductors. The I 2C-bus specification version 2.1. [S.I.]: Philips, 2000.
- [50] ALTERA Corporation. Embedded Peripherals IP User Guide. [S.I], 2011.
- [51] BACH, Maurice J. The design of the Unix operating system. New Jersey: Prentice Hall, 1990.
- [52] BOVET, Daniel P.; CESATI, Marco. Understanding the Linux kernel. Sebastopol: O'Reilly, 2005
- [53] LDD3
- [54] Linux I2C Subsystem https://i2c.wiki.kernel.org/index.php/Main Page>

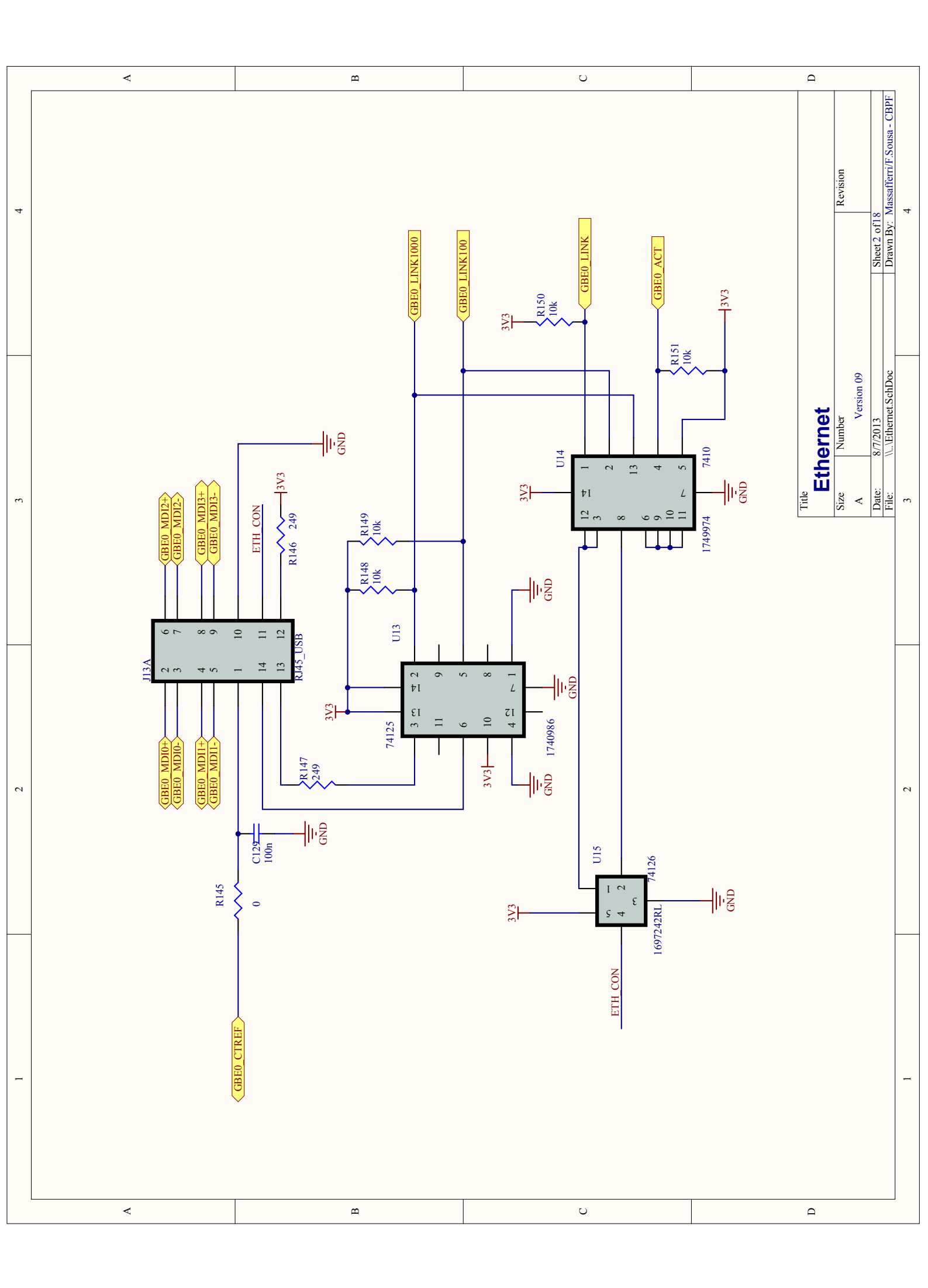
- [55] Linux Kernel http://www.kernel.org
- [56] Dev-interface The Linux Kernel Archives https://www.kernel.org/doc/Documentation/i2c/dev-interface
- [57] I2C Tools for Linux http://www.lm-sensors.org/wiki/I2CTools
- [58] Altera Jam STAPL https://www.altera.com/download/programming/jam/jam-index.jsp
- [59] UrJTAG Universal JTAG library, server and tools http://www.urjtag.org
- [60] TEXAS Instruments. LM2853 Datasheet http://www.ti.com
- [61] TEXAS Instruments. LM2852 Datasheet http://www.ti.com
- [62] TEXAS Instruments. LP2992 Datasheet http://www.ti.com
- [63] ARDUINO. http://www.arduino.cc
- [64] ATMEL Corporation. ATMEGA 2560 Datasheet http://www.atmel.com
- [65] NXP Semiconductors. 74LVC373 Datasheet http://www.nxp.com
- [66] NXP Semiconductors. PCF8591 Datasheet http://www.nxp.com
- [67] ATMEL Corporation. AT24C08B Datasheet http://www.atmel.com
- [68] TEXAS Instruments. LM75 Datasheet http://www.ti.com
- [69] NXP Semiconductors. PCF8574 Datasheet http://www.nxp.com
- [70] NXP Semiconductors. 74CBTLV3253 Datasheet http://www.nxp.com
- [71] PERICOM. PI2PCIE2214 Datasheet http://www.pericom.com
- [72] HOROWITZ, P.; HILL, W. The Art of electronics. 2. ed. [S.I.]: Cambridge University Press, 1989.
- [73] Instantiating-Devices The Linux Kernel Archives https://www.kernel.org/doc/Documentation/i2c/instantiating-devices
- [74] MAXIM Semiconductors. DS1821 Datasheet < www.maximintegrated.com>
- [75] LESSA, L.H.P. Desenvolvimento de um barramento PCI Express para a comunicação entre um processador e uma FPGA. Programa de Capacitação Institucional do MCT/CBPF, 2010.

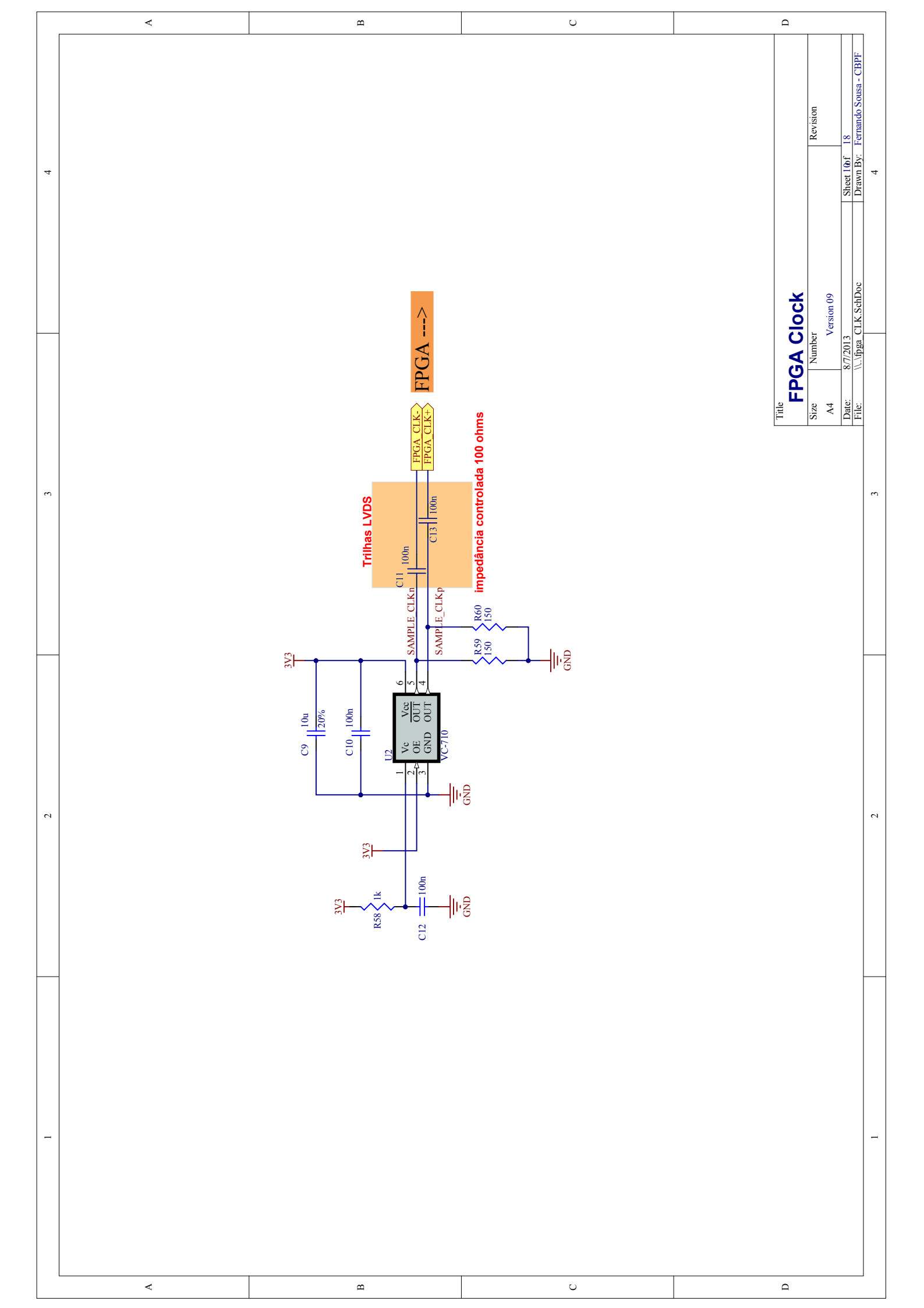
Apêndice A - Esquemáticos

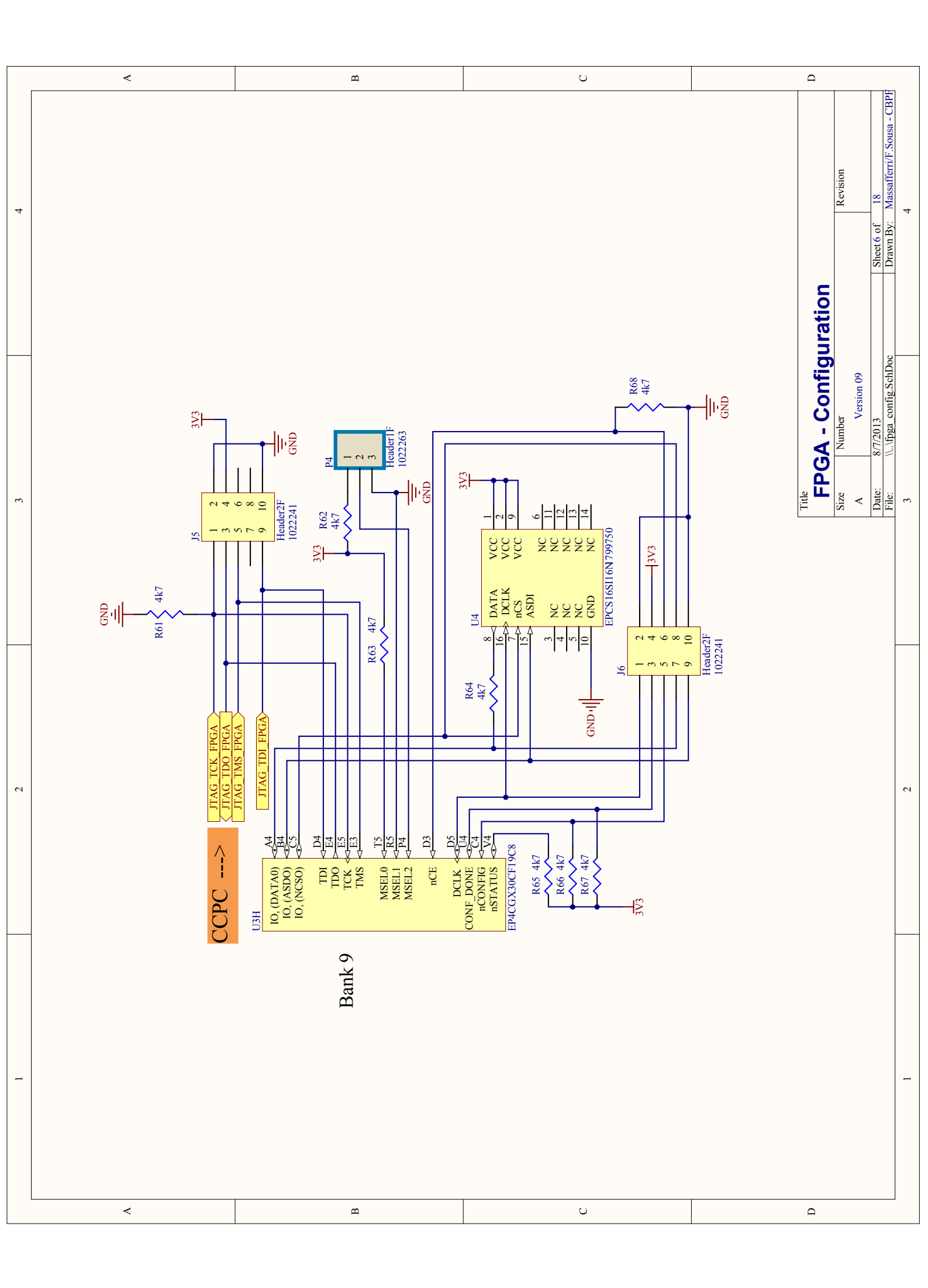


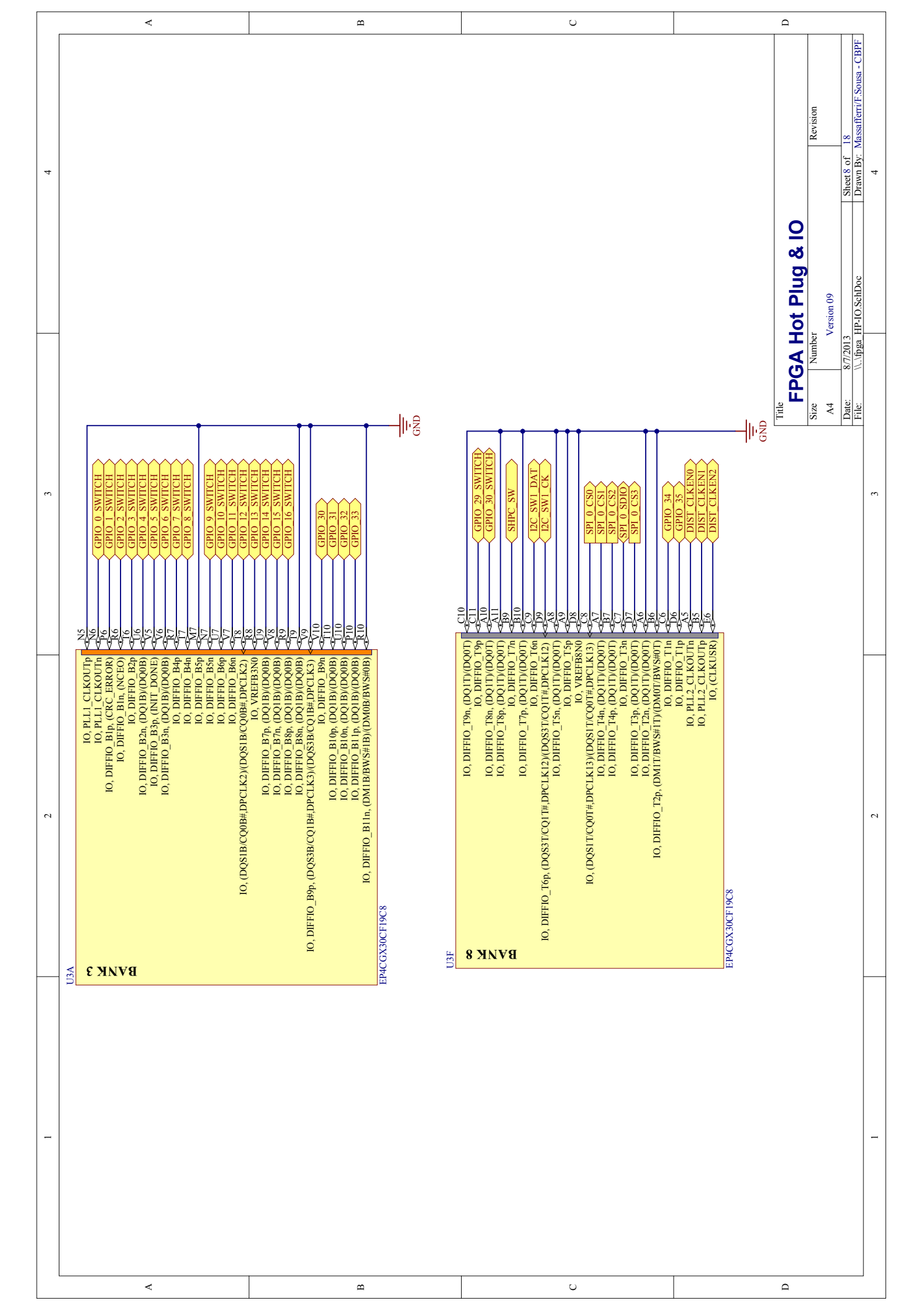


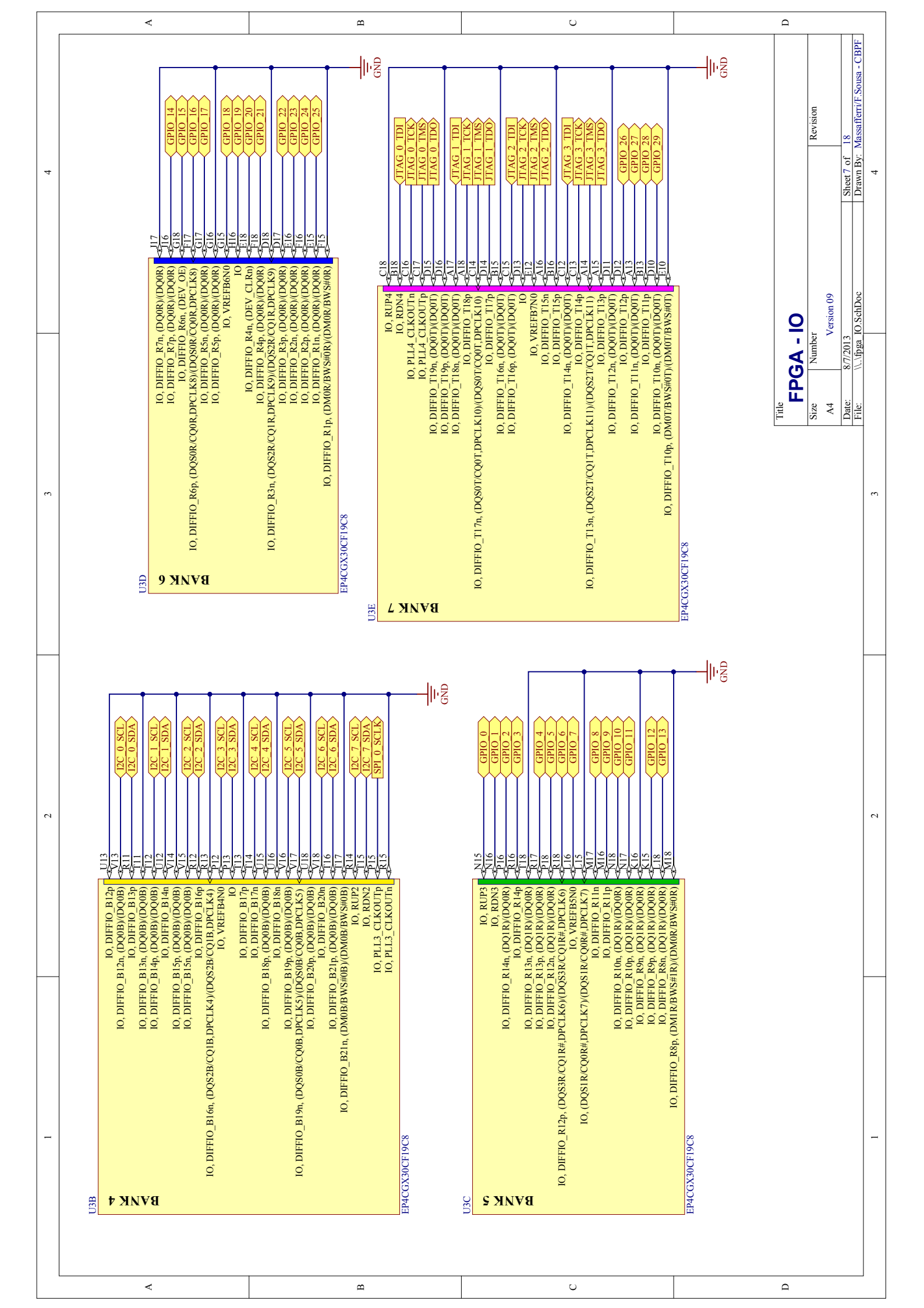


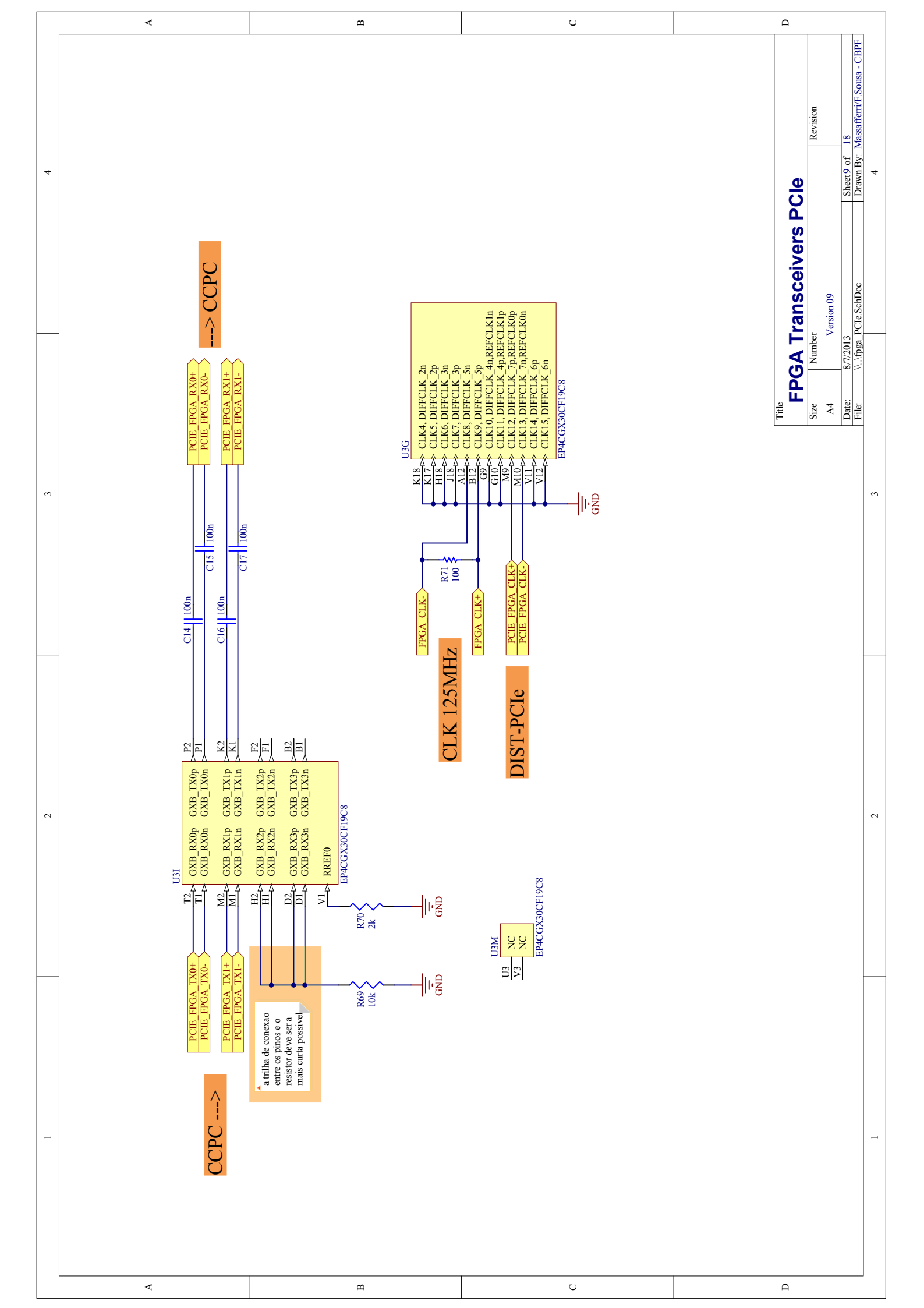


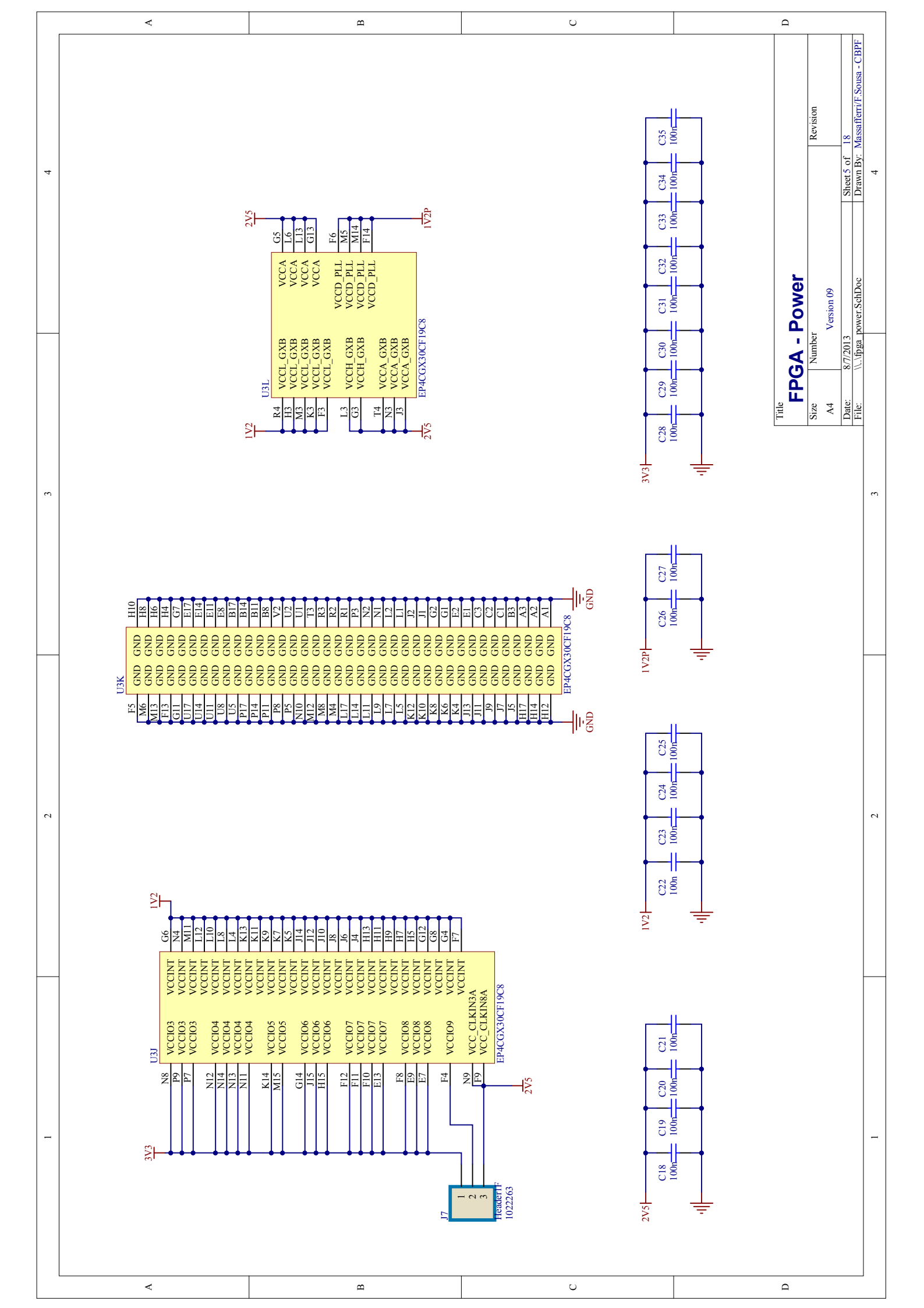


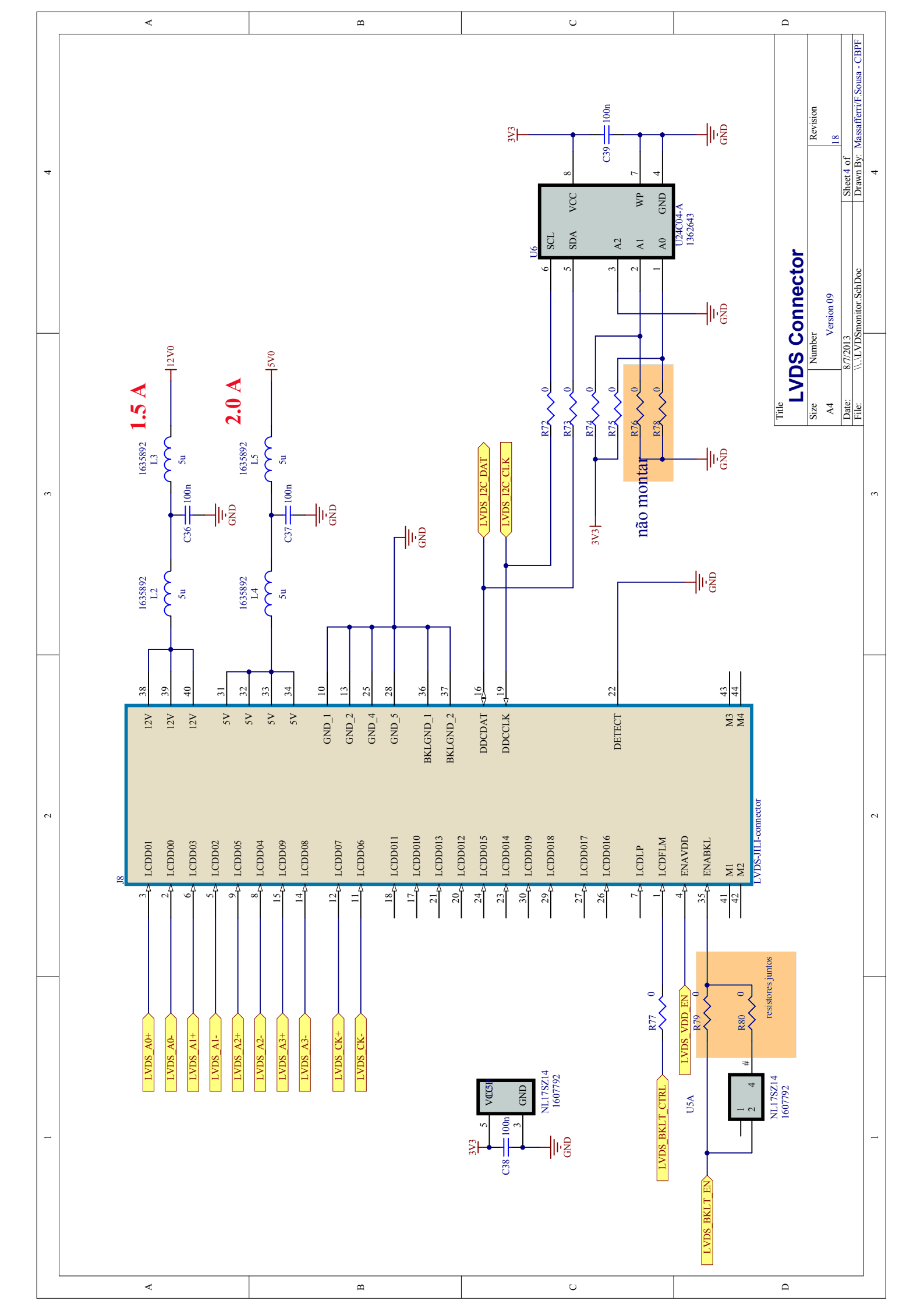


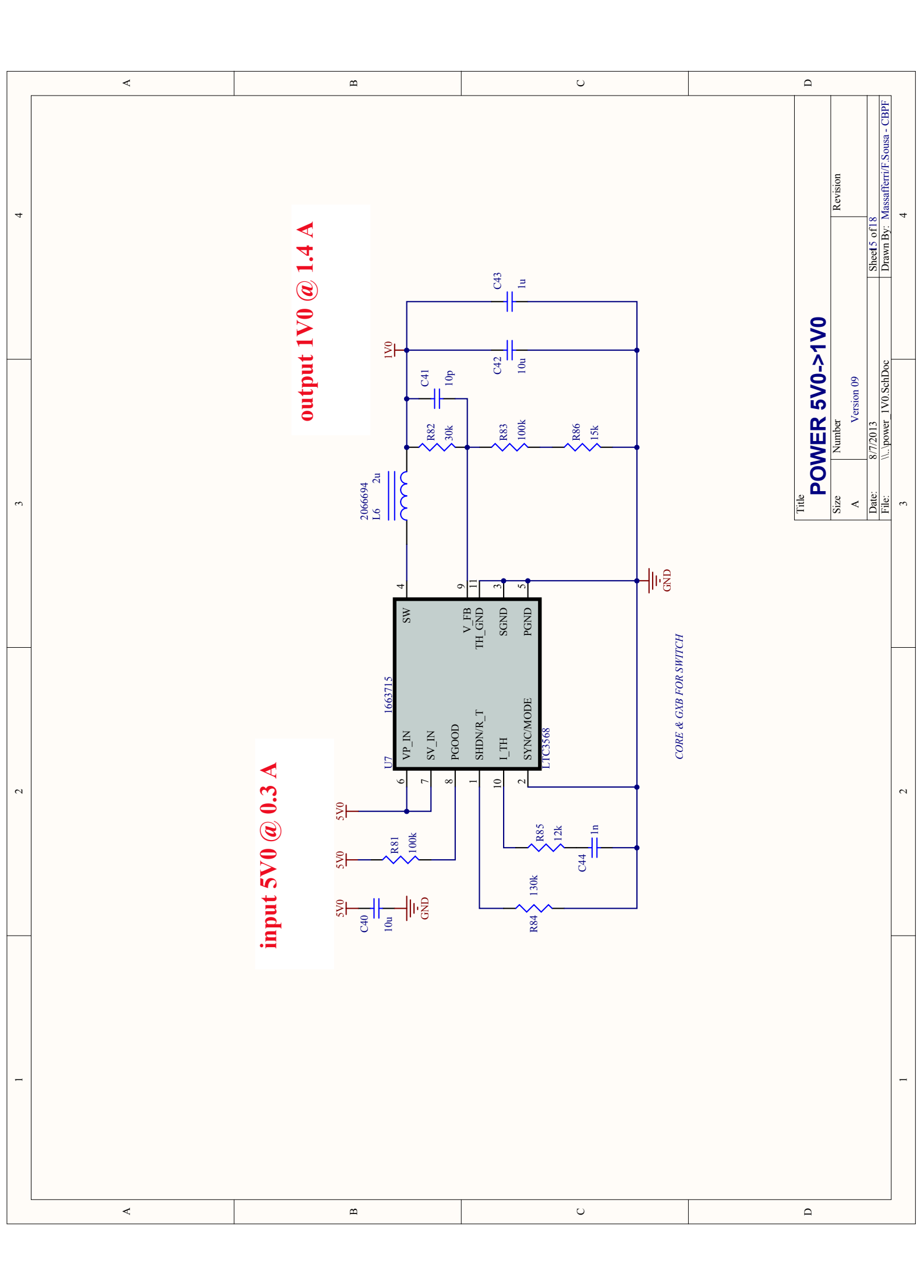


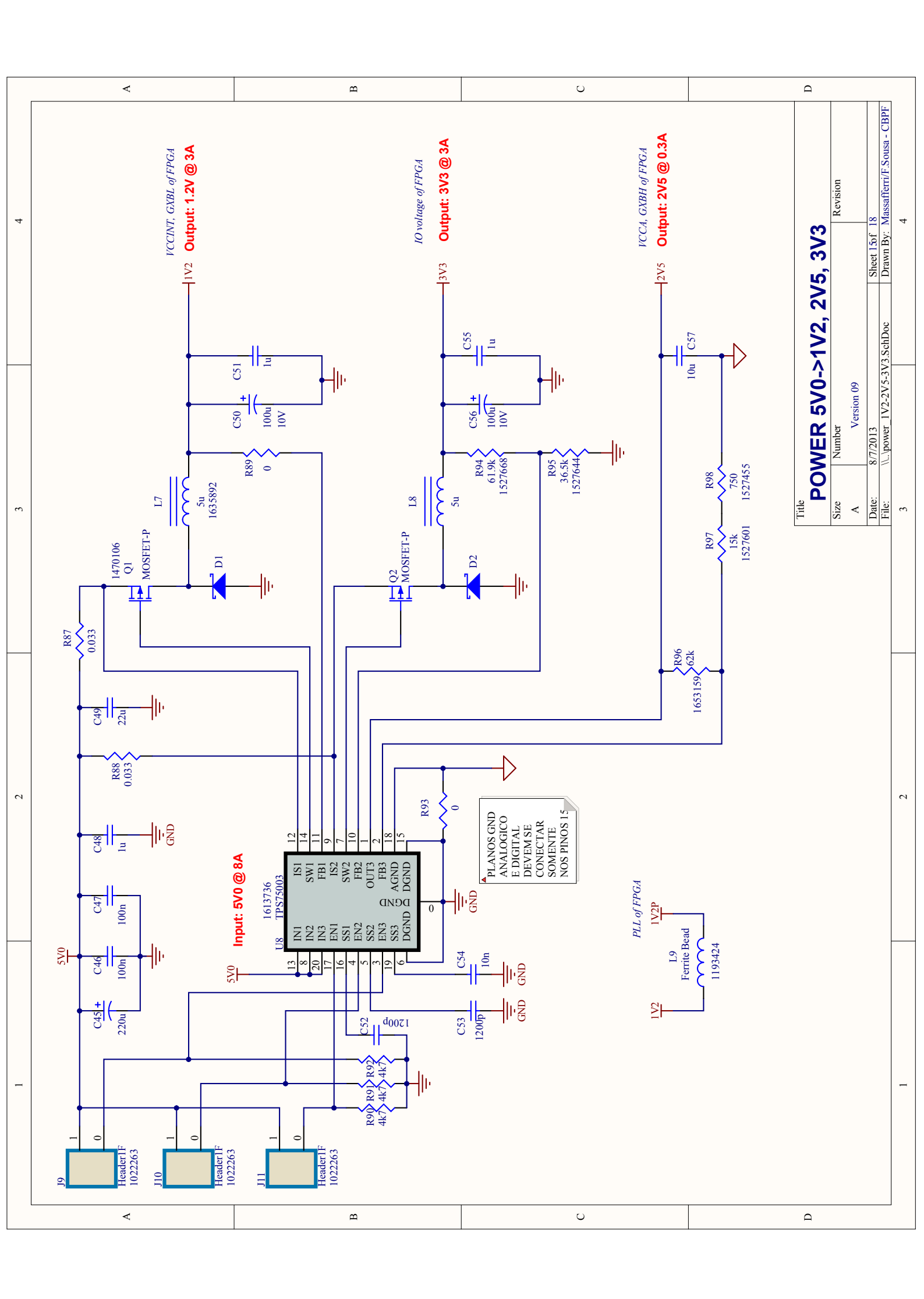


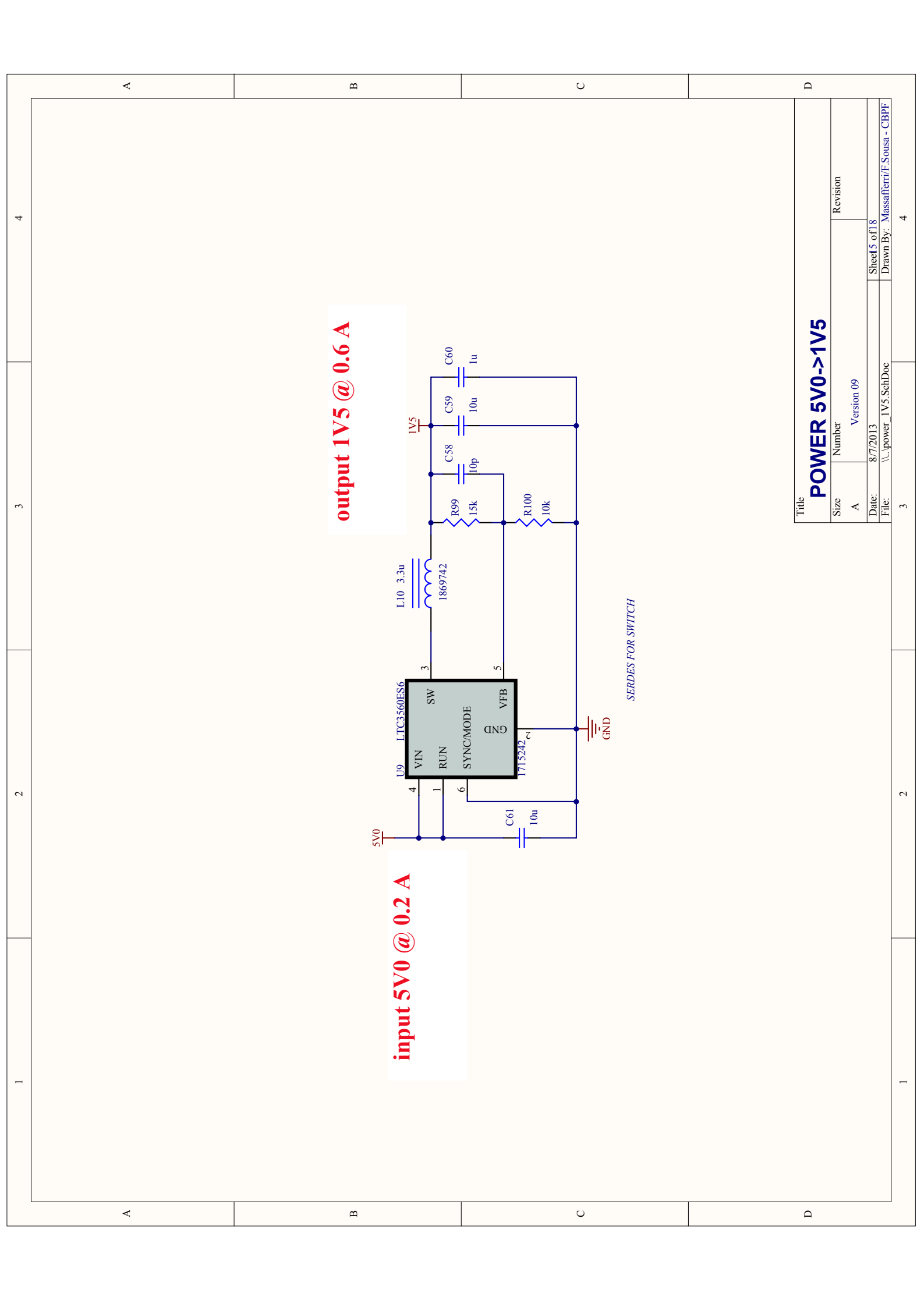


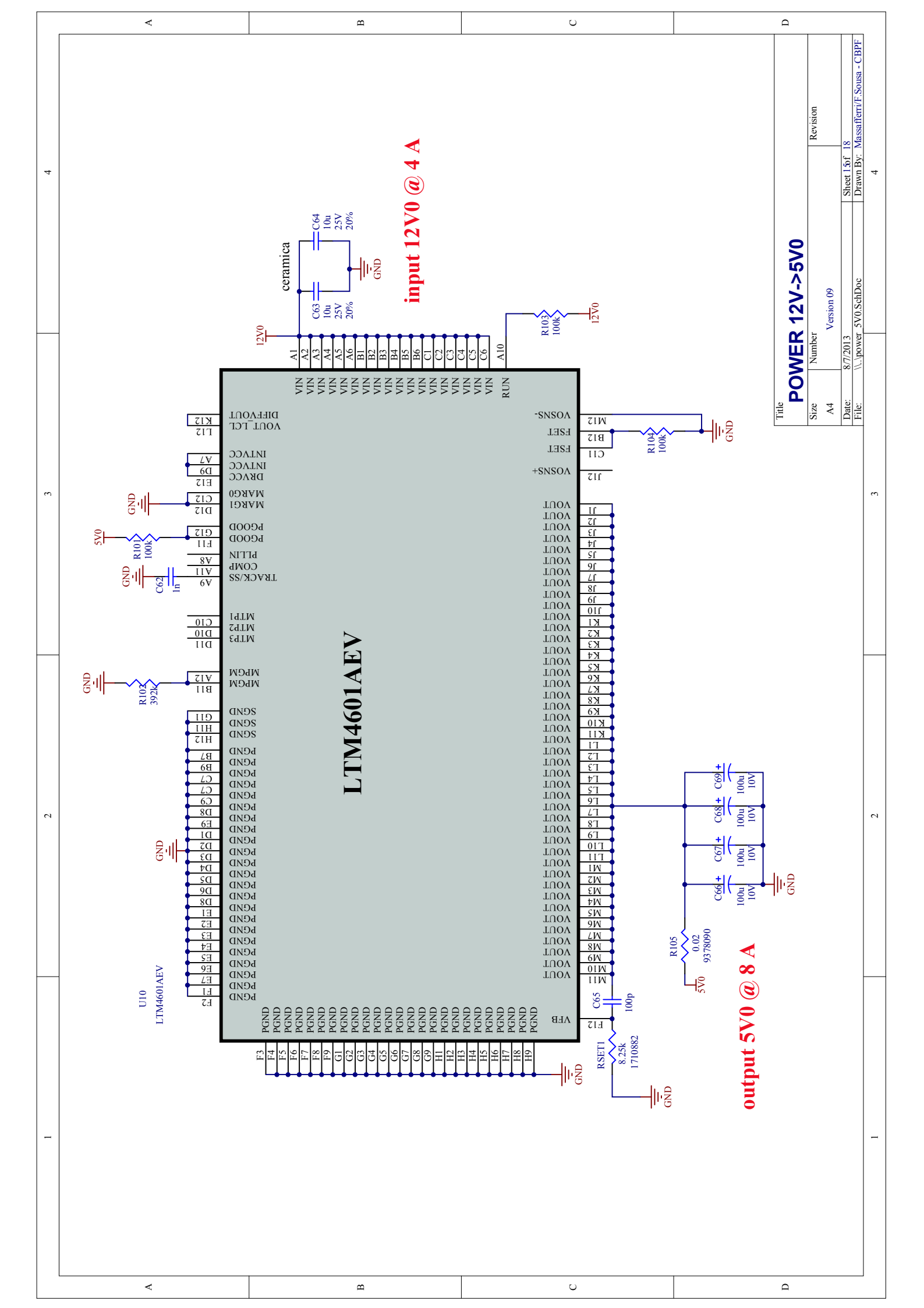


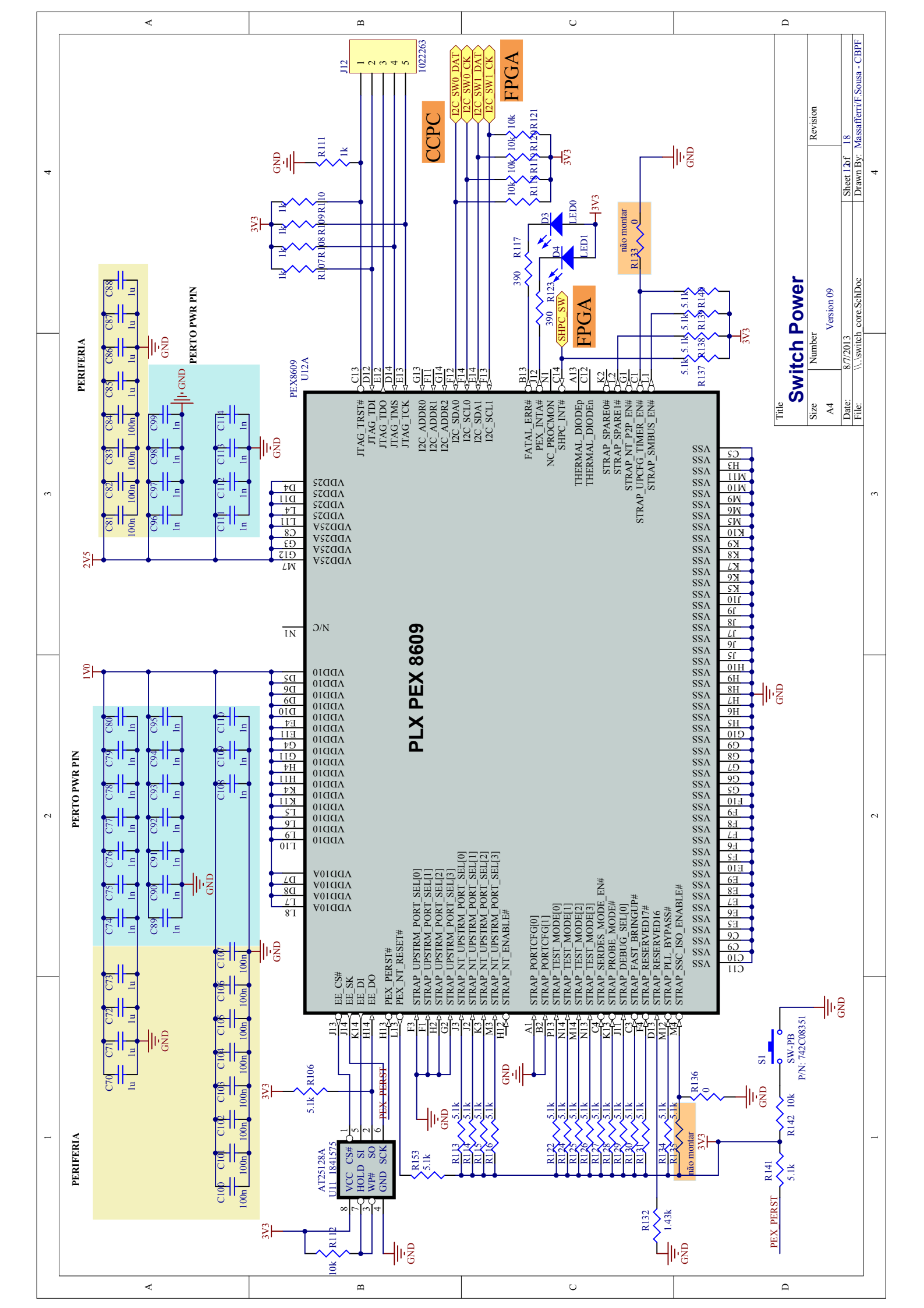


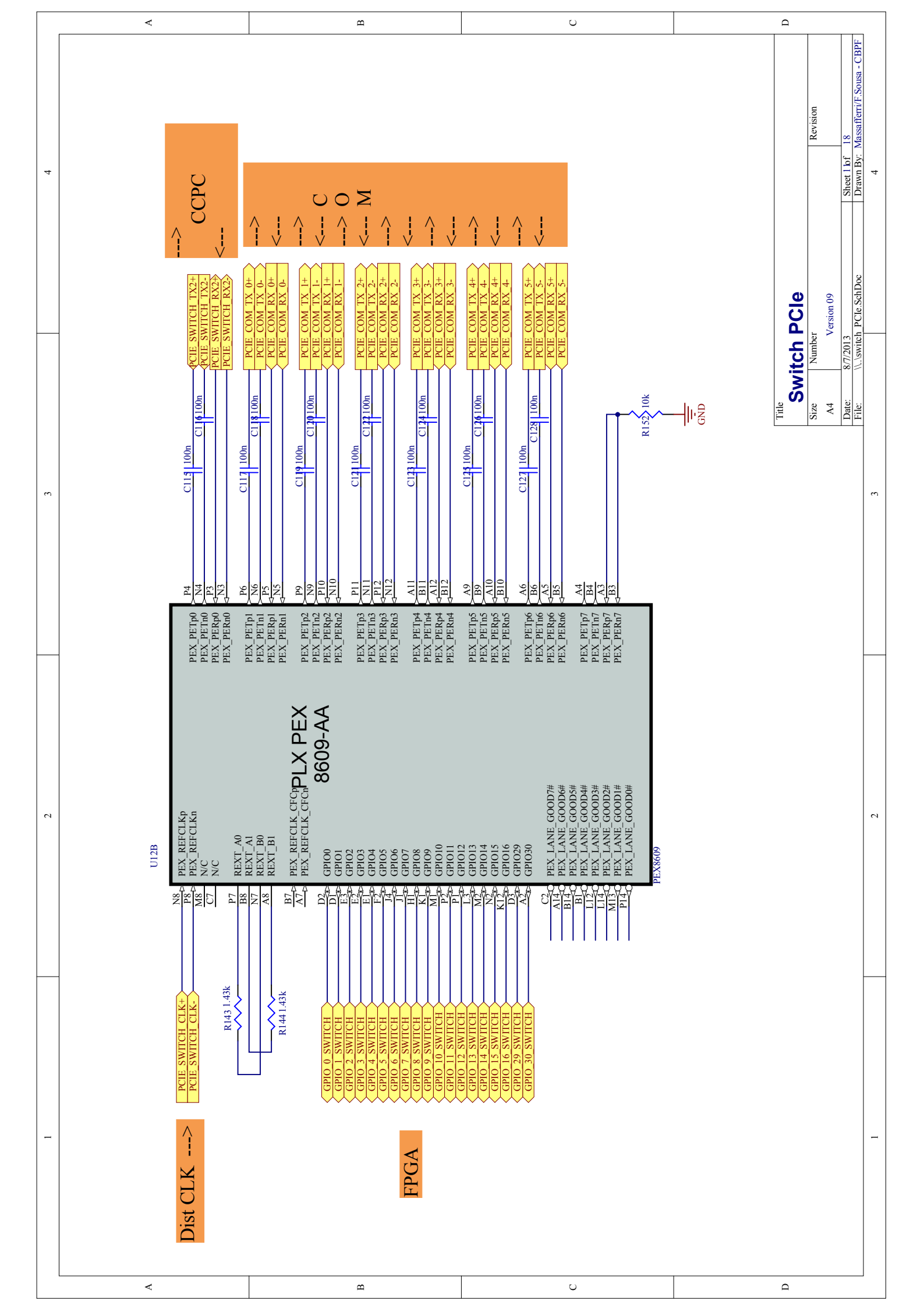


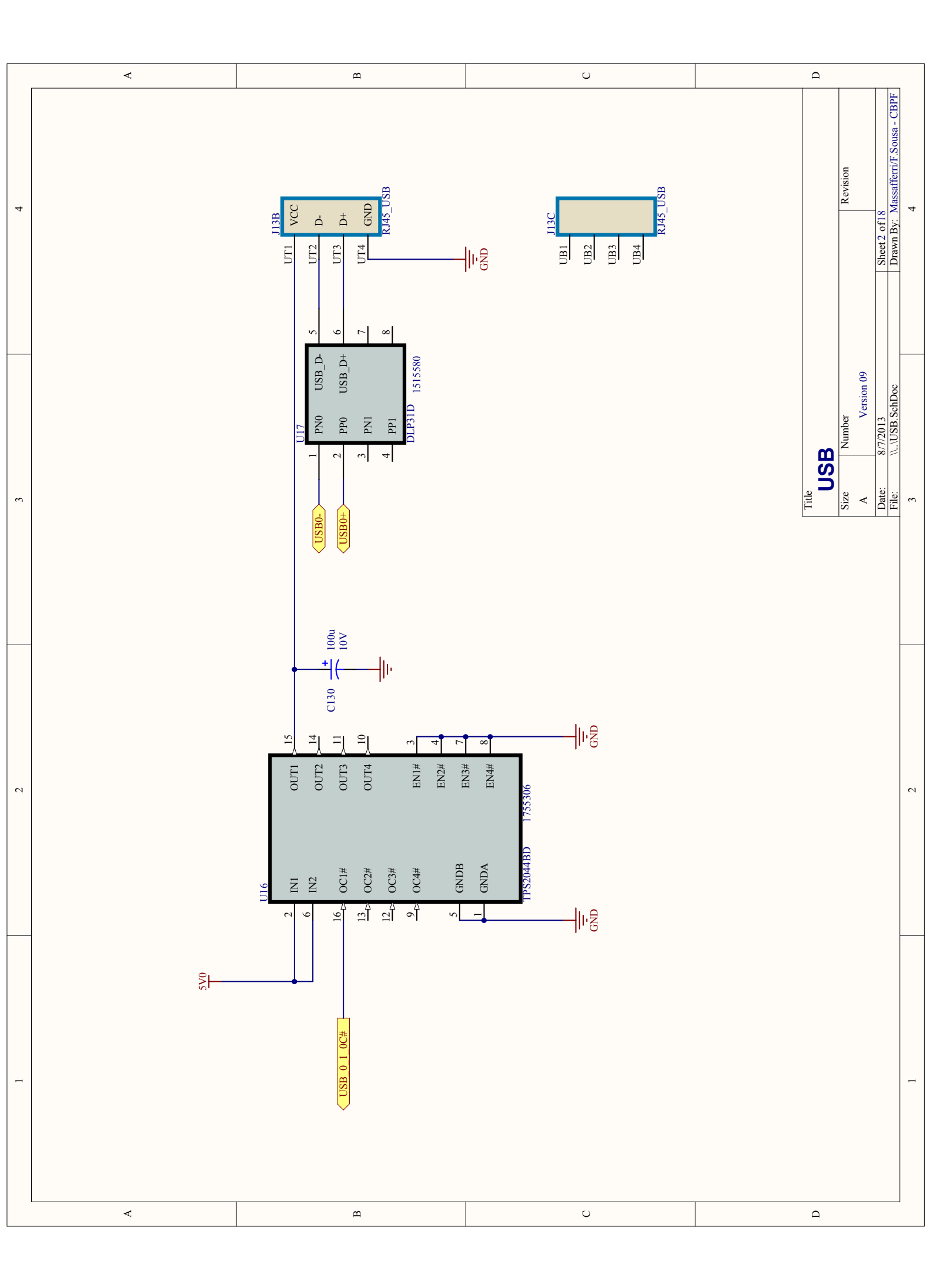


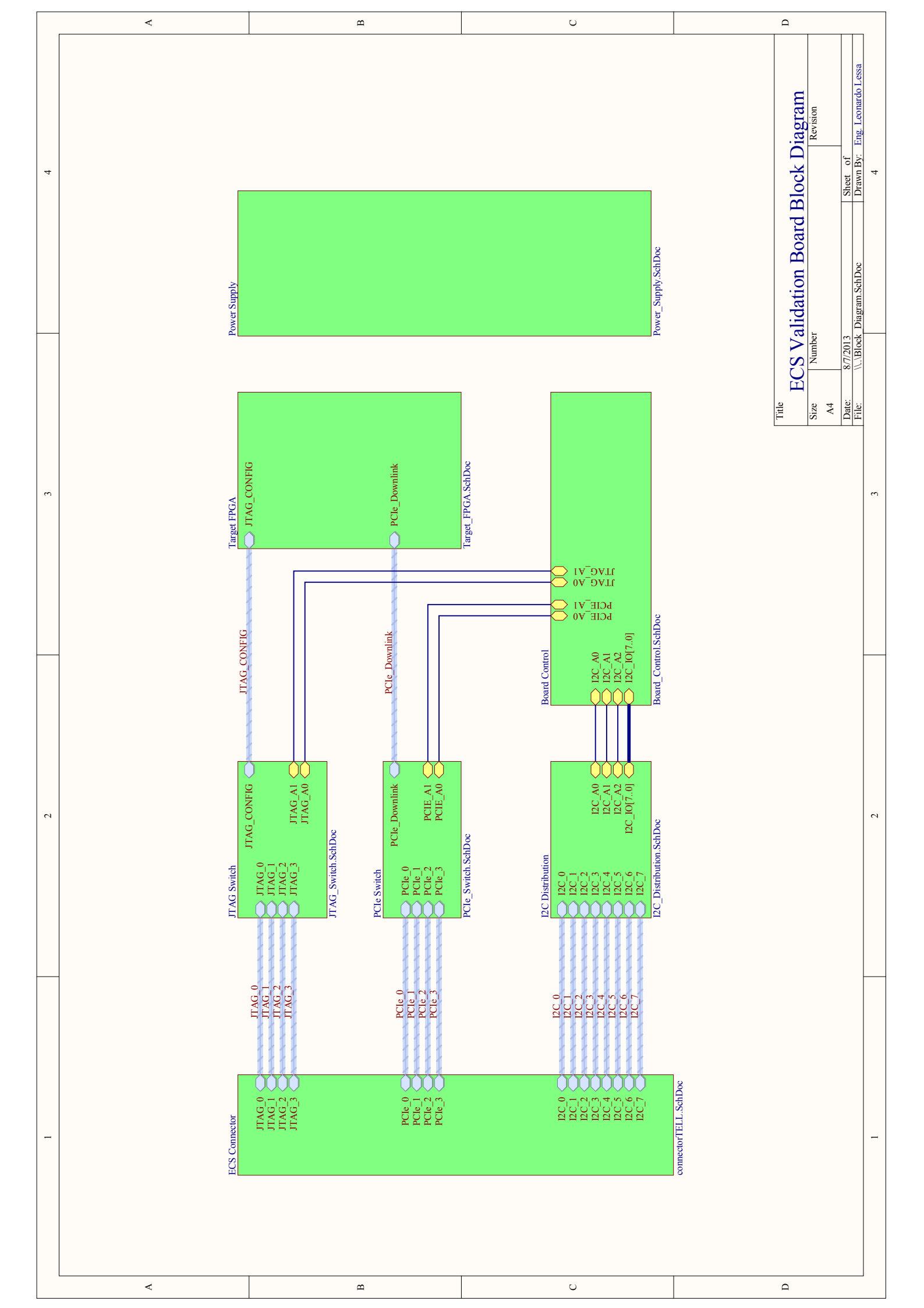


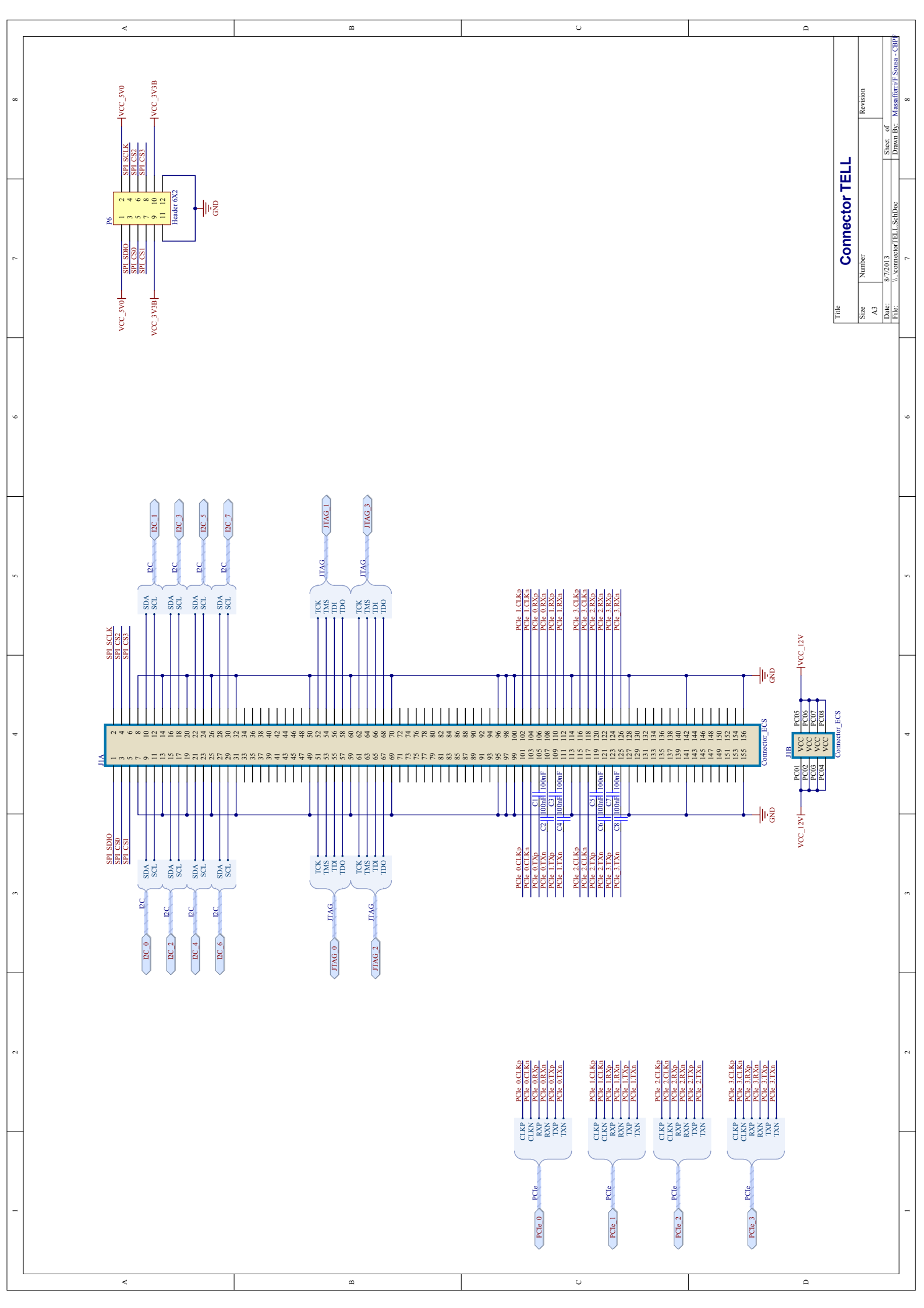


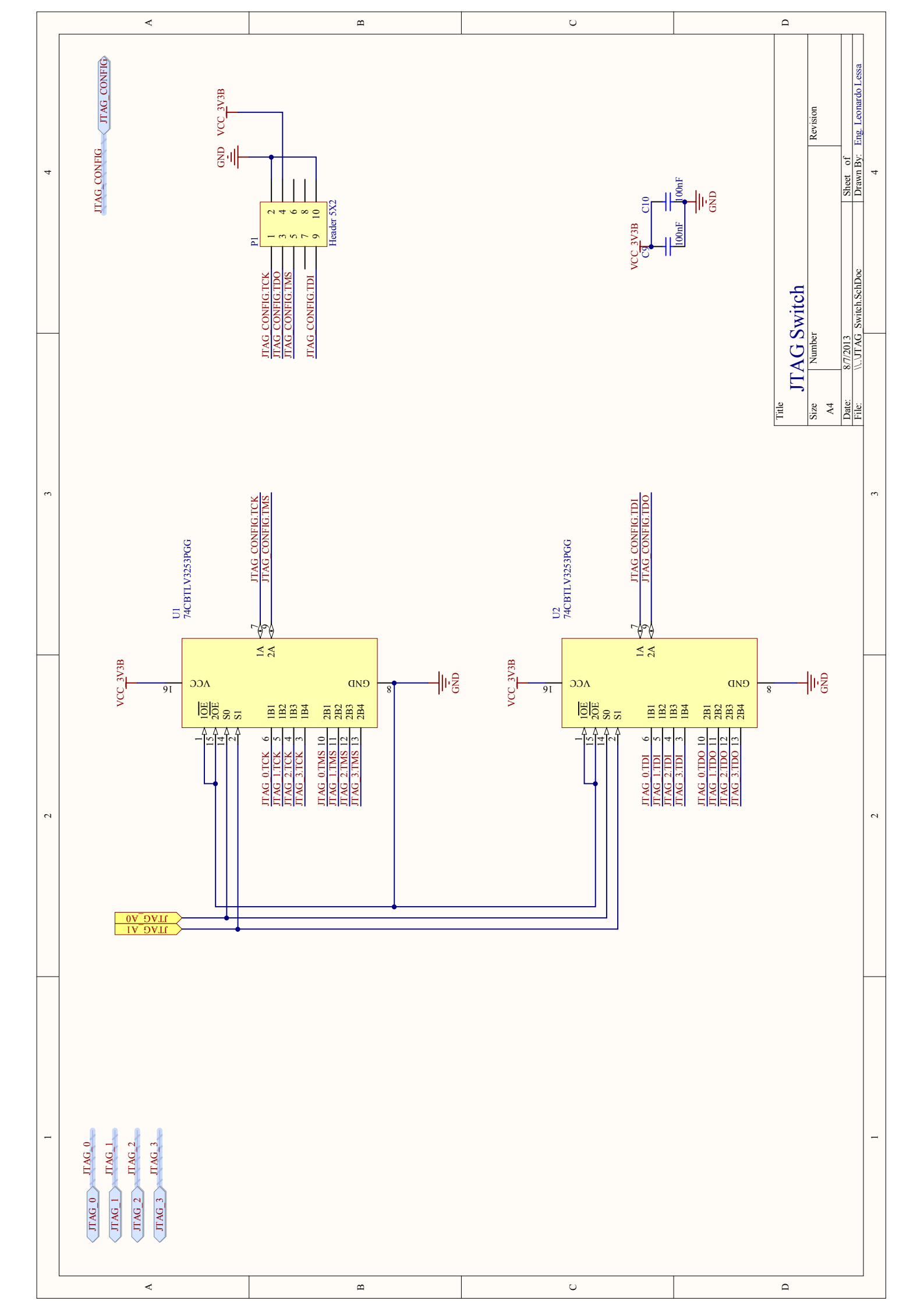


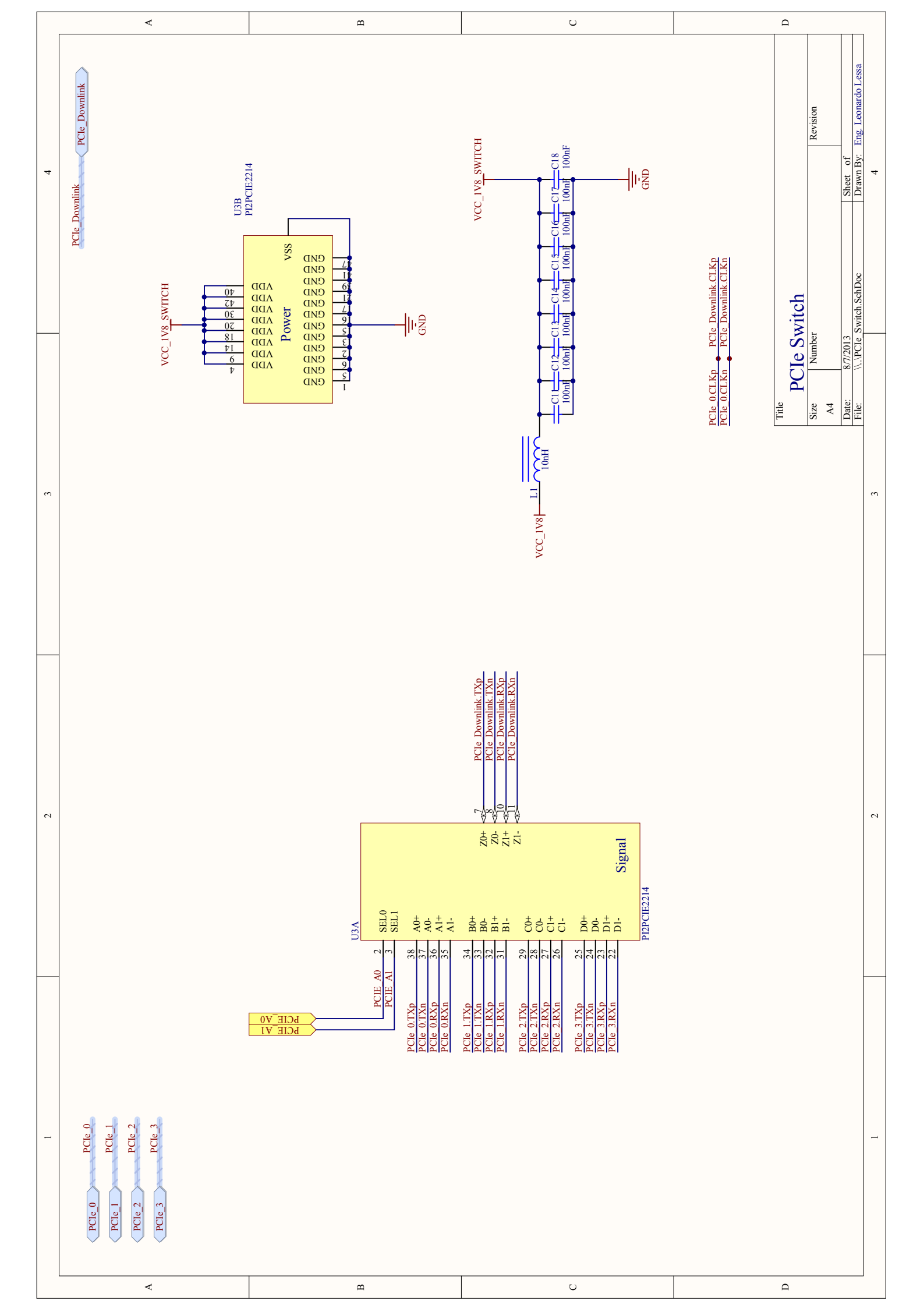


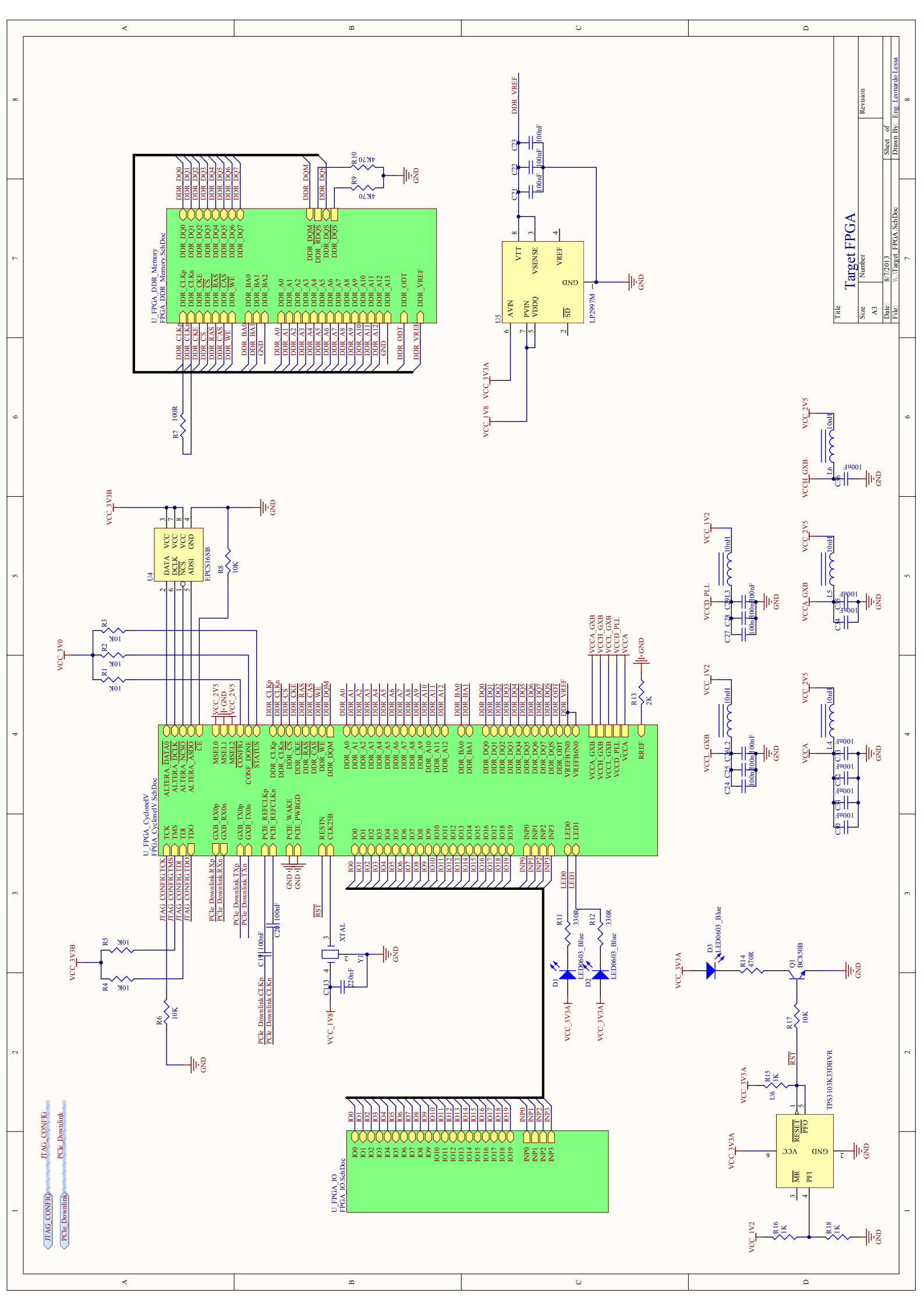


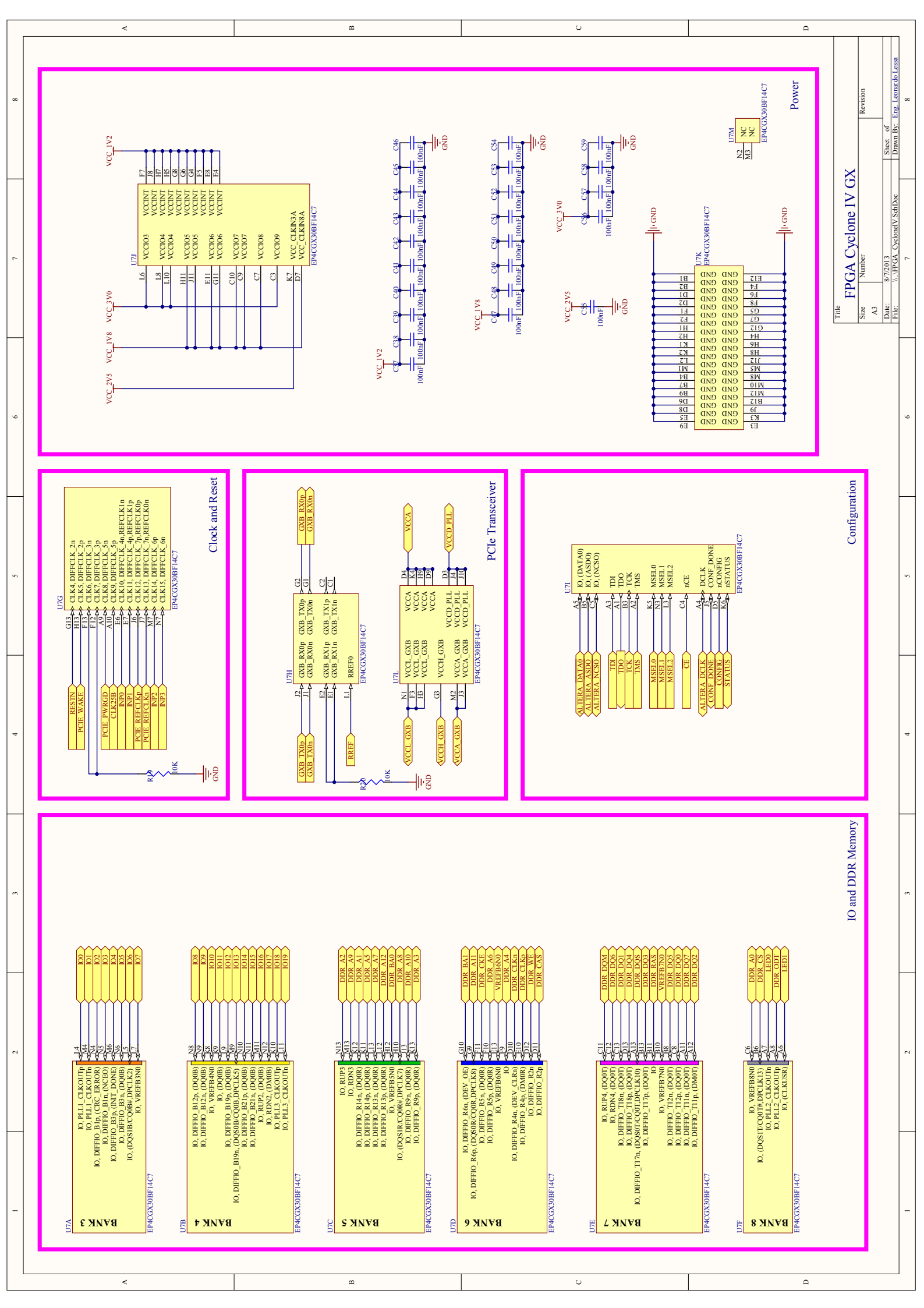


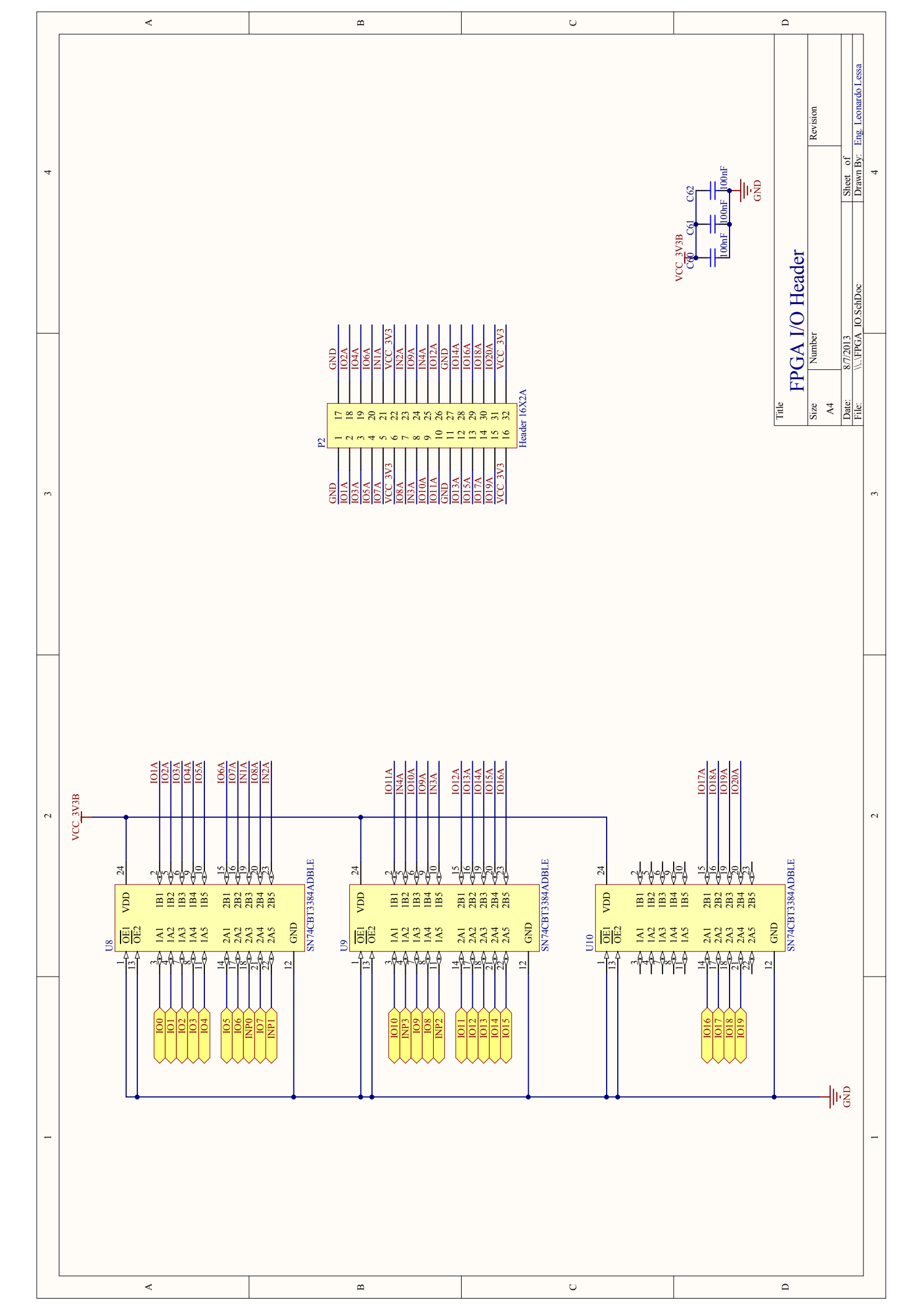


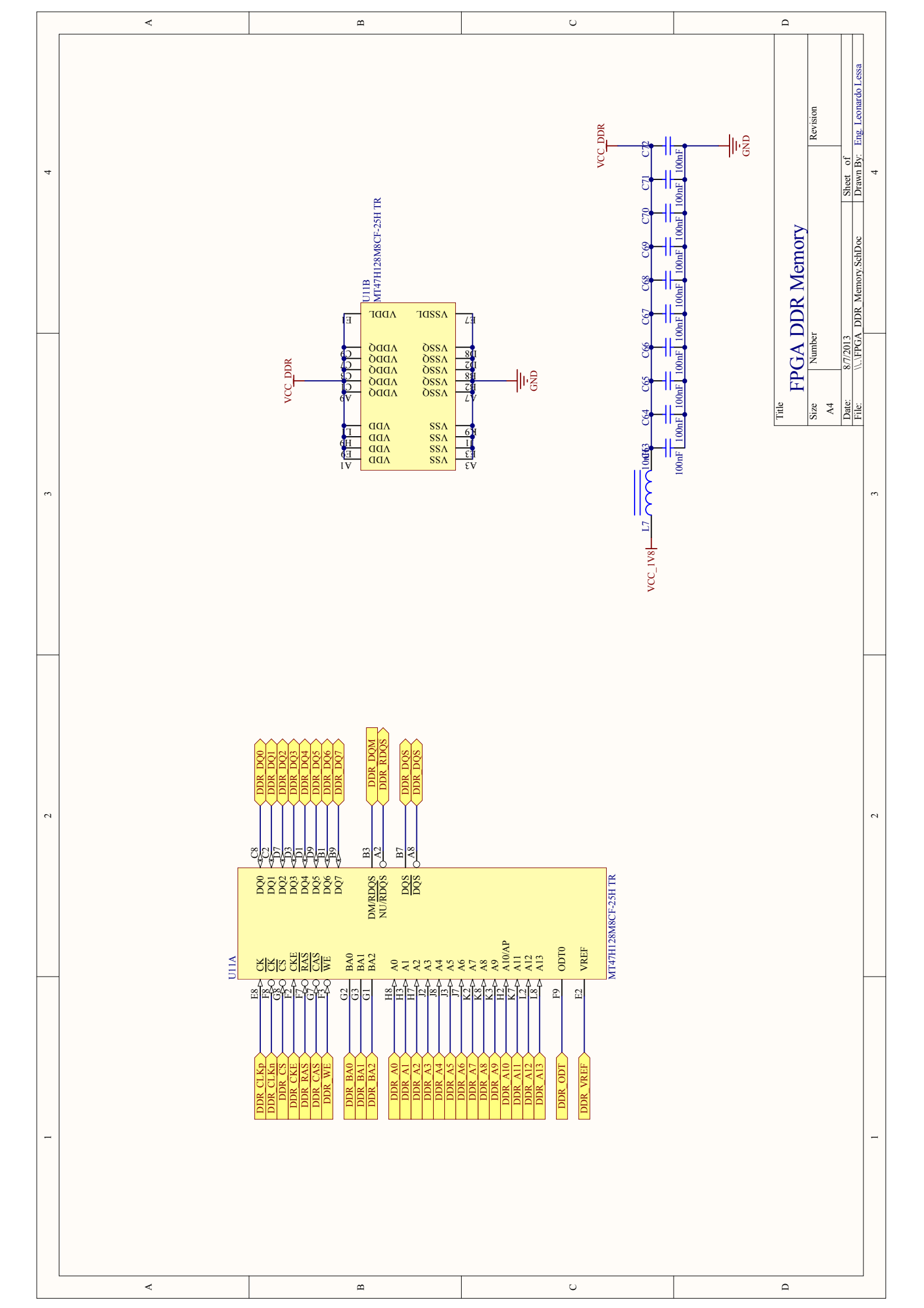


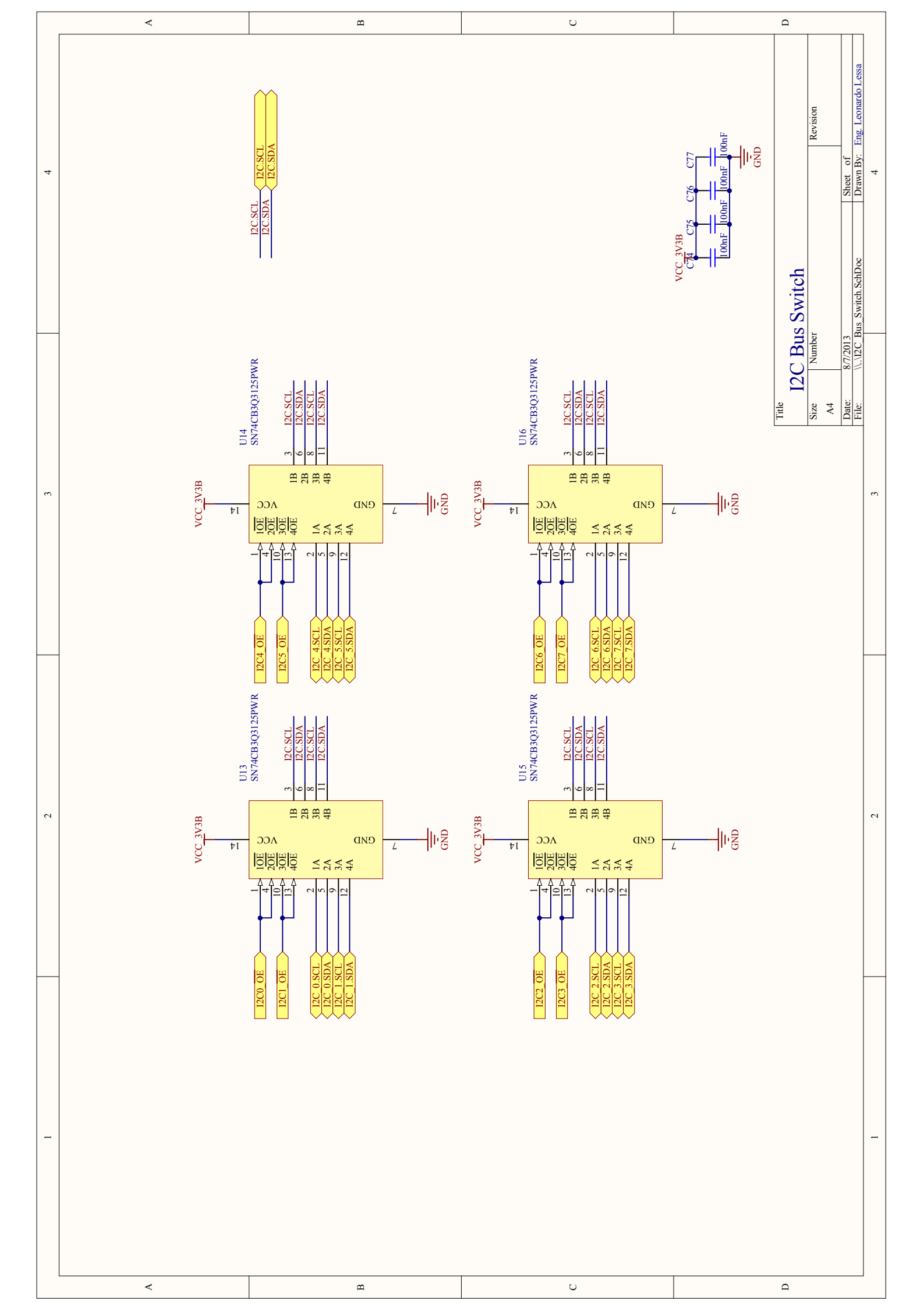


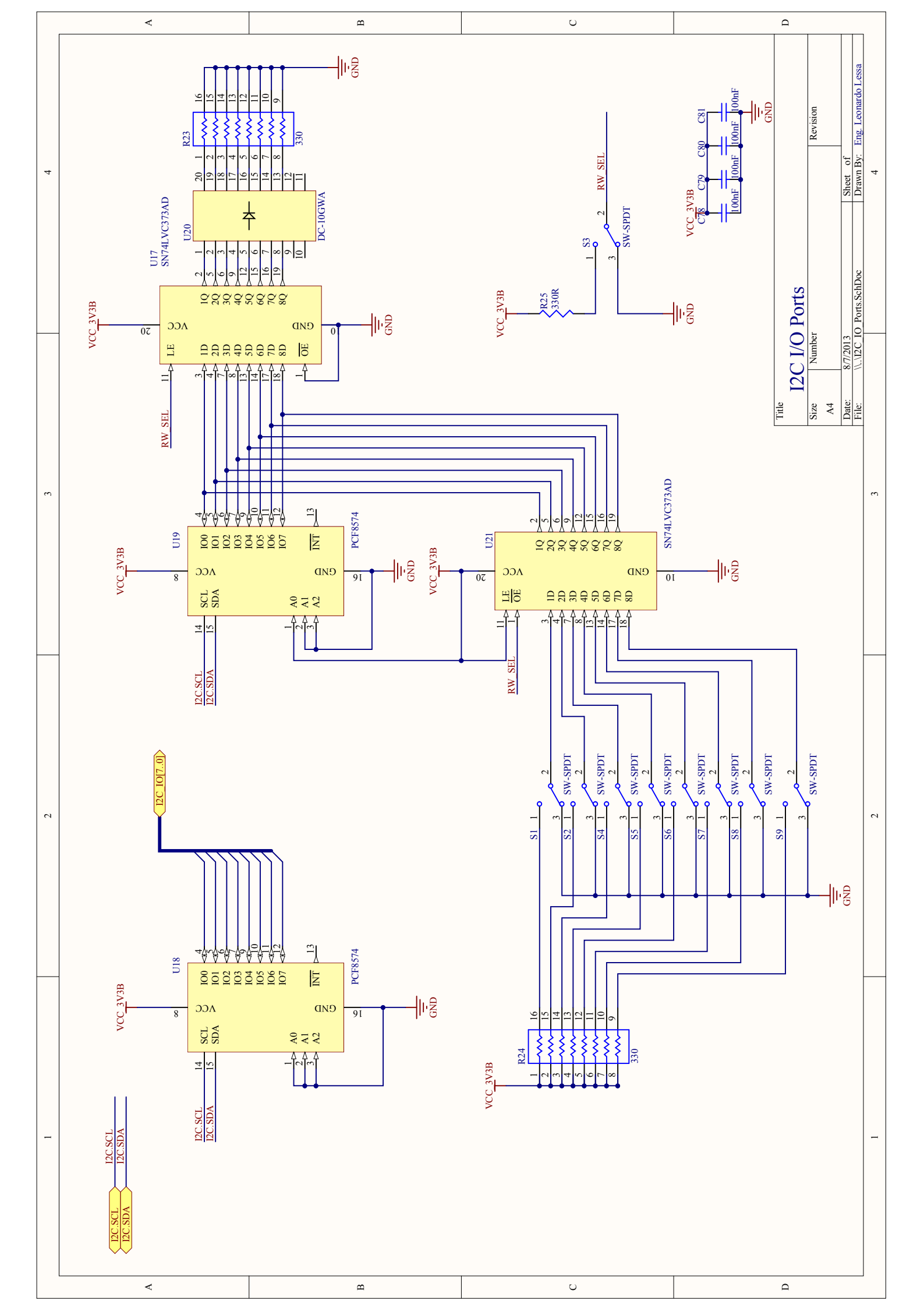


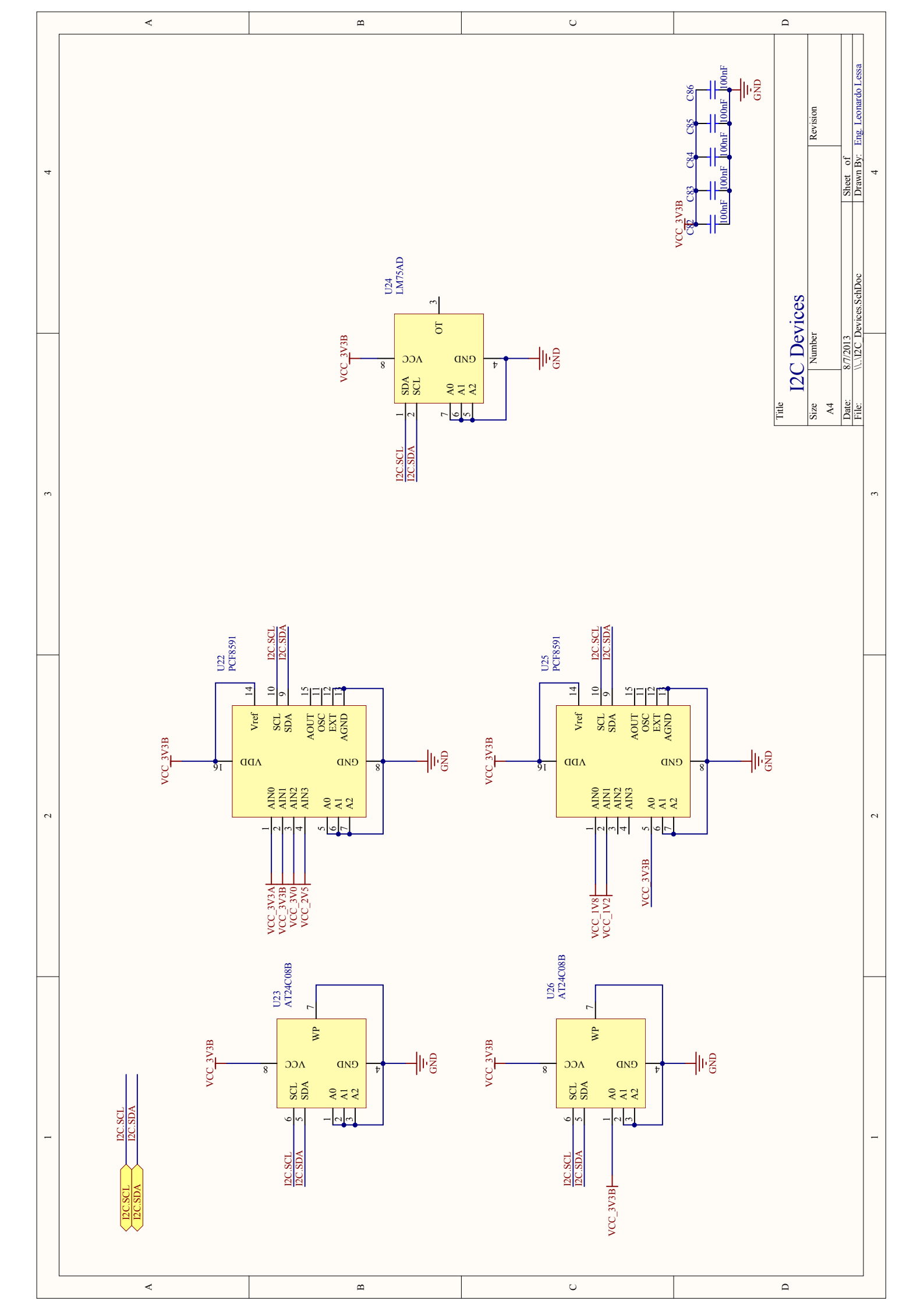


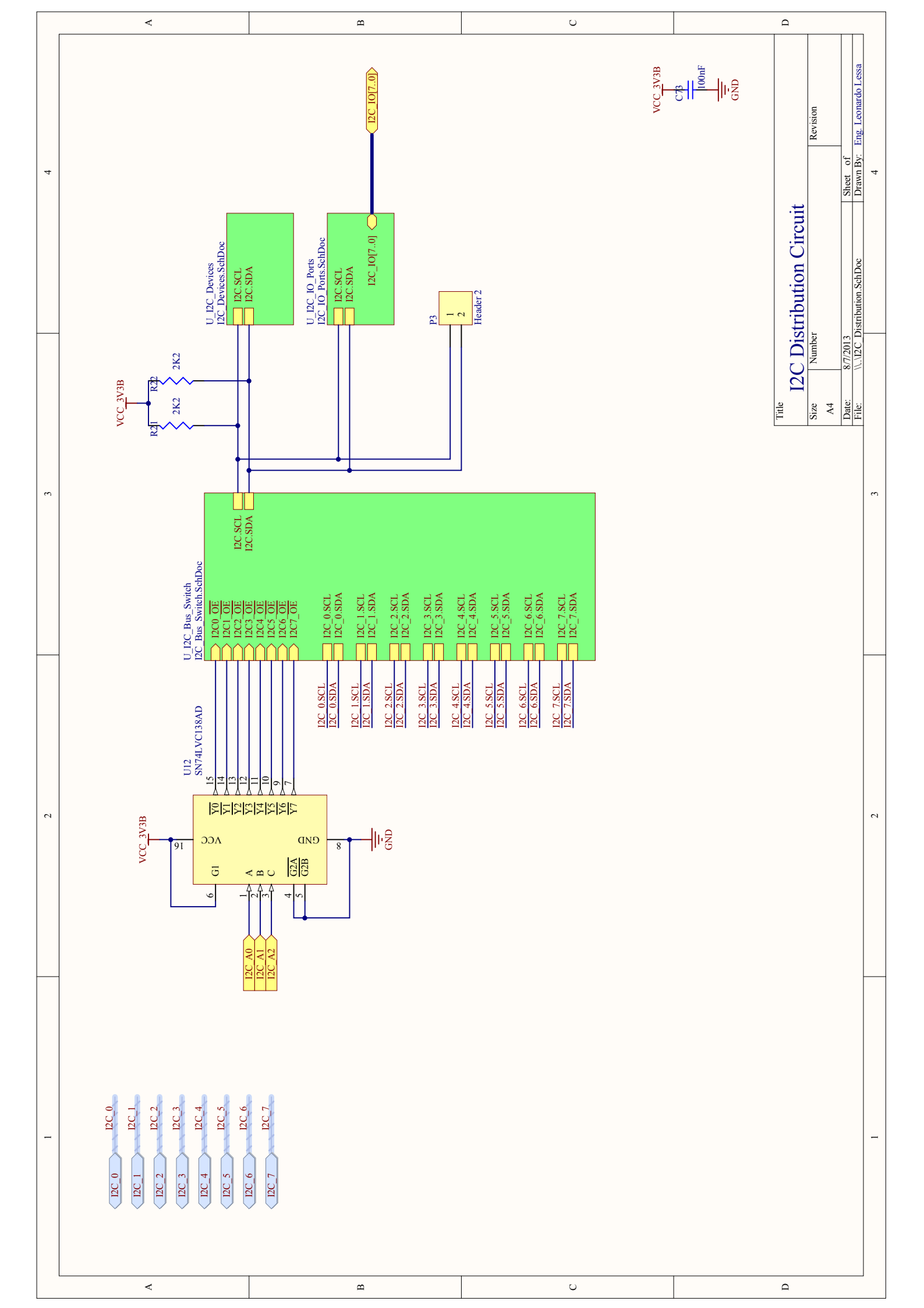


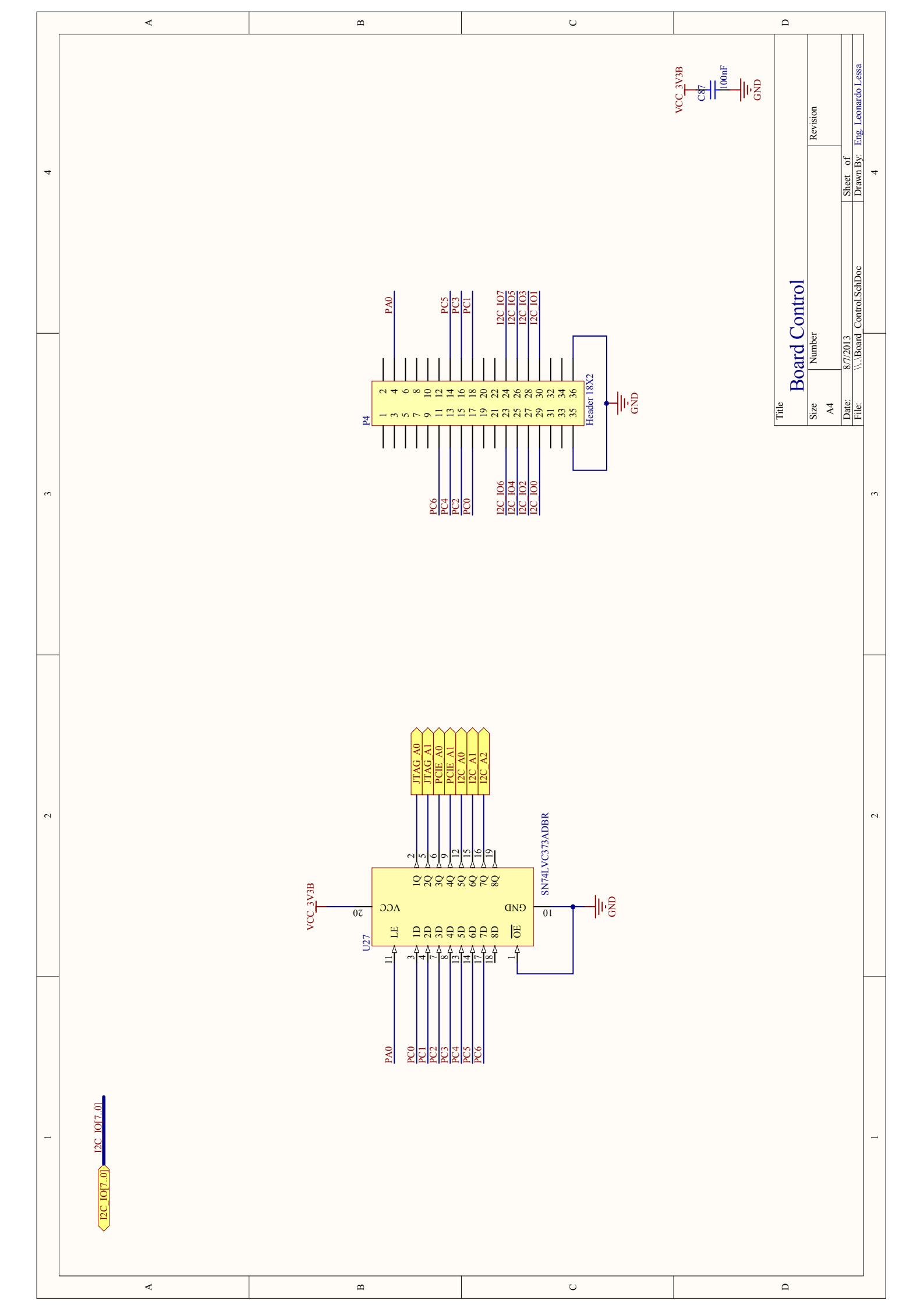


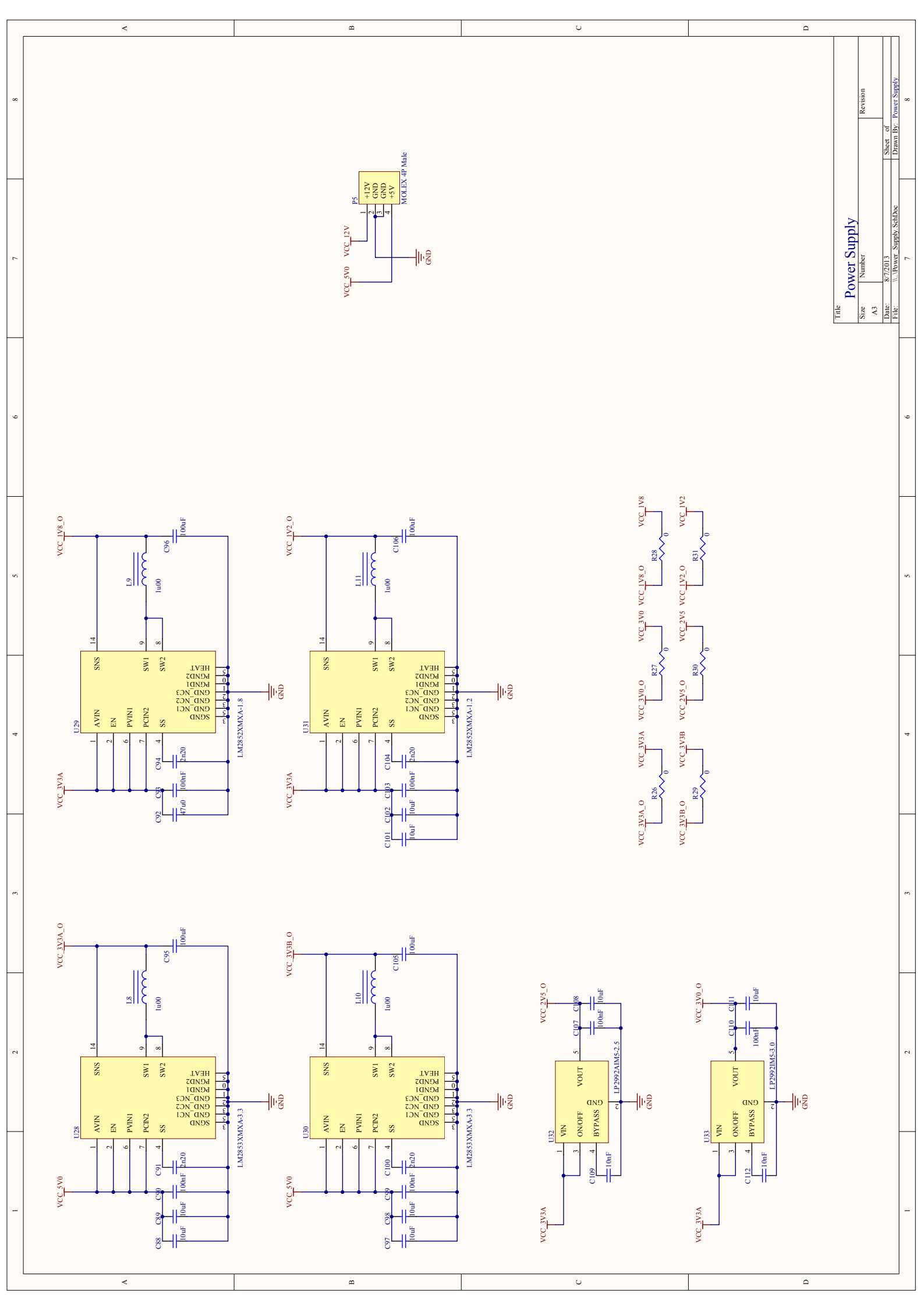












Apêndice B - Código Fonte

driver/pcie_ecs. driver/i2c-ocores.c driver/ecs_jtag.c app/adc_i2c.c app/temp_acq.sh

```
1
     #include <linux/kernel.h>
 2
     #include <linux/module.h>
 3
     #include <linux/pci.h>
 4
     #include <linux/interrupt.h>
 5
 6
     #include <linux/slab.h>
     #include <linux/init.h>
 7
8
9
     #include <linux/i2c.h>
10
     #include <linux/i2c-ocores.h>
     #include <linux/platform_device.h>
11
12
13
     #include "pcie_ecs.h"
     #include "ecs_jtag.h"
14
15
16
     static struct ocores_i2c *i2c;
17
     static struct ecs_jtag *jtag;
18
19
     static struct pci_device_id ecs_ids[] = {
         { PCI_DEVICE(MY_PCI_VENDOR_ID, MY_PCI_DEVICE_ID), },
2.0
2.1
         { 0, }
     };
22
23
24
     static struct ocores_i2c_platform_data ecs_i2c_data = {
25
         .regstep
                    = 8,
                                  /* eight bytes between registers */
26
         \cdot \operatorname{clock\_khz} = 50000,
                                 /* input clock of 50MHz */
27
     };
2.8
2.9
     static struct ecs_device *ecs_device;
     static struct resource i2c_resources[2];
30
31
     static struct platform_device *ecs_i2c;
32
33
     extern void ocores_process(struct ocores_i2c *);
34
     extern void init_jtag(struct ecs_jtag *);
35
     extern void rem_jtag(struct ecs_jtag *);
36
37
     MODULE_DEVICE_TABLE(pci, ecs_ids);
38
39
     static int ecs_i2c_init(struct ecs_device *ecs_device){
40
41
         int status, i;
42
43
         if (!(ecs_i2c = (struct platform_device *) kzalloc(sizeof(struct platform_device
     ), GFP_KERNEL))){
44
             status = -ENOMEM;
45
             return status;
46
         }
47
48
         i2c_resources[0].start = ecs_device->base_addr_bar0 + I2C_0_OFFT;
         i2c_resources[0].end = (i2c_resources[0].start + I2C_SIZE) - 1;
49
50
         i2c_resources[0].flags = IORESOURCE_MEM;
51
52
         i2c_resources[1].start = ecs_device->base_addr_bar0 + I2C_1_OFFT;
53
         i2c_resources[1].end = (i2c_resources[1].start + I2C_SIZE) - 1;
54
         i2c_resources[1].flags = IORESOURCE_MEM;
55
         ecs_i2c->name = "ocores-i2c";
56
```

```
57
          ecs_i2c->id = 0;
 58
          ecs_i2c->dev.platform_data = &ecs_i2c_data;
 59
          ecs_i2c->resource = i2c_resources;
 60
          ecs_i2c->num_resources = ARRAY_SIZE(i2c_resources);
 61
 62
          request_mem_region(ecs_device->base_addr_bar1, ecs_device->size_bar1, DRV_NAME);
 63
          ecs_device->cra = ioremap_nocache(ecs_device->base_addr_bar1 + CRA_OFFT, CRA_SIZE
      );
 64
 65
          status = platform_device_register(ecs_i2c);
 66
          if (!(i2c = (struct ocores_i2c *) kzalloc(sizeof(struct ocores_i2c) * ARRAY_SIZE(
 67
      i2c_resources), GFP_KERNEL))){
              status = -ENOMEM;
 68
 69
              return status;
 70
          }
 71
 72
          i2c = platform_get_drvdata(ecs_i2c);
 73
          for (i=0; i < ARRAY_SIZE(i2c_resources); i++){</pre>
 74
              printk(KERN_DEBUG "pcie_ecs: i2c drv [%d] addr: 0x%x\n", i, (unsigned int)&
      i2c[i]);
 75
          }
 76
 77
          return status;
 78
      }
 79
 80
      static int ecs_jtag_init(struct ecs_device *ecs_device){
 81
 82
          int status;
 83
 84
          if (!(jtag = (struct ecs_jtag *) kzalloc(sizeof(struct ecs_jtag), GFP_KERNEL))){
 85
              status = -ENOMEM;
 86
              return status;
 87
 88
 89
          jtag->start = ecs_device->base_addr_bar0 + PIO0_OFFT;
 90
          jtag->size = PIO0_SIZE;
 91
 92
 93
          // include an error handler
 94
          init_jtag(jtag);
 95
 96
          return 0;
 97
 98
      }
 99
100
      static irqreturn_t pcie_irq_handler(int irq, void *data){
101
102
103
          int ret;
104
105
          struct ecs_device *ecs_device = (struct ecs_device *)data;
          if (!ecs_device)
106
107
              return IRQ_NONE;
108
109
          // Disable IRQ From CRA
110
          iowrite32(0<<7, (u32*)(ecs_device->cra + CRA_IER));
```

```
111
112
          ret = ioread32(ecs_device->cra + CRA_ISR);
113
          ret = (ret & 0x3F00) >> 8;
114
      // printk (KERN_DEBUG "CRA Status : 0x%x\n", ret);
115
116
117
          if (ret == 1){
118
              ocores_process(&i2c[0]);
119
120
          if (ret == 2){
121
122
              ocores_process(&i2c[1]);
          }
123
124
125
      // printk (KERN_DEBUG "IRQ Handled\n");
126
127
          // Enable IRQ From CRA
128
          iowrite32(1<<7, (u32*)(ecs_device->cra + CRA_IER));
          return IRQ_HANDLED;
129
130
131
      }
132
      static int ecs_probe(struct pci_dev *dev, const struct pci_device_id *id) {
133
134
135
          int status;
136
137
          printk(KERN_DEBUG "\tProbing ECS Device\n");
138
          if (pci_enable_device(dev)) {
139
              printk(KERN_ERR "Failed to enable PCI device\n");
140
              status = -ENODEV;
141
              goto error_no_mem;
142
          }
143
144
          //Allocating a pointer on Kernel Space for ECS Device Driver
145
          if (!(ecs_device = (struct ecs_device *) kzalloc(sizeof(struct ecs_device),
      GFP_KERNEL))){
146
              status = -ENOMEM;
147
              goto error_no_mem;
148
          }
149
150
          strcpy(ecs_device->name, DRV_NAME);
          ecs_device->pci_dev = dev;
151
152
153
          if (!(pci_resource_start(dev, 0))) {
154
              printk(KERN_ERR "\t\tBAR0 disabled! Giving up.\n");
155
              status = -ENOMEM;
156
              goto error_base0;
          }
157
158
          if (!(pci_resource_start(dev, 1))) {
159
              printk(KERN_ERR "\t\tBAR1 disabled! Giving up.\n");
160
161
              status = -ENOMEM;
              goto error_base0;
162
163
          }
164
165
          ecs_device->base_addr_bar0 = pci_resource_start(dev, 0);
166
          ecs_device->size_bar0 = pci_resource_len(dev, 0);
```

```
167
          ecs_device->base_addr_bar1 = pci_resource_start(dev, 1);
168
          ecs_device->size_bar1 = pci_resource_len(dev, 1);
169
170
          printk(KERN_DEBUG "\t Base Address Register(BAR0) @ 0x%x\n\t Size of %u bytes\n",
171
                                       ecs_device->base_addr_bar0,
172
                                       ecs_device->size_bar0);
173
          printk(KERN_DEBUG "\t Base Address Register(BAR1) @ 0x%x\n\t Size of %u bytes\n",
174
175
                                       ecs_device->base_addr_bar1,
176
                                       ecs_device->size_bar1);
177
          request_irq(dev->irq, pcie_irq_handler, IRQF_SHARED, DRV_NAME, (void *)ecs_device
178
      );
179
          printk(KERN_DEBUG "Successfully requested IRQ #%d with dev_id 0x%p\n", dev->irq,
      ecs_device);
180
181
          ecs_i2c_init(ecs_device);
182
          ecs_jtag_init(ecs_device);
183
184
          // just a test with the timer
185
          request_mem_region(ecs_device->base_addr_bar0 + TIMER0_OFFT, TIMER0_SIZE ,
      DRV_NAME);
186
          ecs_device->timer0 = ioremap_nocache(ecs_device->base_addr_bar0 + TIMER0_OFFT,
      TIMERO SIZE);
187
188
          iowrite32(1<<7, (u32*)(ecs_device->cra + CRA_IER));
189
          iowrite16((u16)0x08, (u16*)(ecs_device->timer0 + TIMER0_CRR));
190
191
          return 0;
192
193
      error_no_mem:
194
          pci_disable_device(dev);
195
      error_base0:
196
          kfree(ecs_device);
197
          return 0;
198
199
200
      }
201
202
      static void ecs_remove(struct pci_dev *dev) {
203
204
          /* clean up any allocated resources and stuff here.
205
           * like call release_region();
206
2.07
208
          platform_device_del(ecs_i2c);
209
          rem_jtag(jtag);
          free_irq(dev->irq, ecs_device);
210
211
          iounmap(ecs_device->cra);
          pci disable device(dev);
212
213
          kfree(ecs_device);
214
215
      }
216
217
      static struct pci_driver pci_driver = {
218
          .name = DRV_NAME,
219
          .id_table = ecs_ids,
```

```
220
          .probe = ecs_probe,
221
          .remove = ecs_remove,
222
      };
223
224
     static int __init pcie_ecs_init(void) {
225
226
          printk(KERN_INFO "PCIe ECS Driver Loaded...\n");
227
          return pci_register_driver(&pci_driver);
228
      }
229
230
      static void __exit pcie_ecs_exit(void) {
231
          printk(KERN_INFO "PCIe ECS Driver Unloaded...\n");
232
233
          pci_unregister_driver(&pci_driver);
234
      }
235
      module_init(pcie_ecs_init);
236
237
      module_exit(pcie_ecs_exit);
238
239
      MODULE_AUTHOR("Leonardo Lessa <llessa@cbpf.br>");
      MODULE_DESCRIPTION("PCIe Driver for ECS Device");
240
      MODULE_LICENSE("GPL");
241
242
```

driver/i2c-ocores.c CBPF/CERN - Leonardo Lessa

```
1
     /*
 2
      * i2c-ocores.c: I2C bus driver for OpenCores I2C controller
 3
      * (http://www.opencores.org/projects.cgi/web/i2c/overview).
 4
 5
      * Peter Korsgaard <jacmet@sunsite.dk>
 6
 7
      * This file is licensed under the terms of the GNU General Public License
      * version 2. This program is licensed "as is" without any warranty of any
8
9
      * kind, whether express or implied.
10
      * Modified by Leonardo Lessa <llessa@cern.ch> for CBPF ECS
11
12
13
14
      * /
15
     #include <linux/kernel.h>
16
17
     #include <linux/module.h>
     #include <linux/init.h>
18
     #include <linux/errno.h>
19
     #include <linux/platform_device.h>
20
     #include <linux/i2c.h>
2.1
22
     #include <linux/interrupt.h>
23
     #include <linux/wait.h>
     #include <linux/i2c-ocores.h>
2.4
     #include <asm/io.h>
25
26
27
    struct ocores_i2c {
         void __iomem *base;
28
29
         int regstep;
         wait_queue_head_t wait;
30
31
         struct i2c_adapter adap;
32
         struct i2c_msg *msg;
33
         int pos;
34
         int nmsgs;
         int state; /* see STATE_ */
35
36
         int clock_khz;
37
     };
38
39
     /* registers */
40
     #define OCI2C_PRELOW
41
     #define OCI2C_PREHIGH
     #define OCI2C_CONTROL
42
                                  2
43
     #define OCI2C_DATA
                             3
                             4 /* write only */
44
     #define OCI2C_CMD
45
     #define OCI2C_STATUS
                                 4 /* read only, same address as OCI2C_CMD */
46
47
                                 0x40
     #define OCI2C CTRL IEN
48
     #define OCI2C_CTRL_EN
                                  0x80
49
50
     #define OCI2C_CMD_START
                                  0x91
51
     #define OCI2C_CMD_STOP
                                  0x41
52
     #define OCI2C_CMD_READ
                                  0x21
53
     #define OCI2C_CMD_WRITE
                                  0x11
54
     #define OCI2C_CMD_READ_ACK 0x21
55
     #define OCI2C_CMD_READ_NACK 0x29
56
     #define OCI2C_CMD_IACK
                                  0x01
57
```

driver/i2c-ocores.c CBPF/CERN - Leonardo Lessa

```
58
      #define OCI2C_STAT_IF
                                   0x01
 59
      #define OCI2C_STAT_TIP
                                   0x02
 60
      #define OCI2C_STAT_ARBLOST
                                   0x20
      #define OCI2C_STAT_BUSY
 61
                                   0 \times 40
      #define OCI2C_STAT_NACK
                                   0x80
 62
 63
      #define STATE_DONE
 64
      #define STATE START
 65
 66
      #define STATE_WRITE
 67
      #define STATE_READ
                               3
 68
      #define STATE_ERROR
 69
 70
      static inline void oc_setreg(struct ocores_i2c *i2c, int reg, u8 value)
 71
          iowrite8(value, i2c->base + reg * i2c->regstep);
 72
 73
      }
 74
 75
      static inline u8 oc_getreg(struct ocores_i2c *i2c, int reg)
 76
 77
          return ioread8(i2c->base + reg * i2c->regstep);
 78
      }
 79
 80
      static void ocores_process(struct ocores_i2c *i2c)
 81
 82
          struct i2c_msg *msg = i2c->msg;
 83
          u8 stat = oc_getreg(i2c, OCI2C_STATUS);
 84
          if ((i2c->state == STATE_DONE) || (i2c->state == STATE_ERROR)) {
 85
 86
              /* stop has been sent */
 87
              oc_setreg(i2c, OCI2C_CMD, OCI2C_CMD_IACK);
 88
              wake_up(&i2c->wait);
 89
              return;
 90
          }
 91
          /* error? */
 92
 93
          if (stat & OCI2C_STAT_ARBLOST) {
 94
              i2c->state = STATE_ERROR;
 95
              oc_setreg(i2c, OCI2C_CMD, OCI2C_CMD_STOP);
 96
              return;
 97
          }
 98
 99
          if ((i2c->state == STATE_START) || (i2c->state == STATE_WRITE)) {
100
              i2c->state =
101
                   (msg->flags & I2C_M_RD) ? STATE_READ : STATE_WRITE;
102
103
              if (stat & OCI2C_STAT_NACK) {
104
                  i2c->state = STATE_ERROR;
105
                  oc_setreg(i2c, OCI2C_CMD, OCI2C_CMD_STOP);
106
                  return;
              }
107
108
          } else
109
              msg->buf[i2c->pos++] = oc_getreg(i2c, OCI2C_DATA);
110
111
          /* end of msq? */
112
          if (i2c->pos == msg->len) {
113
              i2c->nmsgs--;
114
              i2c->msg++;
```

```
115
              i2c - pos = 0;
116
              msg = i2c->msg;
117
              if (i2c->nmsgs) { /* end? */
118
119
                   /* send start? */
120
                  if (!(msg->flags & I2C_M_NOSTART)) {
121
                       u8 addr = (msg->addr << 1);
122
123
                       if (msg->flags & I2C_M_RD)
124
                           addr = 1;
125
126
                       i2c->state = STATE_START;
127
128
                       oc_setreg(i2c, OCI2C_DATA, addr);
129
                       oc_setreg(i2c, OCI2C_CMD, OCI2C_CMD_START);
130
                       return;
                  } else
131
132
                       i2c->state = (msg->flags & I2C_M_RD)
133
                           ? STATE_READ : STATE_WRITE;
              } else {
134
135
                  i2c->state = STATE_DONE;
136
                  oc_setreg(i2c, OCI2C_CMD, OCI2C_CMD_STOP);
137
                  return;
138
              }
          }
139
140
141
          if (i2c->state == STATE_READ) {
              oc_setreg(i2c, OCI2C_CMD, i2c->pos == (msg->len-1) ?
142
143
                    OCI2C_CMD_READ_NACK : OCI2C_CMD_READ_ACK);
144
          } else {
145
              oc_setreg(i2c, OCI2C_DATA, msg->buf[i2c->pos++]);
146
              oc_setreg(i2c, OCI2C_CMD, OCI2C_CMD_WRITE);
147
          }
148
149
      }
150
151
      EXPORT_SYMBOL(ocores_process);
152
153
154
      static irgreturn_t ocores_isr(int irg, void *dev_id)
155
156
          struct ocores_i2c *i2c = dev_id;
157
158
          ocores_process(i2c);
159
160
          return IRQ_HANDLED;
      }
161
      * /
162
163
      static int ocores_xfer(struct i2c_adapter *adap, struct i2c_msg *msgs, int num)
164
165
166
          struct ocores_i2c *i2c = i2c_get_adapdata(adap);
167
168
          i2c->msg = msgs;
169
          i2c - pos = 0;
170
          i2c->nmsgs = num;
171
          i2c->state = STATE_START;
```

```
172
173
          oc_setreg(i2c, OCI2C_DATA,
174
                  (i2c->msg->addr << 1)
175
                  ((i2c->msg->flags & I2C_M_RD) ? 1:0));
176
177
          oc_setreg(i2c, OCI2C_CMD, OCI2C_CMD_START);
178
          if (wait_event_timeout(i2c->wait, (i2c->state == STATE_ERROR) | |
179
180
                          (i2c->state == STATE_DONE), HZ))
181
              return (i2c->state == STATE_DONE) ? num : -EIO;
182
          else
183
              return -ETIMEDOUT;
      }
184
185
186
      static void ocores_init(struct ocores_i2c *i2c)
187
188
          int prescale;
189
          u8 ctrl = oc_getreg(i2c, OCI2C_CONTROL);
190
          /* make sure the device is disabled */
191
          oc_setreg(i2c, OCI2C_CONTROL, ctrl & ~(OCI2C_CTRL_EN OCI2C_CTRL_IEN));
192
193
194
          prescale = (i2c->clock_khz / (5*100))-1;
          oc_setreg(i2c, OCI2C_PRELOW, prescale & Oxff);
195
196
          oc_setreg(i2c, OCI2C_PREHIGH, prescale >> 8);
197
          /* Init the device */
198
          oc_setreg(i2c, OCI2C_CMD, OCI2C_CMD_IACK);
199
200
          oc_setreg(i2c, OCI2C_CONTROL, ctrl | OCI2C_CTRL_IEN | OCI2C_CTRL_EN);
201
202
      }
203
204
205
      static u32 ocores_func(struct i2c_adapter *adap)
206
          return I2C_FUNC_I2C | I2C_FUNC_SMBUS_EMUL;
207
208
      }
209
210
      static const struct i2c_algorithm ocores_algorithm = {
211
          .master_xfer
                         = ocores_xfer,
212
          .functionality = ocores_func,
213
      };
214
215
      static struct i2c_adapter ocores_adapter = {
216
                      = THIS_MODULE,
          .owner
217
          name
                      = "i2c-ocores",
218
          .class
                      = I2C_CLASS_HWMON | I2C_CLASS_SPD,
219
                      = &ocores_algorithm,
          .algo
220
      };
221
222
223
      static int __devinit ocores_i2c_probe(struct platform_device *pdev)
224
      {
225
226
          struct ocores_i2c *i2c;
227
          struct ocores_i2c_platform_data *pdata;
228
          struct resource **res;
```

```
229
          int ret, i;
230
231
          if(!(res = (struct resource **) kzalloc(sizeof(struct resource *) * pdev->
      num_resources, GFP_KERNEL))){
              ret = -ENOMEM;
232
233
              return ret;
234
          }
235
236
          if(!(i2c = (struct ocores_i2c *) kzalloc(sizeof(struct ocores_i2c) * pdev->
      num_resources, GFP_KERNEL))){
237
              ret = -ENOMEM;
238
              return ret;
239
          }
240
241
          platform_set_drvdata(pdev, i2c);
242
243
          pdata = (struct ocores_i2c_platform_data*) pdev->dev.platform_data;
244
          if (!pdata)
245
              return -ENODEV;
246
2.47
248
          for(i=0; i<pdev->num_resources; i++) {
249
              res[i] = platform_get_resource(pdev, IORESOURCE_MEM, i);
250
251
              if (!res[i])
252
                  return -ENODEV;
253
254
              if (!request_mem_region(res[i]->start, resource_size(res[i]),
2.55
                      pdev->name)) {
256
                  dev_err(&pdev->dev, "Memory region busy\n");
257
                  ret = -EBUSY;
                  goto request_mem_failed;
258
259
              }
260
261
              i2c[i].base = ioremap_nocache(res[i]->start, resource_size(res[i]));
262
              if (!i2c[i].base) {
                  dev_err(&pdev->dev, "Unable to map registers\n");
263
264
                  ret = -EIO;
265
                  goto map_failed;
266
              }
267
268
              i2c[i].regstep = pdata->regstep;
269
              i2c[i].clock_khz = pdata->clock_khz;
270
              ocores_init(&i2c[i]);
2.71
272
              init_waitqueue_head(&i2c[i].wait);
273
274
              printk(KERN_DEBUG "i2c_ocores: i2c drv addr: 0x%x\n",(unsigned int)&i2c[i]);
275
276
              i2c[i].adap = ocores_adapter;
              i2c_set_adapdata(&i2c[i].adap, &i2c[i]);
277
278
              i2c[i].adap.dev.parent = &pdev->dev;
2.79
280
              ret = i2c_add_adapter(&i2c[i].adap);
281
              if (ret) {
                  dev_err(&pdev->dev, "Failed to add adapter\n");
282
283
              }
```

```
284
          }
285
286
          for (i = 0; i < pdata->num_devices; i++)
287
2.88
              i2c_new_device(&i2c->adap, pdata->devices + i);
289
290
          return 0;
291
292
      map_failed:
293
          release_mem_region(res[i]->start, resource_size(res[i]));
294
      request_mem_failed:
295
          kfree(i2c);
296
297
          return ret;
298
299
300
      }
301
302
      static int __devexit ocores_i2c_remove(struct platform_device* pdev)
303
304
          struct ocores_i2c *i2c = platform_get_drvdata(pdev);
305
          struct resource *res;
306
          int i;
307
308
          /* disable i2c logic */
309
          oc_setreg(i2c, OCI2C_CONTROL, oc_getreg(i2c, OCI2C_CONTROL)
310
                & ~(OCI2C_CTRL_EN|OCI2C_CTRL_IEN));
311
312
          /* remove adapter & data */
313
314
          for(i=0; i<pdev->num_resources; i++) {
315
              i2c_del_adapter(&i2c[i].adap);
316
          }
317
318
          platform_set_drvdata(pdev, NULL);
319
320
          iounmap(i2c->base);
321
          for(i=0; i<pdev->num_resources; i++) {
322
323
              res = platform_get_resource(pdev, IORESOURCE_MEM, i);
324
              if (res)
325
                  release_mem_region(res->start, resource_size(res));
326
          }
327
328
          kfree(i2c);
329
330
          return 0;
331
      }
332
      #ifdef CONFIG PM
333
334
      static int ocores_i2c_suspend(struct platform_device *pdev, pm_message_t state)
335
          struct ocores_i2c *i2c = platform_get_drvdata(pdev);
336
337
          u8 ctrl = oc_getreg(i2c, OCI2C_CONTROL);
338
339
          /* make sure the device is disabled */
340
          oc_setreg(i2c, OCI2C_CONTROL, ctrl & ~(OCI2C_CTRL_EN|OCI2C_CTRL_IEN));
```

```
341
342
          return 0;
343
      }
344
      static int ocores_i2c_resume(struct platform_device *pdev)
345
346
          struct ocores_i2c *i2c = platform_get_drvdata(pdev);
347
348
349
          ocores_init(i2c);
350
351
          return 0;
352
      }
353
      #else
354
      #define ocores_i2c_suspend NULL
355
      #define ocores_i2c_resume
                                   NULL
      #endif
356
357
      /* work with hotplug and coldplug */
358
      MODULE_ALIAS("platform:ocores-i2c");
359
360
361
      static struct platform_driver ocores_i2c_driver = {
362
          .probe = ocores_i2c_probe,
363
          .remove = __devexit_p(ocores_i2c_remove),
          .suspend = ocores_i2c_suspend,
364
365
          .resume = ocores_i2c_resume,
366
          .driver = {
367
              .owner = THIS_MODULE,
              .name = "ocores-i2c",
368
369
          },
370
      };
371
372
      static int __init ocores_i2c_init(void)
373
      {
374
          printk(KERN_DEBUG "I2C ocores driver loaded\n");
375
          return platform_driver_register(&ocores_i2c_driver);
      }
376
377
378
      static void __exit ocores_i2c_exit(void)
379
380
          platform_driver_unregister(&ocores_i2c_driver);
381
      }
382
383
      module_init(ocores_i2c_init);
384
      module_exit(ocores_i2c_exit);
385
386
      MODULE_AUTHOR("Peter Korsgaard <jacmet@sunsite.dk>");
      MODULE_DESCRIPTION("OpenCores I2C bus driver");
387
388
      MODULE_LICENSE("GPL");
389
```

driver/ecs_jtag.c CBPF/CERN - Leonardo Lessa

```
1
     #include <linux/kernel.h>
 2
     #include <linux/init.h>
 3
     #include <linux/module.h>
 4
 5
     #include <linux/fs.h>
 6
     #include <linux/uaccess.h>
 7
     #include <linux/random.h>
     #include <linux/errno.h>
8
9
10
     #include <asm/io.h>
     #include <linux/ioport.h>
11
12
     #include <linux/miscdevice.h>
13
14
     #include "ecs_jtag.h"
15
     static struct miscdevice ecs_jtag_dev;
16
17
     struct ecs_jtag *jtag_dev;
18
19
     static int jtag_open(struct inode *inode, struct file *file)
20
         // OOOOIIII = 0 \times 0 f
2.1
22
         iowrite8((u8)0x0f, jtag_dev->base + 0x08);
23
24
         return 0;
25
     }
26
27
     static int jtag_release(struct inode *inode, struct file *file)
28
2.9
         //iowrite8((u8)0x00, jtag_dev->base);
         return 0;
30
31
     }
32
     // read data on JTAG device
33
     ssize_t jtag_read(struct file *filp, char __user *buf, size_t count,
34
                      loff_t *f_pos)
35
     {
36
         unsigned int data;
37
38
39
         data = ioread8(jtag_dev->base + PIO_DATA);
40
         copy_to_user(buf, &data, count);
41
42
         return count;
43
44
     // write data on JTAG device
45
     ssize_t jtag_write(struct file *filp, const char __user *buf, size_t count,
46
                     loff_t *f_pos)
47
         int retval = 0;
48
49
     // int tdi, tms, tck;
50
51
         char *k_buffer;
52
         k_buffer = (char *) kzalloc(count * sizeof(char), GFP_KERNEL);
53
54
         if(copy_from_user(k_buffer, buf, count)){
55
             retval = -EFAULT;
56
             goto out;
57
         }
```

driver/ecs_jtag.c CBPF/CERN - Leonardo Lessa

```
58
      // tdi = *k_buffer & 0x04 ? 1 : 0;
 59
 60
      // tms = *k_buffer & 0x02 ? 1 : 0;
      // tck = *k_buffer & 0x01 ? 1 : 0;
 61
 62
 63
      //
         if (tck == 1)
              printk(KERN_DEBUG "TDI = %d | TMS = %d | TCK = %d \n", tdi, tms, tck);
 64
      //
 65
 66
          iowrite8((u8) *k_buffer, jtag_dev->base);
 67
 68
          retval = count;
 69
 70
      out:
 71
          kfree(k_buffer);
 72
          return retval;
 73
      }
 74
 75
      static struct file_operations ecs_jtag_fops = {
 76
                   = THIS_MODULE,
          .owner
 77
                   = jtag_open,
          open
 78
          .read
                   = jtag_read,
 79
          .write
                   = jtag_write,
 80
          .release = jtag_release
 81
      };
 82
 83
      static int init_jtag(struct ecs_jtag *jtag)
 84
 85
 86
              int retval;
              printk(KERN_DEBUG "pcie_ecs: jtag start base addr: 0x%x\n",
 87
 88
                                   (unsigned int)jtag->start);
              \label{lem:printk(KERN_DEBUG "pcie_ecs: jtag size: 0x%x\n", }
 89
 90
                                   (unsigned int)jtag->size);
 91
              ecs_jtag_dev.minor = MISC_DYNAMIC_MINOR;
 92
 93
              ecs_jtag_dev.name = "jtag";
 94
              ecs_jtag_dev.fops = &ecs_jtag_fops;
 95
              retval = misc_register(&ecs_jtag_dev);
 96
              if (retval)
 97
                  return retval;
 98
 99
              if (!request_mem_region(jtag->start, jtag->size,
100
                  ecs_jtag_dev.name)) {
101
              printk(KERN_DEBUG "Memory region busy\n");
102
              retval = -EBUSY;
103
              goto request_mem_failed;
104
          }
105
106
          jtag->base = ioremap_nocache(jtag->start, jtag->size);
107
108
              printk(KERN_DEBUG "pcie_ecs: jtag start base addr: 0x%x\n",
109
                                   (unsigned int)jtag->base);
110
          jtag_dev = jtag;
111
112
          return 0;
113
114
      request_mem_failed:
```

driver/ecs_jtag.c CBPF/CERN - Leonardo Lessa

```
115
116
          return retval;
117
118
      }
119
120
      EXPORT_SYMBOL(init_jtag);
121
122
      static int rem_jtag(struct ecs_jtag *jtag)
123
124
          iounmap(jtag->base);
125
          release_mem_region(jtag->start, jtag->size);
126
          misc_deregister(&ecs_jtag_dev);
127
          return 0;
128
      }
129
130
      EXPORT_SYMBOL(rem_jtag);
131
      static int ecs_jtag_init(void)
132
133
134
          printk(KERN_ALERT "ECS JTAG Driver Loaded...\n");
135
          return 0;
136
      }
137
138
      static void ecs_jtag_exit(void)
139
      {
140
          printk(KERN_ALERT "ECS JTAG Driver Unloaded...\n");
141
142
143
      module_init(ecs_jtag_init);
144
      module_exit(ecs_jtag_exit);
145
146
      MODULE_AUTHOR("Leonardo Lessa <llessa@cbpf.br>");
      MODULE_DESCRIPTION("PIO JTAG Driver");
147
148
      MODULE_LICENSE("GPL");
149
```

```
1
     #include <linux/kernel.h>
 2
     #include <linux/module.h>
 3
     #include <linux/pci.h>
     #include <linux/interrupt.h>
 4
 5
 6
     #include <linux/miscdevice.h>
 7
     #include <linux/kdev_t.h>
     #include <linux/fs.h>
 8
9
     #include <asm/uaccess.h>
10
     #include <linux/slab.h>
11
12
     #include <linux/init.h>
13
14
     #include <linux/dma-mapping.h>
15
     #include "pcie dma.h"
16
17
18
     static struct dma_device *dma_device;
19
20
     static DECLARE_WAIT_QUEUE_HEAD(wq);
2.1
22
     static struct pci_device_id dma_ids[] = {
23
         { PCI_DEVICE(MY_PCI_VENDOR_ID, MY_PCI_DEVICE_ID), },
24
         { 0, }
25
     };
26
27
     MODULE_DEVICE_TABLE(pci, dma_ids);
28
29
     static int dma_init(void) {
30
31
         // SOFTWARE RESET DMA Controller
32
         unsigned int control, status = 0;
33
         IOWR_DMA(SOFTRESET, dma_device->dma_base_addr, DMA_CONTROL);
34
         IOWR_DMA(SOFTRESET, dma_device->dma_base_addr, DMA_CONTROL);
35
36
         // set data width and Interruption on Lenght.
         IOWR_DMA(DOUBLEWORD | I_EN | LEEN, dma_device->dma_base_addr, DMA_CONTROL);
37
38
39
         control = IORD_DMA(dma_device->dma_base_addr, DMA_CONTROL);
40
         status = IORD_DMA(dma_device->dma_base_addr, DMA_STATUS);
41
         printk (KERN_DEBUG "\t DMA: Control Register 0x%x\n", control);
42
43
         printk (KERN_DEBUG "\t DMA: Status Register 0x%x\n", status);
44
45
         return 0;
46
47
     }
48
49
     static int dma_transfer (struct dma_device *dev, int write, void *buffer,
50
                  size_t count) {
51
         unsigned int ret;
52
         ret = IORD_DMA(dev->dma_base_addr, DMA_CONTROL);
53
54
         IOWR_DMA(ret & 0xffffffff7, dma_device->dma_base_addr, DMA_CONTROL);
55
         dev->dma_dir = (write ? DMA_TO_DEVICE : DMA_FROM_DEVICE);
56
57
         dev->dma_size = count;
```

```
58
 59
          iowrite32((dev->bus_addr & 0xfffffffC), dev->cra_base_addr + MM_TABLE);
 60
 61
          // 64Bits Address translation
         iowrite32((dev->bus_addr & 0xfffffffC) | 0x1, dev->cra_base_addr + MM_TABLE);
 62
      //
 63
         iowrite32(0x00000000, dev->cra_base_addr + MM_TABLE + 4);
 64
 65
          ret = ioread32(dev->cra base addr + MM TABLE);
 66
          printk(KERN_DEBUG "\t\t CRA: LOW MM_TABLE = 0x%x\n", ret);
 67
 68
          // 64Bits Address translation
         ret = ioread32(dev->cra_base_addr + MM_TABLE + 4);
 69
      //
 70
      // printk(KERN_DEBUG "\t\t CRA: HIGH MM_TABLE = 0x%x\n", ret);
 71
 72
          printk(KERN_DEBUG "\t\t DMA: phy_addr = 0x%x\n", dev->bus_addr);
 73
          printk(KERN_DEBUG "\t\t DMA: buffer = 0x%x\n", (unsigned int)dev->k_buffer);
 74
          printk(KERN_DEBUG "\t\t DMA: size = %d Bytes\n", (int)count);
 75
          printk(KERN_DEBUG "\t\t DMA: dma_dir = %s\n", write ? "Write" : "Read");
 76
 77
          if(!write){
 78
              IOWR_DMA(TX + (dev->bus_addr & 0xFFFFF), dma_device->dma_base_addr,
      DMA_WR_ADDR);
 79
              IOWR_DMA(FPGA_MEM, dev->dma_base_addr, DMA_RD_ADDR);
 80
              IOWR DMA(count, dev->dma base addr, DMA LEN);
 82
          else{
              IOWR_DMA(TX + (dev->bus_addr & 0xFFFFF), dma_device->dma_base_addr,
 83
      DMA_RD_ADDR);
 84
              IOWR_DMA(FPGA_MEM, dev->dma_base_addr, DMA_WR_ADDR);
 85
              IOWR_DMA(count , dev->dma_base_addr, DMA_LEN);
 86
          }
 87
 88
      // printk (KERN_DEBUG "\t\t DMA: Before Start\n");
 89
 90
          ret = IORD_DMA(dev->dma_base_addr, DMA_CONTROL);
          printk (KERN_DEBUG "\t\t DMA: Control Register 0x%x\n", ret);
 91
 92
          ret = IORD_DMA(dev->dma_base_addr, DMA_STATUS);
          printk (KERN_DEBUG "\t\t DMA: Status Register 0x%x\n", ret);
 93
 94
          ret = IORD_DMA(dev->dma_base_addr, DMA_RD_ADDR);
 95
          printk (KERN_DEBUG "\t\t DMA: RD ADDR 0x%x\n", ret);
          ret = IORD_DMA(dev->dma_base_addr, DMA_WR_ADDR);
 96
          printk (KERN_DEBUG "\t\t DMA: WR ADDR 0x%x\n", ret);
 97
          ret = IORD_DMA(dev->dma_base_addr, DMA_LEN);
 98
 99
          printk (KERN_DEBUG "\t\t DMA: LEN 0x%x\n", ret);
100
101
          // Start DMA Transfer
102
          ret = IORD_DMA(dev->dma_base_addr, DMA_CONTROL);
          IOWR_DMA(ret | GO, dma_device->dma_base_addr, DMA_CONTROL);
103
104
          dma_device->before = ktime_get_real();
105
      /*
106
107
          printk (KERN_DEBUG "\t\t DMA: After Start\n");
          ret = IORD_DMA(dev->dma_base_addr, DMA_CONTROL);
108
109
          printk (KERN DEBUG "\t\t DMA: Control Register 0x%x\n", ret);
110
          ret = IORD_DMA(dev->dma_base_addr, DMA_STATUS);
          printk (KERN_DEBUG "\t\t DMA: Status Register 0x%x\n", ret);
111
          ret = IORD_DMA(dev->dma_base_addr, DMA_RD_ADDR);
112
```

```
113
          printk (KERN_DEBUG "\t\t DMA: RD ADDR 0x%x\n", ret);
114
          ret = IORD_DMA(dev->dma_base_addr, DMA_WR_ADDR);
115
          printk (KERN_DEBUG "\t\t DMA: WR ADDR 0x%x\n", ret);
          ret = IORD_DMA(dev->dma_base_addr, DMA_LEN);
116
          printk (KERN_DEBUG "\t\t DMA: LEN 0x%x\n", ret);
117
118
      * /
119
120
          return 0;
121
      }
122
      static ssize_t dma_read(struct file *filp, char *buffer, size_t length, loff_t *
123
      offset){
124
125
          int retval = 0;
126
          dma_transfer(dma_device, 0, dma_device->k_buffer, length);
127
128
129
          wait_event_interruptible(wq, dma_device->flag != 0);
130
          dma_device->flag = 0;
131
          if(copy_to_user(buffer, dma_device->k_buffer, length)){
132
              retval = -EFAULT;
133
134
              goto out;
135
          }
136
137
          retval = length;
138
139
      out:
140
          return retval;
141
142
      }
143
144
      static ssize_t dma_write(struct file *filp, const char *buffer, size_t length, loff_t
       * offset) {
145
146
          int retval = 0;
147
          if(copy_from_user(dma_device->k_buffer, buffer, length)){
148
149
              retval = -EFAULT;
150
              goto out;
151
          }
152
153
          dma_transfer(dma_device, 1, dma_device->k_buffer, length);
154
155
          wait_event_interruptible(wq, dma_device->flag != 0);
156
          dma_device->flag = 0;
157
          retval = length;
158
159
160
      out:
161
          return retval;
162
      }
163
164
      int dma_open(struct inode *inode, struct file *filp) {
165
166
          int num;
167
```

```
168
          if ((num = MINOR(inode->i_rdev)) != dma_MINOR)
169
              return -ENODEV;
170
171
          filp->private_data = (void *) dma_device;
172
          return 0;
173
      }
174
175
      int dma_release(struct inode *inode, struct file * filp) {
176
177
          int num;
178
179
          if ( (num = MINOR(inode->i_rdev)) != dma_MINOR)
180
              return -ENODEV;
181
182
          return 0;
183
      }
184
185
      static struct file_operations dma_fops = {
186
187
      // .ioctl
                   = dma_ioctl,
188
      //
         .mmap
                   = dma_mmap,
      // .llseek = dma_lseek,
189
190
          .read
                   = dma_read,
191
          .write
                 = dma write,
192
          .open
                   = dma_open,
193
          .release = dma_release,
194
195
      };
196
197
     static struct miscdevice dmamisc = {
198
199
          .name = DRV_NAME,
200
          .minor = dma_MINOR,
201
          .fops = &dma_fops,
202
      };
203
204
      static irqreturn_t pcie_irq_handler(int irq, void *data) {
205
206
          int ret;
207
208
          struct dma_device *dma_device = (struct dma_device *)data;
209
          if (!dma_device)
210
              return IRQ_NONE;
211
212
          dma_device->after = ktime_get_real();
213
214
          // Stop interruptions from the DMA Controller
215
          iowrite32((u32)0<<7, (u32*)(dma_device->cra_base_addr + CRA_IER));
216
217
          // Read Interrupt status register and clear
          ret = ioread32((u32*)dma_device->cra_base_addr + CRA_ISR);
218
219
          iowrite32((u32)0x00, (u32*)dma_device->cra_base_addr + CRA_ISR);
2.2.0
221
          // Calculate the transaction time
222
          dma_device->diff = ktime_sub(dma_device->after, dma_device->before);
223
              printk(KERN_DEBUG "\t\t DEBUG: dT = %lld ns\n", ktime_to_ns(dma_device->diff
      ));
```

```
224
225
          dma_device->flag = 1;
226
          wake_up_interruptible(&wq);
2.2.7
2.2.8
      // printk (KERN_DEBUG "IRQ Handled\n");
229
      // printk (KERN_DEBUG "CRA Status : 0x%x\n", ret);
230
231
      // ret = IORD_DMA(dma_device->dma_base_addr, DMA_STATUS);
232
         printk (KERN_DEBUG "DMA Status : 0x%x\n", ret);
233
234
          // Clear the DMA Status register
          IOWR_DMA(0x00, dma_device->dma_base_addr, DMA_STATUS);
2.35
236
237
          // Restart interruptions from the DMA Controller (QSYS)
238
          iowrite32(0xffffffff, (u32*)(dma_device->cra_base_addr + CRA_IER));
          // Restart interruptions from the DMA Controller (SOPC)
239
240
          iowrite32((u32)1<<7, (u32*)(dma_device->cra_base_addr + CRA_IER));
241
242
          return IRQ_HANDLED;
      }
243
2.44
245
246
      static int dma_probe(struct pci_dev *dev, const struct pci_device_id *id) {
247
248
          int status;
249
          unsigned int ret;
250
251
          printk(KERN_DEBUG "\tProbing dma Device\n");
252
253
          pci_set_master(dev);
254
255
          if (pci_enable_device(dev)) {
256
              printk(KERN_ERR "Failed to enable PCI device\n");
257
              status = -ENODEV;
258
              goto error_no_mem;
          }
259
2.60
261
          //Allocating a pointer on Kernel Space for dma Device Driver
262
          if (!(dma_device = (struct dma_device *) kzalloc(sizeof(struct dma_device),
      GFP_KERNEL))){
263
              status = -ENOMEM;
264
              goto error_no_mem;
265
          }
266
267
          strcpy(dma_device->name, DRV_NAME);
268
          dma_device->pci_dev = dev;
269
270
          if (!(pci_resource_start(dev, 0))) {
271
              printk(KERN_ERR "\t\tBAR0 disabled! Giving up.\n");
272
              status = -ENOMEM;
              goto error_base;
273
274
          }
2.75
276
          if (!(pci_resource_start(dev, 2))) {
277
              printk(KERN_ERR "\t\tBAR2 disabled! Giving up.\n");
278
              status = -ENOMEM;
279
              goto error_base;
```

```
280
          }
281
282
          dma_device->BAR0 = pci_resource_start(dev, 0);
          dma_device->BAR0_size = pci_resource_len(dev, 0);
2.83
2.84
285
          dma_device->BAR2 = pci_resource_start(dev, 2);
286
          dma_device->BAR2_size = pci_resource_len(dev, 2);
2.87
288
289
          printk(KERN_DEBUG "\t Base Address Register(BAR0) @ 0x%lx\n\t Size of %lu
      bytes\n",
2.90
                                           dma_device->BAR0,
291
                                           dma_device->BAR0_size);
292
293
          printk(KERN_DEBUG "\t Base Address Register(BAR2) @ 0x%lx\n\t Size of %lu
      bytes\n",
294
                                           dma_device->BAR2,
295
                                           dma_device->BAR2_size);
296
297
          if (!(dma_device->mem_base_addr = ioremap_nocache(dma_device->BAR0, dma_device->
      BARO_size))) {
298
              printk(KERN_DEBUG "Could not Remap BAR0\n");
299
              status = -ENOMEM;
300
              goto error_base;
301
          }
302
303
          request_mem_region(dma_device->BAR2 + CRA_BASE_ADDR, CRA_SIZE, DRV_NAME);
304
          dma_device->cra_base_addr = ioremap_nocache(dma_device->BAR2 + CRA_BASE_ADDR,
      CRA_SIZE);
305
306
          request_mem_region(dma_device->BAR2 + DMA_BASE_ADDR, DMA_SIZE, DRV_NAME);
307
          dma_device->dma_base_addr = ioremap_nocache(dma_device->BAR2 + DMA_BASE_ADDR,
      DMA_SIZE);
308
309
          request_irq(dev->irq, pcie_irq_handler, IRQF_SHARED, DRV_NAME, (void *)dma_device
      );
310
          printk(KERN_DEBUG "Successfully requested IRQ #%d with dev_id 0x%p\n", dev->irq,
      dma_device);
311
312
          printk(KERN_DEBUG "\t Remapped Local Address 0x%lx\n"\
313
                   "\t To Virtual Address 0x%lx : %d bytes of length\n",
                   dma_device->BAR0, (unsigned long)dma_device->mem_base_addr,
314
315
                   (int)dma_device->BAR0_size);
316
317
          printk(KERN_DEBUG "\t Remapped DMA Avalon address 0x%lx\n"\
318
                  "\t To Virtual Address 0x%lx : %d bytes of length\n",
319
                  (unsigned long)DMA_BASE_ADDR, (unsigned long)dma_device->dma_base_addr,
                  (int)DMA_SIZE);
320
321
          printk(KERN DEBUG "\t Remapped PCIe CRA address 0x%lx\n"\
322
                  "\t To Virtual Address 0x%lx : %d bytes of length\n",
323
324
                  (unsigned long)CRA_BASE_ADDR, (unsigned long)dma_device->cra_base_addr,
                  (int)CRA_SIZE);
325
326
          if (misc_register(&dmamisc)) {
327
              printk(KERN_DEBUG "Could not register misc device\n");
328
329
              goto error_init_dma;
```

```
330
          }
331
332
          ret = ioread32(dma_device->cra_base_addr + CRA_ISR);
          printk(KERN_DEBUG "\t CRA ISR : 0x%x\n", le32_to_cpu(ret));
333
334
          ret = 0;
335
336
          iowrite32(0xffffffff, (u32*)(dma_device->cra_base_addr + CRA_IER));
337
338
          ret = ioread32(dma_device->cra_base_addr + CRA_IER);
339
          printk(KERN_DEBUG "\t CRA IER : 0x%x\n", ret);
340
341
          dma_device->flag = 0;
342
          dma_init();
343
          dma_device->k_buffer = (char *) kzalloc(0x2000, GFP_DMA);
344
345
          dma_device->bus_addr = virt_to_phys(dma_device->k_buffer);
346
347
          return 0;
348
349
      error_init_dma:
350
          iounmap((void *) dma_device->mem_base_addr);
351
          iounmap((void *) dma_device->dma_base_addr);
352
          iounmap((void *) dma_device->cra_base_addr);
353
354
      error_no_mem:
355
          pci_disable_device(dev);
356
      error_base:
357
          kfree(dma_device);
358
          return 0;
359
      }
360
361
      static void dma_remove(struct pci_dev *dev) {
362
363
          /* clean up any allocated resources and stuff here.
364
           * like call release_region();*/
365
366
          free_irq(dev->irq, dma_device);
          iounmap((void *) dma_device->mem_base_addr);
367
368
          iounmap((void *) dma_device->dma_base_addr);
369
          iounmap((void *) dma_device->cra_base_addr);
370
371
          kfree(dma_device->k_buffer);
372
373
          misc_deregister(&dmamisc);
374
          kfree(dma_device);
375
376
      }
377
378
      static struct pci_driver pci_driver = {
379
          .name = DRV_NAME,
380
          .id_table = dma_ids,
381
          .probe = dma_probe,
382
          .remove = dma_remove,
383
      };
384
      static int __init pcie_dma_init(void) {
385
386
```

```
printk(KERN_INFO "PCIe dma Driver Loaded...\n");
387
          return pci_register_driver(&pci_driver);
388
389
      }
390
391
     static void __exit pcie_dma_exit(void) {
392
393
          printk(KERN_INFO "PCIe dma Driver Unloaded...\n");
394
          pci_unregister_driver(&pci_driver);
395
      }
396
397
      module_init(pcie_dma_init);
398
      module_exit(pcie_dma_exit);
399
400
401
      MODULE_AUTHOR("Leonardo Lessa <llessa@cbpf.br>");
402
      MODULE_DESCRIPTION("PCIe Driver for DMA transfers");
403
      MODULE_LICENSE("GPL");
404
```

```
1
     // Leonardo Lessa
 2
     // Aquisicao da tensao dos reguladores via adc i2c utilizando chamadas no sysfs
 3
 4
     #include <stdio.h>
5
 6
 7
     #define N 0
     char *path="/sys/bus/i2c/devices";
8
9
     char buffer[50];
     char *devices[2] = {"1-0048", "1-0049"};
10
     char *adc_1[4] = {"3V3A", "3V3B", "3V0 ", "2V5 "};
11
     char *adc_2[2] = {"1V8 ", "1V2 "};
12
     float vref = 3.29;
13
14
15
     float count_to_volt(int cnt, int adc_2){
16
17
     float volt;
18
19
     if (adc_2)
20
         volt = (cnt * vref) / 2550;
2.1
22
         volt = (cnt * vref) / 255;
23
     return volt;
24
25
26
     }
27
2.8
29
     int main(){
30
     FILE *file, *fout;
31
32
     unsigned char tmp[4];
33
     unsigned int adc_value;
34
35
     int i,j,z;
36
37
38
     fout = fopen("adc.txt", "w");
     for (z=0; z<N; z++){}
39
40
         for (i=0; i<2; i++){}
41
             for (j=0; j<4; j++){
                 sprintf (buffer, "%s/%s", path, devices[i]);
42
                 sprintf (buffer, "%s/in%d_input", buffer, j);
43
44
                 file = fopen(buffer, "r");
45
                 fread(&tmp, 3, 1, file);
46
                 adc_value = atoi (tmp);
47
                 if (i == 0) {
48
                     printf("Regulator [%s] = %.4f V\n",adc_1[j], count_to_volt(adc_value,
     0));
49
                      fprintf(fout, "%.4f ", count_to_volt(adc_value,0));
50
                 }
51
                 else if (j == 0){
52
                     printf("Regulator [%s] = %.4f V\n",adc_2[0], count_to_volt(adc_value,
     0));
53
                      fprintf(fout, "%.4f ", count_to_volt(adc_value,0));
54
                 }
55
                 else if (j == 1){
```

```
printf("Regulator [%s] = %.4f V\n",adc_2[1], count_to_volt(adc_value, for each of the count_to_volt(adc_value, for ea
56
                                                     1));
57
                                                                                                                                                                                                                                    fprintf(fout, "%.4f\n", count_to_volt(adc_value,1));
                                                                                                                                                                                        }
58
59
60
                                                                                                                                                                                         fclose(file);
61
                                                                                                                                             }
62
                                                                                                           }
63
64
65
                                                     fclose(fout);
66
67
                                                     }
68
69
70
```

driver/temp_acq.sh CBPF/CERN - Leonardo Lessa

```
#!/bin/bash
1
2
3
    while :
4
     do
5
         value=$(</sys/bus/i2c/devices/1-0048/temp1_input)</pre>
б
7
         timestamp=`date +"%F %T"`
8
         echo "$timestamp,$value"
9
         sleep 10m
10
     done
```

Apêndice C - Verificação dos protótipos

Com o fim do processo de montagem dos componentes na placa, foi realizada a montagem mecânica dos módulos para a verificação dos furos de fixação e espaçadores das placas, uma foto do conjunto montado pode ser visto na Figura 1.



Figura 1 - Placa de Validação e módulo ECS-CBPF

Por medida de segurança a alimentação das placas foi realizada em separado. A primeira placa a ser alimentada foi a placa de validação, após a energização, percebeu-se que um dos capacitores da entrada dos reguladores, mais especificamente o C96, sofreu uma deterioração por superaquecimento, como pode ser visto na Figura 2. Após uma inspeção visual foi constatado que devido a um erro de montagem a polaridade dos capacitores C96 e C106 estavam invertidas. Os capacitores foram removidos e substituídos por componentes novos com a polarização correta. O segundo passo no processo de verificação foi a realização da medida dos níveis de tensões na saída dos reguladores. Foi constatado que todos estavam com os níveis de tensão corretos. Os resistores de proteção do circuito (R26, R28, R29 e R31), que tem a funcionalidade de isolar as fontes de tensão do

resto do circuito, foram soldado individualmente e a cada inclusão uma nova medida no nível de tensão foi realizada. O regulador de tensão (U30), cujo nível de tensão especificado é de 3.3 V, apresentou em sua saída 0 V o que indicou que após a inclusão do resistor de proteção algum circuito por este alimentado apresentava um curto circuito. Uma varredura no esquemático de todos os circuitos alimentados por este regulador foi realizada e um erro na alimentação do circuito integrado I²C PCF8574 (U18 e U19) foi diagnosticado. Em um primeiro momento ambos os circuitos integrados foram removidos da placa e uma nova medida no nível de tensão deste regulador foi realizada. Foi constatado que estes circuitos integrados eram o problema. Para a correção deste problema os pinos de alimentação foram invertidos com o uso de fios, como pode ser observado na Figura 3.

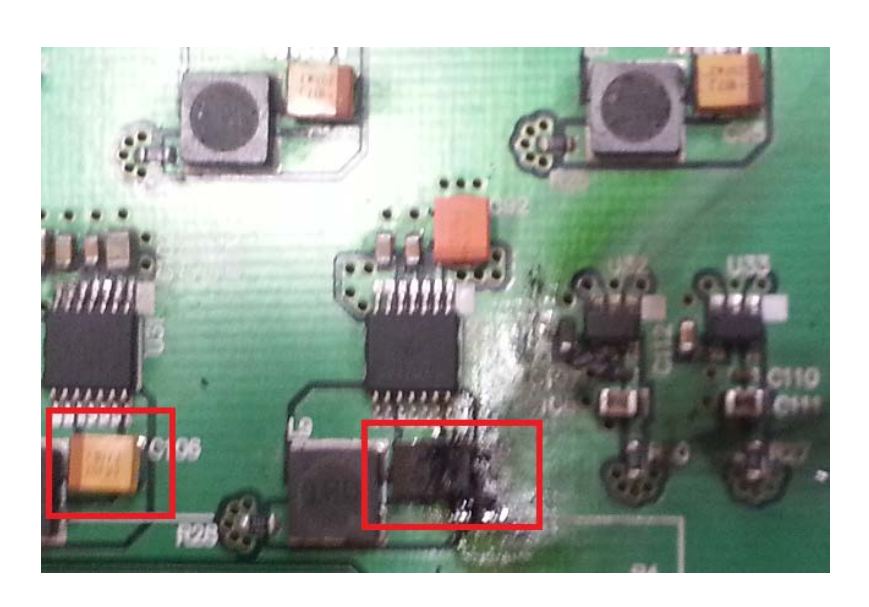


Figura 2 - Foto do capacitor C96 após problema

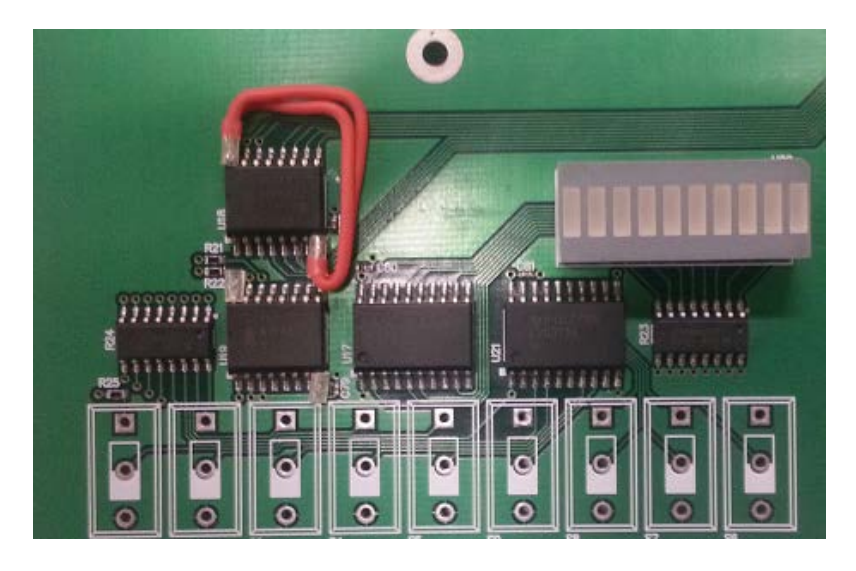


Figura 573 - Solução do problema dos circuitos U18 e U19

Após os problemas encontrados na parte de alimentação da placa resolvidos, foram iniciados alguns testes dos subsistemas da placa de validação. O primeiro teste a ser realizado, foi o carregamento de um código simples em Verilog no FPGA através do conector para programação externa P1 e o uso do programador USB Blaster. O código foi carregado com sucesso. Outro teste realizado foi o acesso dos dispositivos I²C através de um controlador I²C externo ligado no conector P3. Com exceção do circuito integrado LM75 (U24), todos os dispositivos responderam de forma satisfatória ao teste. O sensor de temperatura LM75 apresentava as conexões de *clock* e dados invertidos e devido à limitação física do tamanho do componente, não foi possível a correção do problema ocasionando a remoção do mesmo da placa.

O processo de alimentação do módulo ECS-CBPF foi realizado somente depois de verificado o funcionamento da placa de validação, pois a mesma alimenta o módulo através do conector J1. Devido a um erro na produção do *layout* o regulador de tensão (U10) de 5 V não foi montado na placa, pois o *footprint* estava espelhado em relação ao componente. Como solução a alimentação dos 5 V externamente.

A verificação da alimentação de tensão foi realizada de forma similar a placa de validação. Os níveis de tensão nos reguladores foram medidos, sendo constatado que em nenhum deles o nível de tensão na saída era o esperado pela alimentação do módulo, como citado anteriormente. A tensão de 5 V alimenta dois reguladores responsáveis pela geração de níveis de tensão mais baixos. O circuito integrado TPS75003 deveria gerar as tensões de 3.3 V, 2.5 V e 1.2 V este regulador possui duas saídas chaveadas, que necessitam de um circuito auxiliar para o seu funcionamento, e uma saída linear. Com o uso dos jumpers J9, J10 e J11 foi possível habilitar uma saída por vez para o diagnóstico do problema. A primeira saída a ser inspecionada foi a do regulador linear (2.5 V) a medida de tensão nos resistores R97 e R98 não foram as esperadas e se iniciou uma inspeção visual, foi notado que os componentes foram montados de forma errada, como mostra na Figura 4. Após seu correto posicionamento foi obtida a tensão de 2.5V na saída deste regulador. A segunda saída a ser inspecionada foi a saída de um dos reguladores chaveados (3.3 V). A medida nos níveis de tensões no dreno, fonte e porta do transistor FET Q2 apresentaram valores incoerentes com os valores esperados. Após uma consulta no datasheet do componente e a verificação do modelo utilizado, foi deduzido que a disposição dos pinos do footprint na placa não condiziam com os esperados. Através de uma rotação no componente, como mostrado na Figura 49, foi possível a correção do problema e o mesmo foi realizado no transistor FET Q1 responsável pela tensão de 1.2 V. Neste caso porém, o regulador apresentou um problema intermitente, supostamente devido a polarização errada do transistor. Com a substituição do componente este passou a funcionar corretamente.

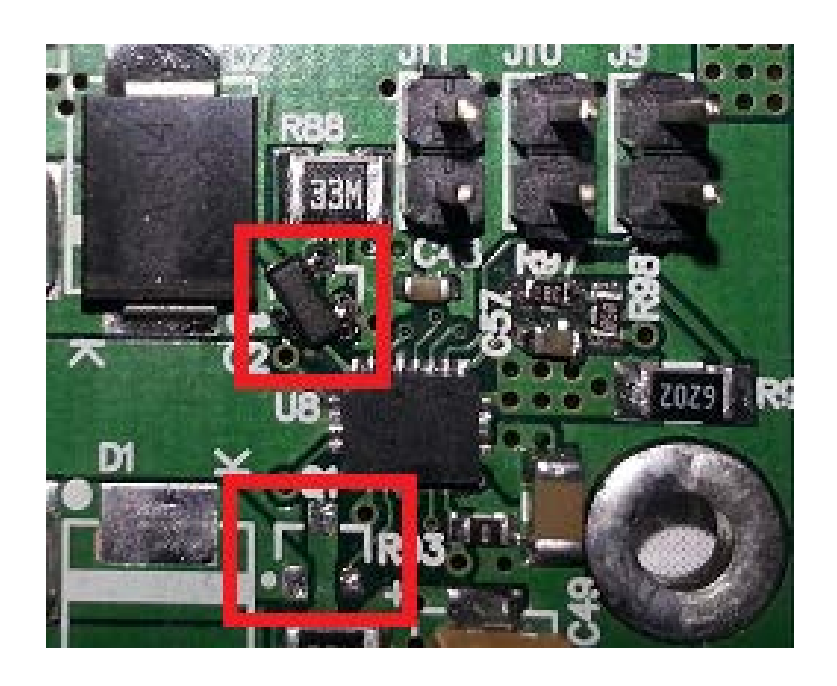


Figura 4 - Correção do posicionamento dos transistores Q1 e Q2

O regulador LTC3568 (U7) responsável pela geração da tensão de 1.0 V não apresentou a tensão esperada na sua saída. Após uma leitura detalhada no *datasheet* do componente, foi observado que dois parâmetros importantes foram deixados de lado no cálculo dos componentes externos ao regulador. O primeiro consiste na frequência máxima de operação em relação à tensão de entrada e saída, ajustadas pelo resistor R84. Após os cálculos necessários indicados no *datasheet*, o resistor de 130K foi substituído por um de 324k. O outro parâmetro importante é a corrente máxima na malha de realimentação na saída do regulador. Os resistores R82, R83 e R86 foram substituídos respectivamente pelos valores de 130K, 536K e 0. Com as modificações necessárias o regulador apresentou em sua saída a tensão esperada.

Com a correção de todos os problemas nos circuitos de alimentação do módulo, foi iniciado a verificação dos subsistemas presentes na placa. Foi notado que dois circuitos integrados sensíveis, o FPGA (U3) e o Switch PCIe (U12), apresentaram um aquecimento não esperado o que levantou a suspeita que os dois foram danificados pela polarização errada

do transistor[72]. A leitura do *datasheet* dos componentes demonstrou que o valor máximo absoluto nas tensões de entrada foram ultrapassados e que estes componentes deveriam ser substituídos. Após a remoção de ambos os componentes, foi observado que a máscara de solda da placa foi comprometida, possivelmente pelo superaquecimento do componente e/ou pelo processo de remoção. Além disso, um plano de terra com grande área de dissipação térmica foi inserida no *layout* nos componentes com encapsulamento BGA (U3 e U12), o qual prejudica o processo de soldagem do componente. Estes fatores levaram a decisão de incluir em um primeiro momento apenas o FPGA e posteriormente, após comprovado o funcionamento do FPGA, o Switch PCIe.

Os demais circuitos integrados do módulo, de acordo com os datasheets, toleraram um valor máximo absoluto de tensão superior à aplicada. Com isso foi possível à realização do teste do CCPC e seus circuitos auxiliares antes da inserção do FPGA na placa. O módulo do CCPC foi inserido no conector J1 da placa ECS-CBPF, o conector DVI inserido no conector J8 e o teclado na porta USB. Após a alimentação da placa foi possível visualizar a tela de boot do CCPC, porém com a imagem esbranquiçada. O teclado respondeu aos comandos após o pressionamento da tecla para a inicialização do sistema de configuração da BIOS. Uma medida de continuidade foi feita nas linhas D+ e D- da porta USB apresentando a não continuidade de ambas as linhas. Com a realização de uma inspeção visual foi verificado que o filtro para prevenir interferências eletromagnéticas estava com seu footprint errado, como pode ser visto na Figura 5. A correção foi feita através da remoção do componente e a solda direta de fios nos terminais do filtro. Após uma nova alimentação o teclado passou a funcionar e com o acesso a configuração da BIOS foi possível corrigir o problema da tela, mudando a opção de saída de vídeo para 24 bits ao invés de 18 bits definido como padrão. Um boot completo com o sistema operacional foi realizado através do procedimento Ethernet boot, onde se pode verificar o funcionamento da interface de rede e o completo funcionamento do CCPC e seus circuitos auxiliares.



Figura 5 - Problema nos sinais de dados do USB

Com a validação do CCPC, um novo FPGA foi inserido na placa. A verificação do funcionamento do novo componente inserido foi feito através do procedimento de programação de *firmware*. Este procedimento apresentou resultados intermitentes. Estes fatores foram importantes para a dedução que os problemas anteriormente encontrados, com a máscara de solda e plano de terra influenciaram no não-funcionamento do novo dispositivo. Este fator inviabilizou a realização da verificação do sistema completo utilizando o módulo ECS-CBPF para a extração dos resultados.